Гене	УТВЕРЖДАЮ: ральный директор ОАО	УТВЕРЖДАЮ: Генеральный директор ООО
«СОЮЗВ	ОДОКАНАЛПРОЕКТ»	«Новые Трубные Технологии»
	И.П. АМОЧАЕВ	А.Ф. СТЕПЧЕНКО
<u> </u>	2007 г.	«»2007 г
	ПРОЕКТИРОВАНИЕ ПОДЗЕ СИСТЕМ ВОДОСНАБЖЕН	
	ИЗ СТЕКЛОПЛАСТ	
	изготовленных методом	
	ТЕХНИЧЕСКИЕ Р	ЕКОМЕНДАЦИИ.
	ЧАСТ	Г <b>Ь</b> I
	МЕТОДИЧЕСКИЕ	Е ПОЛОЖЕНИЯ
	Первая ре	дакция.
	MOCI	КВА
	200	7

«ПРОЕКТИРОВАНИЕ подземных В разработке настоящего документа ТРУБОПРОВОДОВ СИСТЕМ **ВОДОСНАБЖЕНИЯ** И **ВОДООТВЕДЕНИЯ** СТЕКЛОПЛАСТИКОВЫХ ИЗГОТОВЛЕННЫХ МЕТОЛОМ **НЕПРЕРЫВНОЙ** намотки. ТЕХНИЧЕСКИЕ РЕКОМЕНДАЦИИ. ЧАСТЬ I. **МЕТОДИЧЕСКИЕ ПОЛОЖЕНИЯ»** принимали участие:

√ от ОАО «СОЮЗВОДОКАНАЛПРОЕКТ»:

Л.Г. Дерюшев, А.Ф. Шевелев, В.Е. Фонберштейн, Н.В. Савина;

 $\sqrt{}$  от OOO «Новые Трубные Технологии»:

А.Ф. Степченко, М.Ю., Р.Н. Камалов, М.Ю. Колобов, Е.В. Сидоров, И.А. Герн, Ж.В. Смирнова;

√ от компании «TechnoBell Ltd London»:

Бранко Кнап (Branko Knap).

ООО «Новые Трубные Технологии» (ООО «НТТ») представляет настоящий документ для использования в практических целях. Данный документ является собственностью ООО «Новые Трубные Технологии», т.о. текст данного документа или его отдельные части не может быть использован для копирования, или каких- либо иных целей, а также передаваться третьим лицам без согласования с ООО «Новые Трубные Технологии».

Авторский коллектив будет признателен Вам за отзывы и предложения

ООО «Новые Трубные Технологии» Россия, 127055, г. Москва

Тихвинский пер., д. 7, стр. 1

Тел/факс. +7 (495) 638-51-37

www.ntt.su

e-mail: info@ntt.su

Технические рекомендации (TP) на проектирование подземных трубопроводов холодного водоснабжения и водоотведения из стеклопластиковых труб, изготовленных методом непрерывной намотки, разработаны совместно организациями ОАО «СОЮЗВОДОКАНАЛПРОЕКТ» и ООО «Новые Трубные Технологии».

Часть I включает в себя основные методические положения, Часть II – Таблицы гидравлических расчетов.

Настоящие ТР разработаны впервые.

Настоящие Технические рекомендации разработаны на основе строительных правил, санитарных норм, правил пожарной безопасности и других законодательных и нормативных документов  $P\Phi$ , а также на основе действующих в области проектирования стеклопластиковых труб европейских стандартов и стандартов США, и методических материалов компании «TechnoBell Ltd London».

Рекомендации предназначены для проектных организаций, выполняющих работы по проектированию подземных трубопроводов холодного водоснабжения и водоотведения из стеклопластиковых труб (далее - трубопроводов), изготовляемых методом непрерывной намотки по технологии и на оборудовании компании «TechnoBell Ltd London». Трубопроводы рассчитаны на максимальное давление транспортируемой жидкости до 2,4 МПа включительно при траншейной прокладке.

Решение вопроса о применении данного документа при проектировании и строительстве конкретных объектов относится к компетенции заказчика, проектной или строительной организации. В случае принятия решения о применении настоящего документа при проектировании и строительстве трубопроводов из стеклопластиковых труб, все установленные в нем правила должны быть использованы.

ПРОЕКТИРОВАНИЕ ПОДЗЕМНЫХ СТЕКЛОПЛАСТИКОВЫХ	« <b>Новые Трубные Те</b> трубопроводов систе труб, изготовленных	<b>ХНОЛОГИИ»</b> ЕМ ВОДОСНАБЖЕНИЯ И ВО МЕТОДОМ НЕПРЕРЫВНОЙ	ОДООТВЕДЕНИЯ ИЗ НАМОТКИ

# СОДЕРЖАНИЕ

1.	ВВЕДЕНИЕ	7
2.	ПРОЕКТИРОВАНИЕ ТРУБОПРОВОДОВ ИЗ СТЕКЛОПЛАСТИКОВЫХ ТРУБ	8
	2.1. Технические требования	8
	2.2. Виды соединений	9
	2.3. РЕМОНТ ТРУБОПРОВОДОВ ИЗ СТЕКЛОПЛАСТИКОВЫХ ТРУБ	11
	2.4. Гидравлический расчет	12
	2.4.1. Общие положения	
	2.4.2. Расчет потерь напора в напорных трубопроводах	13
	2.4.3. Расчет потерь напора в самотечных трубопроводах	
	2.5. Гидравлический удар	15
3.	ПРОКЛАДКА ТРУБОПРОВОДОВ ИЗ СТЕКЛОПЛАСТИКОВЫХ ТРУБ	17
	3.1. ГАБАРИТЫ ТРАНШЕИ ДЛЯ УКЛАДКИ ТРУБ	17
	3.2. РАСЧЕТНЫЕ ПАРАМЕТРЫ ПОДЗЕМНОГО ТРУБОПРОВОДА	
	Определение класса давления	19
	Определение класса жесткости	20
	Расчет прогиба	
	Определение максимально допустимой долговременной деформации	22
	Схема расчета прогнозируемой деформации	
	Расчет внешних нагрузок	
	Продольная деформация	
	Расчет продольной деформации при растяжении от внутреннего давления	
	Продольная деформация при растяжении в результате перепада температур	
	Продольная деформация при растяжении в случае «моста»	
	<b>в местах отсутствия опор</b>	
	Расчет на потерю устоичивости	
	Требования к трубопроводам в особых природных	
	и климатических условиях	
	Расчет ускорений сейсмического движения	
	Проверка вертикальной деформации (устойчивости) трубы при землетрясении	
	Сейсмическая деформация грунта	
	Продольная деформация трубы при сейсмическом воздействии	
4.	ИЗНОСОСТОЙКОСТЬ	38
5.	КРЕПЛЕНИЯ ТРУБ	39
	5.1. Проходы	
	5.2. АНКЕРНЫЕ БЛОКИ	
	5.2.1. Гравитационные анкерные блоки	
	5.2.2. Реактивные анкерные блоки	
	5.2.3. Комбинированные анкерные блоки	
	5.2.4. Линейные анкерные блоки	
	5.3. ТИПОВЫЕ СХЕМЫ УСТАНОВКИ АНКЕРНЫХ БЛОКОВ	
	5.4. РАСЧЕТ АНКЕРНЫХ БЛОКОВ	43

	Пассивная реакция грунта	43
	Расчет воздействий на анкерные блоки	
	Оценка силы трения бетон/грунт	
6.	ТРАНСПОРТИРОВАНИЕ И ХРАНЕНИЕ	44
7.	НОРМАТИВНЫЕ ССЫЛКИ	47
8.	ПЕРЕЧЕНЬ УСЛОВНЫХ ОБОЗНАЧЕНИЙ, ИСПОЛЬЗОВАННЫХ В ТР	48
ПР	РИЛОЖЕНИЕ 1	53
ПР	РИЛОЖЕНИЕ 2	56
]	ПРИМЕРЫ ГИДРАВЛИЧЕСКОГО РАСЧЕТА	56
	Пример 1. Расчет напорного трубопровода	
	Пример 2. Расчет самотечного трубопровода	
]	ПРИМЕР ПРОЕКТНОГО РАСЧЕТА	
]	Пример расчета анкерного блока	64
ПР	РИЛОЖЕНИЕ 3	67
ПР	РИЛОЖЕНИЕ 4	71
	ОЛОДЦЫ КАНАЛИЗАЦИОННЫЕ НА ОСНОВЕ СТЕКЛОПЛАСТИКОВОЙ ТРУ	
«Н	ТТ-П/АСВ»	71
	1. ПОЯСНИТЕЛЬНАЯ ЗАПИСКА	74
	2. НАРУЖНЫЕ СЕТИ КАНАЛИЗАЦИИ	
3	З.АРХИТЕКТУРНО-СТРОИТЕЛЬНЫЕ РЕШЕНИЯ	76
4	4. СМЕТНАЯ ЧАСТЬ	82
4	5. УКАЗАНИЯ ПО ПРИМЕНЕНИЮ	83

## 1. ВВЕДЕНИЕ

Настоящие Технические Рекомендации распространяются на проектирование и строительство подземных трубопроводов систем водоснабжения и водоотведения из стеклопластиковых труб, изготовленных по технологии и на оборудовании компании TechnoBell.

Выполнение настоящих Технических Рекоменланий обеспечит соблюление обязательных требований к наружным системам водоснабжения и канализации, установленных действующими СНиП 2.04.02-84\* «Водоснабжение. Наружные сети и сооружения», СНиП 2.04.03-85 «Канализация. Наружные сети и сооружения», СНиП 3.05.04-85\* «Наружные сети и сооружения водоснабжения и канализации», СП 40-104-2001 «Проектирование и монтаж подземных трубопроводов водоснабжения из стеклопластиковых труб», СП 40-105-2001 «Проектирование и монтаж подземных трубопроводов канализации из стеклопластиковых труб» и СП 40-102-2000 «Проектирование и монтаж трубопроводов систем водоснабжения и канализации из полимерных материалов. Общие требования».

Рекомендации содержат технические требования, предъявляемые к стеклопластиковым трубам, изготавливаемым методом непрерывной намотки, выбор типоразмеров труб для безнапорных и напорных трубопроводов при подземной прокладке в грунте с учетом требований прочности, предъявляемых к инженерным сетям. В них приведены методики гидравлического расчета трубопроводов, расчеты по определению внешних нагрузок, проектирование трубопроводов в особых условиях эксплуатации и др.

Расчеты при проектировании подземного трубопровода из стеклопластиковых труб. изготовленных по технологии непрерывной намотки, выполняются, в основном, в соответствии с рекомендациями стандарта «AWWA Manual M45» – «Проектирование стеклопластиковой трубы» («Руководство М45»).

Перечень разрешенных к транспортированию жидкостей приведен в Приложении 3 Диапазон температур транспортируемой жидкости: от  $t^{o} = -40^{o}$  C до  $t^{o} = +40^{o}$  C.

# 2. ПРОЕКТИРОВАНИЕ ТРУБОПРОВОДОВ ИЗ СТЕКЛОПЛАСТИКОВЫХ ТРУБ

При проектировании трубопроводов, кроме настоящих Технических Рекомендаций, следует руководствоваться требованиями СНиП 2.04.02-84, СНиП 2.04.03-85, СНиП 3.05.04, СП 40-104-2001, СП 40-105-2001, и СП 40-102-2000.

Выбор диаметра, толщины стенки труб, классов рабочего давления и жесткости должен осуществляться с учетом требований потребителя по пропускной способности и результатов прочностного расчета подземных трубопроводов по предельным состояниям.

### 2.1. Технические требования

- 2.1.1. Трубопроводы, изготовленные из стеклопластика, применяемые при строительстве наружных систем водоснабжения и водоотведения, должны обладать:
  - ремонтопригодностью при любых видах отказов;
  - сроком службы не менее 50 лет (при условии соблюдения необходимых требований при прокладке и эксплуатации трубопровода);
  - работоспособностью в условиях, при которых максимальная температура окружающей и транспортируемой среды не превышает  $+40^{\circ}$  С (либо  $+90^{\circ}$  С для труб специального исполнения), а минимальная  $-40^{\circ}$  C:
  - прочностью, необходимой для работоспособности трубопровода при статических и динамических воздействиях от внешних сил и внутреннего давления.

Все трубы и фитинги, изготовленные по технологии непрерывной намотки, должны иметь гладкие внутренние поверхности, нулевое водопоглощение, высокую стойкость к различным видам коррозии и образованию отложений.

- 2.1.2. Сырьевыми компонентами материала труб являются ненасыщенные полиэфирные смолы, различные виды стекловолокна и кварцевый песок. Поставляются трубы стандартной длиной 12 м, а по заказу потребителя – от 2 м до 18 м. Номенклатура продукции полностью представлена в Технических условиях.
- 2.1.3 Основные физико-механические показатели материала труб, изготовленных в соответствии с Техническими условиями, приведены в таблице 1.

Физико-механические показатели

Таблица 1

	Характеристика	Значение	Ед. измерен.
1	Допустимое напряжение при растяжении в окружном направлении	12,5 ÷ 62,5	$H/mm^2$
2	Допустимое напряжение при растяжении в осевом направлении	7,5 ÷ 15,0	$H/mm^2$
3	Допустимое напряжение при изгибе в окружном направлении	$12,5 \div 62,5$	$H/mm^2$
4	Допустимый окружной модуль упругости на растяжение	5 000 ÷ 25 000	$H/mm^2$
5	Допустимый осевой модуль упругости на растяжение	3 000 ÷ 6 000	$H/mm^2$
6	Допустимый окружной модуль упругости на изгиб	5 000 ÷ 25 000	$H/mm^2$
7	Допустимая деформация	0,0025	MM/MM
8	Коэффициент линейного термического расширения	$2,5\cdot 10^{-5}$	1/°C
9	Коэффициент Пуассона окружность/ось, $\nu_{hl}$	$0.08 \div 0.10$	-
10	Коэффициент Пуассона ось/окружность, v <sub>lh</sub>	$0,23 \div 0,25$	-
11	Удельный вес – труба ламинат	1 850	$\kappa\Gamma/M^3$
12	Удельный вес – фитинг ламинат	1 650	кг/м <sup>3</sup>
13	Соотношение «Смола / Стекло / Песок» (по весу)	34÷35% / 12 ÷6	6% / 0÷54%
14	Соотношение «Смола / Стекло» (по весу)	40 / 60	
15	Электропроводимость (стандартная труба)	109	М Ом/м
16	Электропроводимость (проводящая труба)	$< 10^5$	Ом/м

Методы испытаний, геометрические, весовые параметры труб и соединительных элементов приведены в Технических условиях .

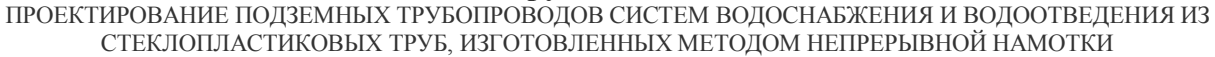
### 2.2. Виды соединений

- 2.2.1. Соединение стеклопластиковых труб осуществляется с соблюдением требований СП 40-102-2000 «Свод правил по проектированию и монтажу трубопроводов систем водоснабжения и канализации из полимерных материалов. Общие требования».
- 2.2.2 Трубы и фасонные детали могут иметь муфтовые, фланцевые, ламинированные (клеевые) и механические (ремонтные) соединения.
- 2.2.3. Трубы и фасонные детали поставляются комплектно с муфтами и эластомерными уплотнителями REKA EPDM единого с трубной продукцией срока службы (см. п.п. 15, 16 «Нормативных ссылок», далее «Технические условия»), либо с фланцами на концах. Фитинги (отводы, тройники, переходники и т.д.) изготавливаются из отрезков трубы соответствующего диаметра в соответствии со спецификацией.

#### Муфтовые соединения

2.2.4 Трубы и фитинги обычно соединяются с помощью муфт, изготовленных из отрезков труб. Трубы и муфты могут поставляться отдельно, либо с установленной муфтой на одном конце трубы. Для уплотнения, в корпусе муфты используются эластомерные уплотнители REKA EPDM.

Эскиз муфтового соединения приведен на рис.1



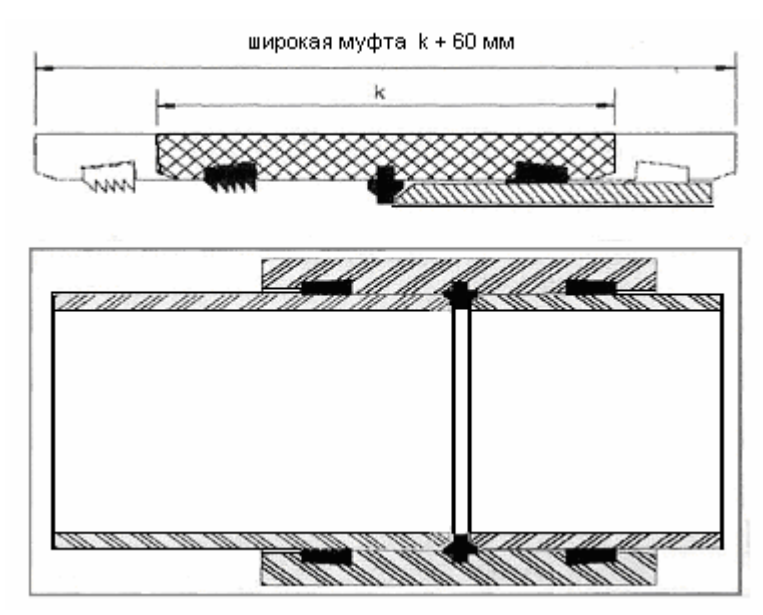


Рис. 1 Муфтовое соединение

2.2.5. Муфтовое соединение допускает незначительное осевое смещение труб, угол отклонения зависит от номинального диаметра трубы. Смещение трубы должно оставаться в пределах, предусмотренных изготовителем труб, как показано в таблице 2.

Таблица 2

Номинальный диаметр ND, мм	300-600	700-800	900-1000	1100-1300	1400-1600	1700-2400
Угол отклонения, град.	3	2,5	2	1,5	1,25	1

#### Фланцевые соединения

2.2.6. Фланцы (фиксированные и с накидным кольцом) стеклопластиковых труб, имеющие соответствующие соединительные элементы, применяются для соединения с трубами и фасонными деталями, изготовленными из других материалов (сталь, чугун, полиэтилен) или запорно-регулирующей арматурой. Эскиз фиксированного фланцевого соединения представлен на рис.2.

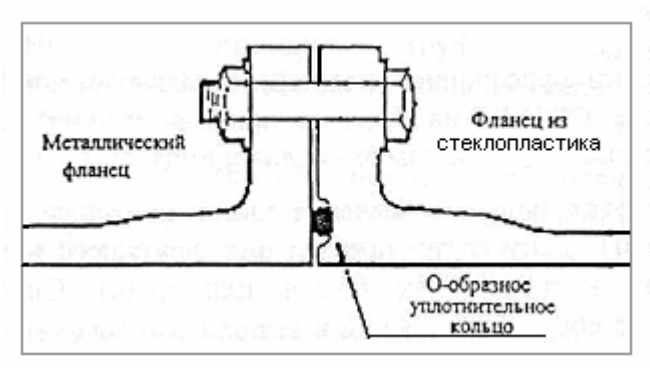


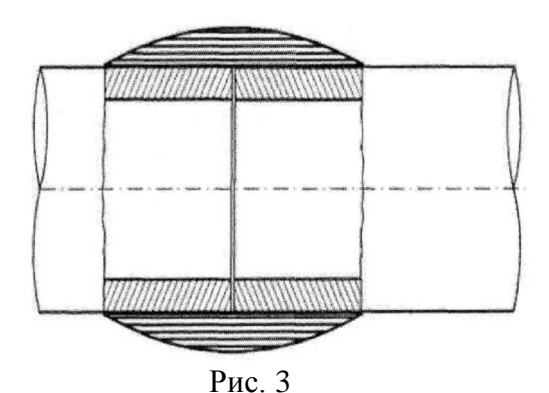
Рис. 2 Эскиз фиксированного фланцевого соединения

2.2.7 Элементы фланцевого соединения формуются в специальном приспособлении на конце отрезка трубы. Затем для фиксированного фланца (в соответствии с ГОСТом) сверлятся

отверстия для соединительных болтов. Для фланца с накидным кольцом на конец трубы с отформованным под фланец буртом надевается свободный фланец, изготовленный из чугуна или высококачественной стали (по ГОСТ). Между соединяемыми элементами вкладывается уплотнитель REKA EPDM, после чего фланцевое соединение фиксируется болтами.

#### Клеевые соединения (ламинированные соединения)

2.2.8 Клеевые соединения обычно применяются в тех случаях, когда стыки подвергаются внутренним осевым нагрузкам, в случаях ремонта, а также когда по технологическим соображениям (например, при санации трубопроводов) нельзя использовать муфтовое соединение. Место соединения (повреждения) обрабатывается в соответствии с инструкцией по ламинированию. Полимеризация и отверждение соединения происходит не более чем за 8 часов. Эскиз ламинированного соединения представлен на рис.3.



Эскиз ламинированного соединения.

# 2.3. Ремонт трубопроводов из стеклопластиковых труб

2.3.1 Поврежденный участок на трубопроводе можно восстановить, кроме варианта использования ламинированного соединения, с помощью ремонтных надвижных муфт. Эскиз ремонтной муфты показан на рис. 4.

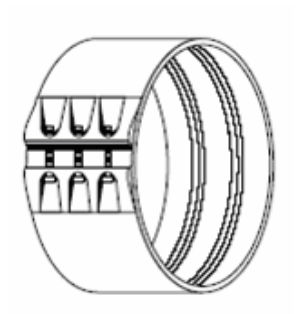


Рис. 4 Ремонтная муфта.

2.3.2 Восстановление с помощью надвижных муфт осуществляется в следующей последовательности. Сегмент трубопровода с поврежденным участком перекрывается, и поврежденный участок трубы вырезается и удаляется. Затем готовится новый отрезок трубы. На соединяемые участки трубопровода надвигаются муфты. Соединяемые концы труб

зачищаются, между ними вставляется подготовленный новый отрезок трубы, обеспечивается соосность труб и осуществляется их фиксация. Затем надвижные муфты перемещаются на стыки труб. Соединение труб обеспечивается путем затяжки болтов на муфтах, герметичность трубопровода достигается за счет использования прокладок REKA EPDM.

# 2.4. Гидравлический расчет

#### 2.4.1. Общие положения

2.4.1.1 Гидравлический расчет выполняется для определения параметров работы трубопровода из стеклопластиковых труб. При этом необходимо знать расходы, жидкостей, транспортируемых по трубопроводу, и соответствующие им потери напора.

Результаты гидравлического расчета (потери напора, скорость потока при заданных Q и d), в совокупности с результатами прочностных расчетов трубопровода, служат обоснованием решения по выбору проектных параметров трубопровода, в частности, типа и марки труб из списка номенклатуры продукции завода-изготовителя (см. Технические условия).

2.4.1.2. Основной формулой, охватывающей случаи напорного и безнапорного движения жидкостей в трубах, является формула для определения скорости жидкости:

$$V=C\sqrt{R\cdot i}$$
, (1)

где:

- средняя по сечению скорость, м/с;

C- коэффициент Шези;

- гидравлический радиус, м;

- гидравлический уклон, м/м.

2.4.1.3 Коэффициент Шези (С) может быть вычислен по формуле Н.Н. Павловского:

$$C = \frac{1}{n}R^{y}, \qquad (2)$$

$$y = 2.5 \sqrt{n} - 13 - 0.75 \sqrt{R} (\sqrt{n} - 1);$$

-коэффициент шероховатости труб, б/р, который принимается по таблицам справочной и учебной литературы (n = 0,01- для гидравлически гладкой или стеклопластиковой трубы);

$$R = \frac{\omega}{\gamma}$$
 - гидравлический радиус, м;

$$\omega = \frac{\pi \cdot d_{_{\mathit{BH}}}^{^{2}}}{4} \left( \frac{\beta}{180^{0}} - \frac{\sin^{2}\beta}{2} \right)$$
 - площадь живого сечения потока, м<sup>2</sup>;

- центральный угол в трубе, град., соответствующий расчетному наполнению, град, схематично изображен на рис.5.;

$$\chi = \pi \ d_{\rm gH} \frac{\beta}{180^{\circ}}$$
 - смоченный периметр, м;

#### «Новые Трубные Технологии» ПРОЕКТИРОВАНИЕ ПОДЗЕМНЫХ ТРУБОПРОВОДОВ СИСТЕМ ВОДОСНАБЖЕНИЯ И ВОДООТВЕДЕНИЯ ИЗ

СТЕКЛОПЛАСТИКОВЫХ ТРУБ, ИЗГОТОВЛЕННЫХ МЕТОДОМ НЕПРЕРЫВНОЙ НАМОТКИ

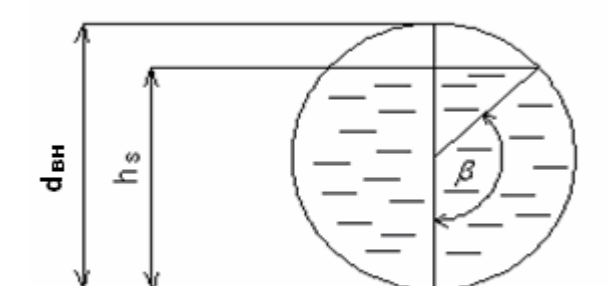


Рис.5.

На рис.5: d<sub>вн</sub> – внутренний диаметр трубы, h<sub>S</sub> – высота потока транспортируемой жидкости (наполнение).

# 2.4.2. Расчет потерь напора в напорных трубопроводах

2.4.2.1 Потери напора h, м водяного столба, по длине трубопровода определяются по формуле (см. СНиП 2.04.02 и СП 40-102):

$$h = L \cdot i + \frac{V^2}{2g} \sum_{1}^{j} \xi_j + H_{\Gamma},$$
 (3)

при практических расчетах

$$h=L\cdot i\cdot k_{MC},$$
 (3a)

где:

L- длина трубопровода, м;

V- средняя по сечению скорость движения воды, м/с;

- ускорение свободного падения,  $M/c^2$ ;

i- гидравлический уклон, м/м;

ξ - коэффициент местного сопротивления;

– вид местного сопротивления;

= 1,1 – коэффициент, б/р, учитывающий потери напора на местные сопротивления (10%) в длинных трубопроводах, и  $k_{MC}$  =1,2 – (20%) для трубопроводов длиной до 100 м;

 $H_{\Gamma}$ - геометрический напор (потери напора, вызванные разностью высот на отметках по трассе трубопровода), м.

- 2.4.2.2 В самом первом приближении потери напора можно определять по номограммам для стеклопластиковых труб, приведенным в Приложении 1.
- 2.4.2.3 Гидравлический уклон (потери напора на единицу длины трубопровода) определяется по формуле:

$$i = \lambda \cdot \frac{1}{d} \cdot \frac{V^2}{2\varrho} \,, \tag{4}$$

где:

 $\lambda = \frac{8 \cdot g}{C}$ - коэффициент гидравлического сопротивления трения по длине, в гладкостенной области турбулентного потока  $\lambda$  зависит только от числа Рейнольдса *Re*;

ПРОЕКТИРОВАНИЕ ПОДЗЕМНЫХ ТРУБОПРОВОДОВ СИСТЕМ ВОДОСНАБЖЕНИЯ И ВОДООТВЕДЕНИЯ ИЗ СТЕКЛОПЛАСТИКОВЫХ ТРУБ, ИЗГОТОВЛЕННЫХ МЕТОДОМ НЕПРЕРЫВНОЙ НАМОТКИ

$$Re = \frac{V \cdot d_{_{\mathit{BH}}}}{V}$$
;

v - коэффициент кинематической вязкости, для воды  $v = 1.3 \times 10^{-6} \,\mathrm{m}^2/\mathrm{c}$ ;

 $d_{\it вн}$  - расчетный (внутренний) диаметр трубы, м;

- 2.4.2.4 Значения расчетного (внутреннего) диаметра следует принимать по имеющимся у завода-изготовителя данным, в соответствии с номенклатурой выпускаемой продукции. При этом следует иметь в виду, что благодаря конструктивным особенностям стеклопластиковой трубы, для одного и того же номинального диаметра DN внутренние диаметры  $d_{1BH}$ ,  $d_{2BH}$  ...  $d_{jBH}$  труб различны (в зависимости от PN и SN).
- 2.4.2.5 Для стеклопластиковой трубы, как гидравлически гладкой (n = 0,01), значения гидравлического уклона  $i^*$ , определяются по формуле, приведенной в указанном ниже Справочном послобии «Таблицы для гидравлических расчетов водопроводных труб»  $\Phi$ .А.Шевелева, А.Ф.Шевелева:

$$i*=0.000685 \quad \frac{V^{1.774}}{d^{1.226}},$$
 (5)

где d – внутренний диаметр, м,

V – средняя скорость потока, м/с,

либо определяются по материалам Части II настоящих ТР, «Таблицы для гидравлических расчетов»).

2.4.2.6 Максимально допустимая скорость движения чистой жидкости  $V_{\text{макс}}$  в стеклопластиковых трубах, изготовленных по технологии непрерывной намотки, определяется по формуле (AWWA Manual M45):

$$V_{\text{Makc}} = \frac{40}{\sqrt[3]{\rho}}, \, \text{M/c}, \tag{6}$$

где  $\rho$  - плотность жидкости, кг/м $^3$ .

Для природной чистой воды скорость движения в трубопроводе принимают в пределах:  $V_{\text{макс}} \leq 4 \, \text{м/c}$ . Для жидкостей агрессивных или с абразивной примесью максимальную скорость движения  $V^{\text{arp}}_{\text{макс}}$  определяют по формуле:  $V^{\text{arp}}_{\text{макс}} \leq \frac{1}{2} \, V_{\text{макс}}$ , м/с.

## 2.4.3. Расчет потерь напора в самотечных трубопроводах

2.4.3.1 Потери напора на участке самотечного трубопровода оцениваются аналогично выше приведенному методу. Расчет производится из условия равномерного движения жидкости в трубах по формуле (см. СНиП 2.04.03 и СП 40-102):

$$Q = \omega V$$
, (7)

где:

де: Q - расход жидкости, м $^3$ /с;

$$\omega = \frac{\pi \cdot d_{_{\mathit{вн}}}^{^{2}}}{4} \left( \frac{\beta}{180^{^{0}}} - \frac{\sin^{2}\beta}{2} \right)$$
 - площадь живого сечения потока, м², см. рис.5;

- средняя по сечению скорость течения, м/с.

2.4.3.2 Минимальная скорость безнапорного потока сточной жидкости  $V_{\text{мин}}$  при расчетном наполнении  $h_{s}/d_{cor}$  (см. рис5) в стеклопластиковых трубах принимается в пределах, указанных в таблице 3, где  $h_s$  – высота заполнения трубы стоками, мм,  $d_{e_H}$  – внутренний диаметр трубы, мм (СНиП 2.04.03):

Таблина 3

$d_{\rm eh}$ , мм	300-400	450-500	600-800	900-1200	1300-1500	>1500
$h_{s}/d_{e_H}$	0,7	0,75	0,8	0,8	0,8	0,8
$V_{MUH}$ , M/C	0,80	0,90	1,00	1,15	1,30	1,50

Скорость  $V_{\text{мин}}$  назначается по условию предотвращения выпадения осадка в безнапорном трубопроводе.

2.4.3.3 Гидравлический уклон i допускается определять по формуле (СНиП 2.04.03)

$$i = \frac{\lambda \cdot V^2}{8R \cdot g} \,, \tag{8}$$

гле:

R - гидравлический радиус, см;

λ - коэффициент сопротивления трению по длине, определяемый по формуле, учитывающей различную степень турбулентности потока (СНиП 2.04.03):

$$\frac{1}{\sqrt{\lambda}} = -2\lg\left(\frac{\Delta}{13,68R} + \frac{a_2}{Re}\right),\tag{9}$$

где:

 $\Delta$  - эквивалентная шероховатость, см;

а<sub>2</sub> – коэффициент, учитывающий характер шероховатости внутренней поверхности трубы.

Для большинства труб, за исключением стеклопластиковых, значения  $\Delta$  и  $a_2$  принимаются по таблице 15 СНиП 2.04.03. Если принять, как отмечалось выше, коэффициент шероховатости гидравлически гладких труб n = 0,01, тогда значения гидравлического уклона  $i^{\ *}$  для стеклопластиковых труб, можно определить по таблицам, приведенным в Части II настоящих ТР, рассчитанным по формулам (1) и (7).

#### 2.5. Гидравлический удар

2.5.1 Гидравлический удар или мгновенное повышение давления вследствие внезапного изменения скорости движения жидкости в трубопроводе, вызывает повышение напряжений в материале труб. Гидравлический удар в стеклопластиковых трубопроводах в 2÷3 раза слабее по СТЕКЛОПЛАСТИКОВЫХ ТРУБ, ИЗГОТОВЛЕННЫХ МЕТОДОМ НЕПРЕРЫВНОЙ НАМОТКИ

сравнению со стальными, чугунными или железобетонными трубопроводами благодаря более низкому модулю упругости стенки стеклопластиковой трубы и относительно высокой степени удлинения.

2.5.2 Повышение давления при гидравлическом ударе  $\Delta h$ , м водяного столба, оценивается по формуле Н.Е. Жуковского:

$$\Delta h = \frac{aV}{g},\tag{10}$$

где:

V - первоначальная скорость движения воды в трубопроводе, т.е. до нарушения сплошности потока м/с;

a - скорость распространения ударной волны в трубопроводе, м/с.

2.5.3 Скорость распространения ударной волны зависит от упругих свойств материала трубы, отношения толщины ее стенок  $\delta$  к диаметру d, модуля объемной упругости жидкости  $E_{\infty}$ и оценивается по формуле Н.Е. Жуковского:

$$a = \sqrt{\frac{g \times E_{\infty}}{\gamma (1 + \frac{d_{_{\mathit{GH}}} \times E_{\infty}}{\delta \times E_{_{\mathit{H}}}})}} = \frac{C_{_{3\mathit{G}}}}{\sqrt{1 + \frac{d_{_{\mathit{GH}}}}{\delta} \times \frac{E_{\infty}}{E_{_{\mathit{H}}}}}},$$
(11)

где:

 $d_{\scriptscriptstyle{\mathit{BH}}}$ – внутренний диаметр трубы, м;

- толщина стенки какой-либо трубы, м, для стеклопластиковой трубы  $\delta = \delta_{cc} \ (\delta_{cc}$ 

- толщина структурного слоя стенки трубы);

- модуль объемной упругости жидкости, кг/м $^2$ ;

- окружной модуль упругости на растяжение материала стенки трубы,  $\kappa r/m^2$ ;

- объемный вес жидкости, кг/м<sup>3</sup>;

– скорость звука в воде, м/с (≈ 1420 м/c).  $C_{36}$ 

2.5.4 Повышение давления при гидравлическом ударе  $\Delta P$  (измеряемое в МПа) определяется по формуле

$$\Delta P = (\Delta h \times \rho \times g),\tag{12}$$

где:

- плотность жидкости,  $\kappa \Gamma/M^3$ ;

- ускорение силы тяжести,  $M/c^2$ .

2.5.5 В соответствии со стандартом AWWA Manual M45 класс давления (или номинальное давление) PN может быть увеличен на 40%, по сравнению с результирующим давлением (т.е. с суммой рабочего давления и давления гидравлического удара):

$$PN \ge 1.4 \left( (\Delta h \cdot \rho \cdot g) + P_P \right) \ge 1.4 \left( \Delta P + P_P \right), \tag{13}$$

где:

- рабочее давление жидкости в трубопроводе, МПа;

 $\Delta h$  - повышение давления при гидравлическом ударе, м водяного столба;

ПРОЕКТИРОВАНИЕ ПОДЗЕМНЫХ ТРУБОПРОВОДОВ СИСТЕМ ВОДОСНАБЖЕНИЯ И ВОДООТВЕДЕНИЯ ИЗ СТЕКЛОПЛАСТИКОВЫХ ТРУБ, ИЗГОТОВЛЕННЫХ МЕТОДОМ НЕПРЕРЫВНОЙ НАМОТКИ

Допустимый скачок давления от гидравлического удара не может быть более 40% от номинального давления PN.

В Приложении 2 настоящих ТР приведены примеры гидравлического расчета трубопроводов.

# 3. Прокладка трубопроводов из стеклопластиковых труб

### 3.1. Габариты траншеи для укладки труб

- 3.1.1 Габариты траншеи для укладки труб определяются в соответствии с действующими нормативными документами: СНиП 2.04.02-84, СНиП 2.04.03-85\*, СНиП 3.02.01-87, СП 40-104-2001, СП 40-105-2001, СП 40-102-2000 и настоящими Техническими Рекомендациями. Принимая во внимание влияние вида грунта и материала засыпки на прочность трубопровода, следует до начала проектных работ произвести геолого-разведочные изыскания по трассе трубопровода. При этом необходимо определить уровень грунтовых вод, класс (или категорию) грунта, залегающего по трассе трубопровода (природного грунта), а также класс и структуру грунта (грунтов) для обратной засыпки траншеи. На рис.6 показана схема укладки трубопровода в грунт.
- 3.1.2 После разрытия и зачистки траншеи на ее дне устраивается песчаная подушка, на которую укладываются трубы, с фиксацией положения стыков с помощью профилированных опор. Вручную или с помощью простейших механизмов и приспособлений трубы соединяются, и подготовленный участок трубопровода на 0,7 d<sub>н</sub> присыпается песчаным грунтом, где d<sub>н</sub> наружный диаметр трубы. Вторичная засыпка осуществляется песчаным грунтом на 15 см выше верха трубы. Каждой слой грунта уплотняется. Вид грунта и степень его уплотнения обуславливают устойчивость трубопровода к деформации при статических и динамических нагрузках.

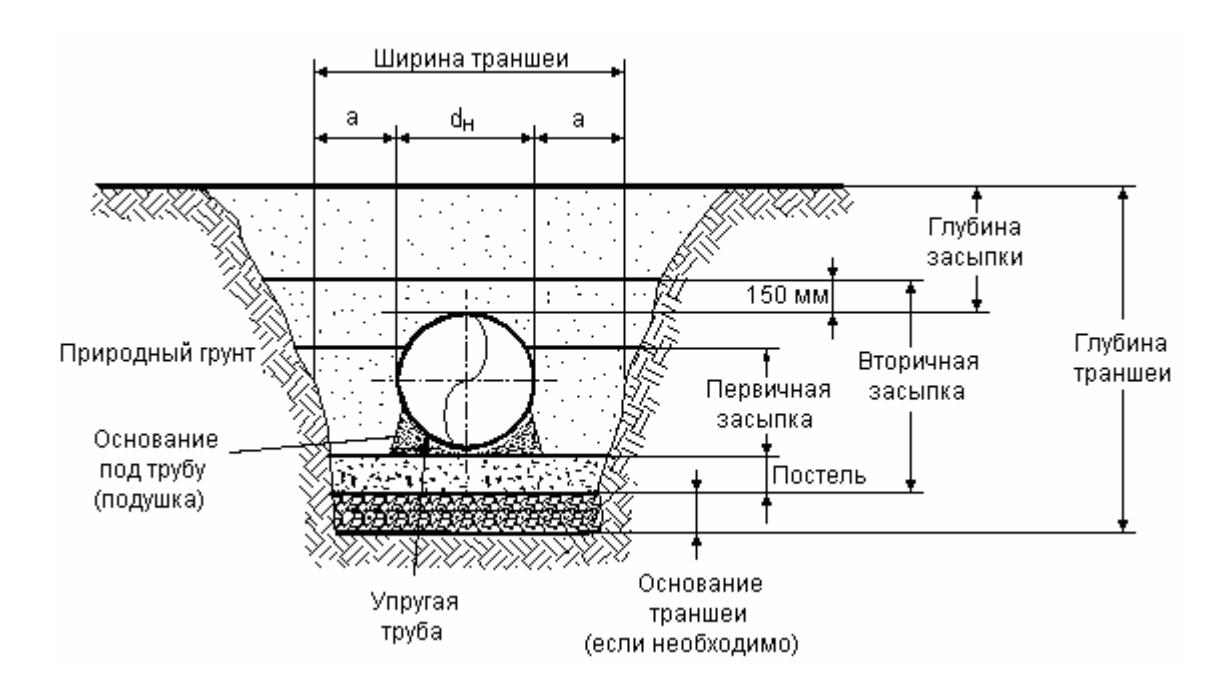


Рис. 6 Общая схема укладки трубопровода.

Минимальные размеры: a = 60 см, постель = 15 см, первичная засыпка = 0.7 ND (ND – номинальный диаметр, здесь – наружный диаметр)

### 3.2. Расчетные параметры подземного трубопровода

- 3.2.1 Процедуры, применяемые при проектировании подземного трубопровода из стеклопластиковых труб, изготовленных по технологии непрерывной намотки, позволяют выбрать параметры и произвести расчет трубопровода с использованием формул, приведенных в настоящем разделе. Международными стандартами допускается использование процедур, основанных на напряжениях и процедур, основанных на деформациях. В настоящих Технических Рекомендациях расчетные формулы приведены для процедуры расчета, основанной на деформациях. Используемые далее формулы основываются преимущественно на материалах стандарта AWWA MANUAL M45.
- 3.2.2 Трубы, изготовляемые по технологии непрерывной намотки, контролируются по следующим проектным параметрам:
  - толщина стенки (включающая лайнерный, структурный и внешний слои)  $\delta_{cm}$  мм;
  - внутренний диаметр трубы  $d_{e_H}$ , мм;
  - наружный диаметр трубы  $d_{H}$ , мм;
  - номинальный (условный) диаметр трубы ND, мм;
  - номинальное давление (класс по давлению) PN, атм;
  - номинальная жесткость (класс по жесткости) SN, Па.
- 3.2.3. Расчет параметров прочности подземного трубопровода производится для наиболее нагруженного участка трассы. Результаты таких расчетов служат основанием для

СТЕКЛОПЛАСТИКОВЫХ ТРУБ, ИЗГОТОВЛЕННЫХ МЕТОДОМ НЕПРЕРЫВНОЙ НАМОТКИ

# ПРОЕКТИРОВАНИЕ ПОДЗЕМНЫХ ТРУБОПРОВОДОВ СИСТЕМ ВОДОСНАБЖЕНИЯ И ВОДООТВЕДЕНИЯ ИЗ

подтверждения или коррекции проектных решения по выбору труб по их прочности и сортаменту (номинальное давление PN, номинальная жесткость SN, номинальный диаметр DN).

Последовательность расчетов:

- 1. Определение класса труб по давлению (проверка внутренних давлений).
- 2. Определение (или задание) класса жесткости.
- 3. Определение деформаций трубы под воздействием нагрузки от грунта и динамической нагрузки для сопоставления ее с максимально допустимой долговременной и допустимой вертикальной деформациями.
- 4. Оценка устойчивости трубопровода при заданных глубинах его заложения, уровне грунтовых вод и вертикальных нагрузках.
- 5. Оценка работы трубопровода в особых условиях эксплуатации.
- 3.2.4. Оценки параметров, получение которых может быть затруднено при проведении вычислений по методике Руководства М 45, уточняются по запросу в Инженерном Центре OOO «HTT».

### Определение класса давления

3.2.5. Для стеклопластиковых (вязкоэластичных) труб под классом давления Pc (PN),  $(H/мм^2, \ M\Pi a, \ aтм.)$  понимается такое внутреннее давление, которое может поддерживаться в трубопроводе на интервале времени  $t \to \infty$  при заданном запасе прочности SF.

Класс давления трубы Р<sub>с</sub> определяется исходя из долговременного разрушающего давления (в течение 50 лет) с применением коэффициента безопасности (запаса прочности), равного 1,8 (в соответствии со стандартами AWWA или ASTM).

3.2.6 Класс давления должен удовлетворять следующему условию

$$P_{C} = \left(\frac{HDB_{\partial e\phi}}{SF}\right) \times \left(\frac{2E_{H} \times \delta_{cc}}{d_{cp}}\right)$$
(14)

 $HDB_{\partial e\phi}$ - гидростатический проектный базис деформации, определяемый в результате долговременного гидростатического тестирования, мм/мм;

 $E_H$ - окружной модуль упругости на растяжение, МПа;

 $\delta_{cc}$ - толщина структурного слоя, мм; SF - запас прочности, равный 1,8;

где

- среднее значение диаметра трубы, мм, определяемое или по  $d_{cp}$ внутреннему диаметру как  $d_{cp} = d_{gH} + 2\delta_{nc} + \delta_{cc}$ , или по наружному

диаметру как  $d_{cp} = d_{H} - t_{cc}$ ;

- внутренний диаметр трубы, мм:  $d_{\scriptscriptstyle{\it BH}}$  $d_{\scriptscriptstyle H}$ - наружный диаметр трубы, мм;

- толщина лайнерного слоя, мм.

Примечание: Если температура  $t^0$  транспортируемой жидкости  $t^0 > 40^0$  С и если агрессивность транспортируемой жидкости превышает пределы, установленные для заданного СТЕКЛОПЛАСТИКОВЫХ ТРУБ, ИЗГОТОВЛЕННЫХ МЕТОДОМ НЕПРЕРЫВНОЙ НАМОТКИ

класса трубы, то при проверке класса давления для установления значения НDВ необходимо консультироваться с изготовителем.

3.2.7 Класс давления должен быть больше или равен рабочему давлению

$$P_c \ge P_p,\tag{14a}$$

и должен быть больше или равен максимальному давлению (сумме рабочего давления и давления гидравлического удара), уменьшенному на 40%:

$$P_c \ge \frac{P_p + P_{\Gamma}}{1.4} \tag{146}$$

где

- рабочее давление, МПа;

- давление гидравлического удара, МПа.

### Определение класса жесткости

- 3.2.8 Под классом жесткости стеклопластиковой трубы подразумевается поперечная жесткость трубы, то есть, способность стенок трубы выдерживать нагрузки, приводящие к деформации или сжатию трубы в плоскости, перпендикулярной оси трубы.
- 3.2.9 В соответствии со стандартами AWWA или ASTM (США) жесткость трубы или класс трубы по жесткости, определяемый на стенде при испытании готовой трубы, рассчитывается по формуле:

$$SN$$
 или  $PS = \frac{F}{\Delta y}$ ,  $H/MM^2$ , (15)

где

F- сила, действующая на кольцо трубы единичной длины, H/MM;

- поперечный прогиб трубы, равный 5% наружного диаметра трубы, мм.

Жесткость  $\frac{F}{\Delta v}$  проверяется при проведении теста нагружения между параллельными пластинами в соответствии со стандартом ASTM D2412.

3.2.10 Номинальная жесткость SN, Па, стеклопластиковой трубы может быть также определена по формуле:

$$SN = \frac{E_H \cdot I}{d_{cn}^3} \tag{16}$$

где

 $E_H$ - окружной модуль упругости материала трубы на растяжение, Па;

– средний диаметр трубы, м  $d_{cn}$ 

Ι - момент инерции стенки трубы, определяемый по формуле:

$$I = \frac{\delta_{cm}^3}{12},\tag{17}$$

ПРОЕКТИРОВАНИЕ ПОДЗЕМНЫХ ТРУБОПРОВОДОВ СИСТЕМ ВОДОСНАБЖЕНИЯ И ВОДООТВЕДЕНИЯ ИЗ СТЕКЛОПЛАСТИКОВЫХ ТРУБ, ИЗГОТОВЛЕННЫХ МЕТОДОМ НЕПРЕРЫВНОЙ НАМОТКИ

где

 $\delta_{cm}$  - толщина стенки трубы, м.

### Расчет прогиба

3.2.11 Выбор труб по результатам прочностного расчета проводится на основании статического расчета, с учетом требований СНиП 2.04.02-84 по прочности трубопровода.

Статический расчет трубопроводов проводится на воздействие расчетного внутреннего давления, нагрузок от грунта, временных и динамических нагрузок (нагрузок от транспорта), собственной массы труб и транспортируемой жидкости, атмосферного давления при образовании вакуума и внешнего гидростатического давления грунтовых вод в тех комбинациях, которые оказываются наиболее опасными для проектируемого участка трубопровода.

В расчетах должны использоваться прочностные и деформационные показатели материала, установленные изготовителем труб.

- 3.2.12 Трубы, укладываемые в грунте, должны быть рассчитаны на восприятие одновременного воздействия расчетного внутреннего давления и суммарной внешней нагрузки с учетом:
  - глубины заложения трубопровода и типа естественного грунта;
  - вида основания траншеи; уплотнения и вида грунта засыпки;
  - возникновения овальности поперечного сечения труб.
- 3.2.13 Допустимое уменьшение вертикального диаметра стеклопластиковых труб при воздействии нагрузки должно приниматься по стандартам («Техническим условиям») изготовителя труб. В предварительных расчетах может использоваться значение до 3 % включительно.
- 3.2.14. В качестве временных нагрузок для трубопроводов из стеклопластиковых труб с учетом мест прокладки надлежит принимать нагрузки в соответствии с требованиями СНиП 2.04.02-84.

Величину расчетного внутреннего давления надлежит принимать равной наибольшему по условиям эксплуатации давлению в трубопроводе (при наиболее невыгодном режиме работы), с учетом повышения давления при срабатывании противоударной арматуры.

- 3.2.15. При расчете трубопроводов на повышение давления при гидравлическом ударе (определенное с учетом противоударной арматуры или образования вакуума) внешние нагрузки следует принимать с учетом положений СНиП 2.04.02-84.
- 3.2.16. Альтернативой по использованию вышеизложенной информации о порядке расчета прочностных характеристик стеклопластиковых труб, для которых составлены настоящие Технические Рекомендации (такие трубы изготавливаются методом

непрерывной намотки, предусматривающим создание трехслойной конструкции стенки стеклопластиковой трубы, включающей в себя структурный (прочностной) слой, образуемый наполнителем (кварцевым песком), пропитанным полиэфирной смолой с армированием стекловолокном различных видов), могут служить методика и формулы прочностных расчетов, приведенные в AWWA MANUAL M45, которые излагаются далее.

3.2.17. Наиболее важное ограничение в целях безопасности эксплуатации заглубленного материала. трубопровода связано c упругими характеристиками Прогиб ограничиваться таким пределом, при котором в стенке трубы не возникает критических напряжений или деформаций.

Допустимые значения прогиба назначаются с учетом коэффициента безопасности (запаса прочности) на интервале времени  $\Delta t = 50$  лет, и условия, что для стеклопластиковых труб определяется долговременная кольцевая изгибающая деформация, а не изгибающее напряжение. В данном документе расчеты основаны только на деформации в стенке трубы.

3.2.18. Уменьшение диаметра трубы по вертикали от внешних нагрузок  $\Delta y$ , %, выражается в процентном отношении к его первоначальному диаметру. Значение  $\Delta v$  не должно превышать 5%, по условию сохранения площади поперечного сечения трубы (при прогибе, равном 5%, сечение трубы уменьшается приблизительно на 0,25%).

### Определение максимально допустимой долговременной деформации

3.2.19 Максимально допустимый долговременный вертикальный прогиб трубы, зависящий от физико-механических свойств трубы, определяется из формулы:

$$\varepsilon_b = D_f \left( \frac{\Delta y_a}{d_{cp}} \right) \times \left( \frac{\delta_o}{d_{cp}} \right) \le \frac{S_b}{FS}$$
 (18)

где

- максимально допустимый долговременный вертикальный прогиб, мм,  $\Delta y_a$ 

$$\Delta y_a = \left(\frac{S_b}{FS}\right) \times \left(\frac{d_{cp}}{t_o}\right) \times \left(\frac{d_{cp}}{D_f}\right)$$
(18a)

- максимальная окружная изгибная деформация, вызванная прогибом, мм/мм;  $\mathcal{E}_b$
- коэффициент формы, б/р, определяется из таблицы 4 в зависимости от  $D_f$ жесткости трубы, материала засыпки и степени уплотнения материала засыпки;
- сумма толщин структурного и лайнерного слоя, мм,  $\delta_o = \delta_{cc} + \delta_{nc}$ ;  $\delta_{o}$
- долговременная кольцевая изгибная деформация, мм/мм;  $S_b$
- FS- коэффициент безопасности, принимаемый здесь равным 1,5;
- средний диаметр трубы.  $d_{cp}$

СТЕКЛОПЛАСТИКОВЫХ ТРУБ, ИЗГОТОВЛЕННЫХ МЕТОДОМ НЕПРЕРЫВНОЙ НАМОТКИ

# Значения коэффициента формы D<sub>f</sub>

	Материал засыпки зоны трубы и степень уплотнения						
	Гра	вий	Пе	сок			
Класс	От рыхлого до	От среднего до	От рыхлого до	От среднего до			
жесткости	легкого уровня	высокого уровня	легкого уровня	высокого уровня			
трубы,	утрамбовки (D-S),	утрамбовки (М-Н),	утрамбовки (D-S),	утрамбовки (М-Н),			
Па	плотность по	плотность по	плотность по	плотность по			
	Проктору < 85%	Проктору ≥ 85%	Проктору < 85%	Проктору ≥ 85%			
		Коэффицие	нт формы $D_{\!f}$				
1 250	5.5	7.0	6.0	8.0			
2 500	4.5	5.5	5.0	6.5			
5 000	3.8	4.5	4.0	5.5			
10 000	3.3	3.8	3.5	4.5			

# Схема расчета прогнозируемой деформации

3.2.20 Для расчета деформаций трубы, которые могут возникнуть в процессе эксплуатации трубопровода, рекомендуется использовать формулу Спенглера, по которой прогнозируемая деформация определяется из уравнения:

$$\frac{\Delta y}{d_{cp}} = \frac{\left(D_L \times W_{TP} + W_{\mathcal{A}}\right) K_x}{0.149 \, \text{SN} + 0.061 \, \text{E}'} \times 100\% \tag{19}$$

где:

Δv - прогнозируемая деформация, мм;

- средний диаметр трубы, мм;  $d_{cp}$ 

 $D_L$ 

- коэффициент запаздывания прогиба, б/р, позволяющий пересчитать текущую деформацию трубы в деформацию после многих лет эксплуатации; увеличение деформации со временем определяется увеличением нагрузки от грунта над трубой и уплотнением засыпки и сползанием грунта по бокам трубы (эти факторы несущественны в случае, если трубопровод проложен в относительно твердых грунтах).

Значения  $D_L$  всегда принимаются больше 1,0; при средних и высоких уровнях уплотнения засыпки  $D_L$  можно принимать  $\approx 2$ , при небольшом уровне уплотнения  $D_L \approx 1.1?1.5$ ;

 $W_{\Gamma P}$ 

- вертикальная нагрузка от веса грунта над трубой;

 $W_{II}$ 

- динамическая нагрузка от транспортных средств над трассой трубопровода;

 $K_{x}$ 

- коэффициент прогиба (коэффициент постели – слоя подсыпки под трубой). б/р, принимает значения от 0,083 (при хороших условиях формирования основания под трубой) до 0,110 (при менее тщательных условиях формирования под трубой), значения  $K_x$  можно принимать из таблицы 5

#### Таблица 5.

Тип укладки	Коэффициент прогиба, $K_X$
Формованное дно траншеи с утрамбованным материалом обратной засыпки по бокам трубы; плотность по Проктору ≥95%	0,083
Утрамбованное, крупнозернистое, формованное дно траншеи, с материалом засыпки, размещаемым по бокам трубы; 70-100 % относительной плотности	0,083
Формованное дно, средний уровень утрамбовки, с материалом засыпки, размещаемым по бокам трубы; плотность по Проктору 85÷95 %	0,103
Крупнозернистое, формованное дно траншеи, слегка уплотненный материал засыпки, размещаемый по бокам трубы; 40-70 % относительной плотности	0,103
Плоское дно, с рыхлым материалом засыпки, размещаемым по бокам трубы (не рекомендуется); плотность по Проктору менее 35 %; относительная плотность менее 40 %	0,110

SN

- жесткость трубы, МПа;

E

- комбинированный модуль реакции грунта, МПа, характеризует пассивное сопротивление грунта, уменьшающее деформацию трубы, зависит от типа естественного грунта, материала и степени уплотнения в зоне обратной засыпки трубы, параметров траншеи.

Значения Е' определяются из формулы:

$$E' = S_C \times E_b' \tag{19a}$$

где  $S_C$ 

- коэффициент комбинированной реакции грунта, б/р, определяется из Таблицы 6.

Таблина 6

$E'_n/E'_b$	$B_{mp}/d_H$						
⊥ <sub>n</sub> /L b	1,5	2,0	2,5	3,0	4,0	5,0	
0,1	0,15	0,30	0,60	0,80	0,90	1,00	
0,2	0,30	0,45	0,70	0,85	0,92	1,00	
0,4	0,50	0,60	0,80	0,90	0,95	1,00	
0,6	0,70	0,80	0,90	0,95	1,00	1,00	
0,8	0,85	0,90	0,95	0,98	1,00	1,00	
1,0	1,0	1,0	1,0	1,0	1,00	1,00	
1,5	1,30	1,15	1,10	1,05	1,00	1,00	
2,0	1,50	1,30	1,15	1,10	1,05	1,00	
3,0	1,75	1,45	1,30	1,20	1,08	1,00	
≥ 5,0	2,00	1,60	1,40	1,25	1,10	1,00	

3.2.21 Для таблицы 6 значения  $E'_b$  - модуля реакции грунта в зоне засыпки трубы, МПа, определяется из Таблицы 7

#### Таблица 7.

Модуль реакции грунта  $E'_b$  в зоне засыпки

Уровень уплотнения грунта обратной засыпки в зоне трубы						
_		Легкое уплотнение,	Среднее уплотнение,	Высокое		
Тип грунта в зоне боковой	Рыхлая	< 85% по	85%÷95% по	уплотнение, > 95%		
засыпки	земля	Проктору, < 40%	Проктору, 40%÷70%	по Проктору, > 70%		
	JCMJIA	относ. плотности	относ. плотности	относ. плотности		
Marriaganina		относ. плотности	относ. плотности	относ. плотности		
Мелкозернистые хорошо	Гъгити					
сортированные грунты (граница			уют специального инжег			
текучести > 50) Грунты с пластичностью от	определения требуемой плотности, уровня влажности и усилия при					
средней до высокой	утрамбог	вке				
Мелкозернистые хорошо						
сортированные грунты (граница						
текучести > 50)	0.24	1 4	2.0	6.0		
Грунты с пластичностью от средней до нулевой	0,34	1,4	2,8	6,9		
(непластичной) с содержанием						
крупнозернистых частиц < 30% Мелкозернистые грунты (граница						
текучести > 50) Грунты с пластичностью от						
	0,69	2,8	6,9	13,8		
средней до нулевой (непластичной) с содержанием						
крупнозернистых частиц > 30%						
Крупнозернистые грубо						
сортированные грунты с	0,69	2,8	6,9	13,8		
мелкими частицами (более 12%						
мелких частиц)						
Крупнозернистые грубо						
сортированные грунты с малым	1.4	6.0	12.0	20.7		
или нулевым содержанием	1,4	6,9	13,8	20,7		
мелких частиц (менее 12%						
мелких частиц)						
Гранитная крошка с						
содержанием песка ≤ 15%,	6.0	20.7	20.7	20.7		
максимум 25% проходит через	6,9	20,7	20,7	20,7		
сито 9,5 мм и максимум 5%						
мелкой фракции						
Точность расчета (различия						
между прогнозируемым и	± 2%	± 2%	± 1%	$\pm 0,5\%$		
реальным средним прогибом в						
процентах)						

**Примечание:** 1. Значения  $E'_b$  в таблице 7 применимы для засыпки глубиной менее 15 м. 2. Промежуточные значения должны интерполироваться.

 $3.2.22\,E'_n$  - модуль реакции естественного грунта в зоне засыпки трубы, МПа, определяется из Таблицы 8.

СТЕКЛОПЛАСТИКОВЫХ ТРУБ, ИЗГОТОВЛЕННЫХ МЕТОДОМ НЕПРЕРЫВНОЙ НАМОТКИ

# Таблица 8.

Естественный грунт	$E'_n$	
Гранулированный грунт	Связный грунт	
Очень, очень, неплотный	Очень, очень мягкий	0,35
Очень неплотный	Очень мягкий	1,38
рыхлый	Мягкий	4,83
неплотный	Средний	10,30
Слегка уплотненный	Жесткий	20,70
Уплотненный	Очень жесткий	34,50
Плотный	Твёрдый	69,00
Очень плотный	Очень твёрдый	138,00

В случае монтажа в горных породах  $E'_n = 345 \text{ M}\Pi a$ .

- ширина траншеи, мм, по линии пят арки, образуемой сводом грунта над  $B_{mp}$ трубой.

**Примечание к формуле (19):** Показателем степени деформации (сжатия) — знаменателем в формуле (19) является жесткость эластичной системы, которую составляют трубопровод и грунт. Доли трубопровода (0,149SN) и грунта (0,061E') суммируются.

Жесткость трубы и грунта обычно выражаются в разных единицах,  $H/M^2$  и  $H/MM^2$ . Если сравнить два значения в сопоставимых единицах, можно заметить, что жесткость грунта всегда во много раз выше, чем жесткость трубы.

Поэтому часто бывает бесполезным заказывать трубы с высокой жесткостью, для того чтобы при установке компенсировать риск плохих условий.

Более того, твердая труба всегда имеет более толстые стенки, и, следовательно, при том же сжатии имеет более высокое напряжение в стенках.

Необходимость использования жестких и очень жестких труб оправдана только в случае внутреннего вакуума и/или высокой наружной гидравлической нагрузки.

#### Расчет внешних нагрузок

3.2.23 При расчете подземного трубопровода по предельным состояниям должно быть удовлетворено следующее неравенство:

$$R_{DH} \le \Phi$$
, (20)

где

– расчетная нагрузка на трубопровод (усилие) в опасном его сечении, МПа;  $R_{\scriptscriptstyle DH}$ 

Φ - соответствующая расчетная несущая способность, т.е. предельно допустимая нагрузка или предельно допустимое усилие, МПа.

#### Нагрузка от грунта

3.2.24 Трубопроводы, уложенные под городскими проездами, автомобильными и железными дорогами, а также на территории аэродромов, подвергаются, кроме нагрузки от веса грунта, действию динамической нагрузки от перемещающегося по поверхности земли транспорта. При этом следует иметь в виду, что в соответствии с СНиП 2.04.03.проходы под постоянно действующими автомобильными и железнодорожными магистралями, а также под нагружаемыми покрытиями аэродромов, предписывается прокладывать в футлярах (гильзах). В тех случаях, когда допускается раскопка траншей при пересечении трассой трубопровода

транспортных магистралей, трубы можно укладывать без защитных кожухов, при этом, если возникают затруднения при выборе или определении жесткости трубы, необходимо проконсультироваться с Инженерным Центром ООО «НТТ».

3.2.25 На рис.7 показано распределение статических и динамических нагрузок, вызывающих деформацию трубы и реакцию грунта при его сжатии.

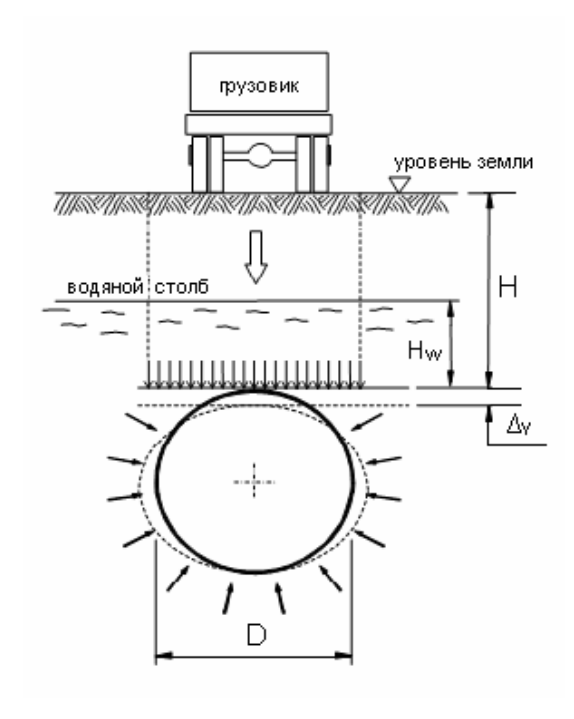


Рис. 7. Нагрузки, вызывающие деформацию трубы при сжатии грунта.

3.2.26 Вертикальная нагрузка грунта на трубу определяется по формуле:

$$W_{\Gamma P} = \gamma_{\Gamma P} \times H_{\Gamma P} \times d_{\mu} \tag{21}$$

где:

- вертикальная нагрузка на верхнюю поверхность трубопровода от грунта (вес на  $W_{\Gamma P}$ единицу поверхности), Н/мм

- удельный вес грунта (сухого), Н/мм3;  $\gamma_{\Gamma P}$ 

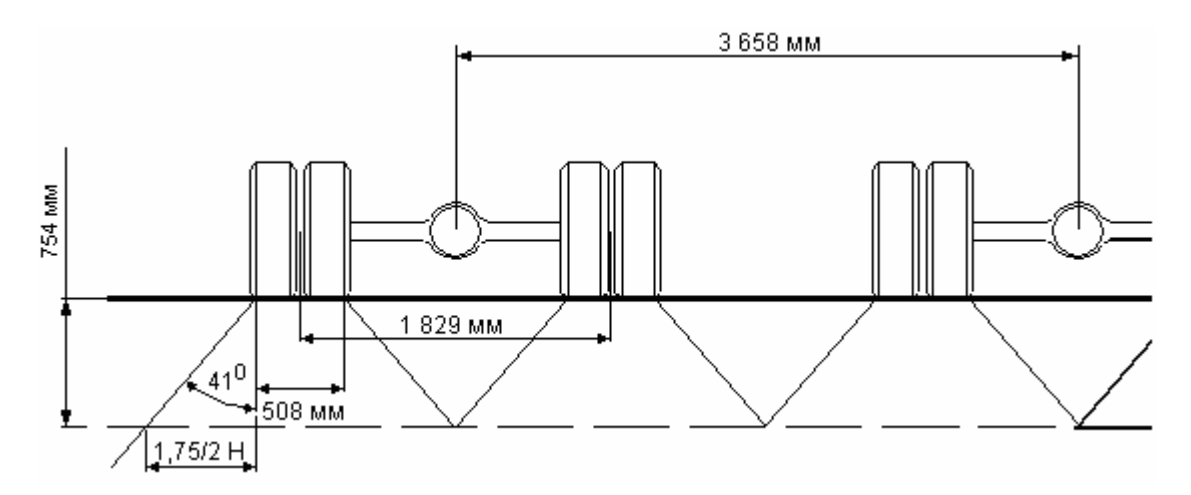
 $H_{\Gamma P}$ - высота засыпки грунта от верха трубопровода, мм;

- наружный диаметр трубы, мм.  $d_{\scriptscriptstyle H}$ 

#### Динамическая нагрузка

3.2.27 В соответствии с Руководством М45 динамическая нагрузка (вертикальное давление) на стеклопластиковые трубопроводы под воздействием нагрузок от транспортных средств рассчитывается с учетом рассеивания нагрузки с углом 41° от вертикального направления. При высоте засыпки менее 0,75 м. динамическая нагрузка рассчитывается для одного грузовика. При высоте засыпки более 0,75 м динамическая нагрузка рассчитывается для нескольких (более чем для одного) грузовиков, движущихся по параллельным полосам.

ПРОЕКТИРОВАНИЕ ПОДЗЕМНЫХ ТРУБОПРОВОДОВ СИСТЕМ ВОДОСНАБЖЕНИЯ И ВОДООТВЕДЕНИЯ ИЗ СТЕКЛОПЛАСТИКОВЫХ ТРУБ, ИЗГОТОВЛЕННЫХ МЕТОДОМ НЕПРЕРЫВНОЙ НАМОТКИ



Общая  $W_{II}$ динамическая нагрузка на верхнюю поверхность трубопровода рассчитывается по формуле

$$W_{\mathcal{A}} = \frac{G \cdot I_F}{L_1 \cdot L_2},\tag{22}$$

где

G- нагрузка от одного (спаренного) колеса, Н/мм; или нагрузка от транспорта может определяться в соответствии с «Пособием по определению толщин стенок стальных труб, выбору марок, групп и категорий сталей для наружных сетей водоснабжения и канализации (к СНиП 2.04.02 и СНиП 2.04.03)».

 $I_{F}$ - коэффициент динамической нагрузки,  $I_E$  = 1,1, при H< 0,9 м,  $I_E$  =1,0 при H ≥ 0.9 M, (H - cm. puc. 6).

 $L_1$ - ширина зоны действия нагрузки от транспортных средств параллельно направлению движения рассчитывается по следующей формуле:

$$L_1 = l_1 + 1{,}75H (23)$$

где

Н – высота засыпки, м (рис. 6);

 $l_{\scriptscriptstyle 1}$ - длина следа от колеса (длина грузовой площадки) в направлении движения, равна 0,25 м в соответствии с американским стандартом.

 $L_2$ - ширина зоны действия нагрузки от транспортных средств перпендикулярно направлению движения определяется в зависимости от высоты засыпки Н:

а) При H < 0.754 м  $L_2$  рассчитывается по следующей формуле:

$$L_2 = l_2 + 1,75H (24),$$

где

- ширина следа от колеса (ширина грузовой площадки) перпендикулярно  $l_2$ направлению движения, равна 0,5 м в соответствии с американским стандартом.

б) При  $H \ge 0.754$  м (пример для 4-х грузовиков)

При высоте засыпки  $H \ge 0.756$  м общая нагрузка от 4-х грузовиков (8-колесных) распределяется по поверхности шириной  $L_1$ , параллельно направлению движения. В направлении, перпендикулярно движению, нагрузка распределяется по поверхности шириной равной четырем грузовикам, которые перемещаются по дороге одновременно, т. е по

поверхности равной 13,31 м ( $3 \times 3,658$  м + 2,337 м), где 2,337 м = (1,829 м + 0,508 м) - ширина каждого грузовика, а 3,658 м – расстояние между центрами осей грузовиков.

Тогда ширина  $L_2$  будет равна:

$$L_2 = (13,31+1,75H)/8 \tag{25}$$

Примечание: габариты грузовых площадок транспорта могут меняться, однако угол рассеивания нагрузки остается неизменным, т. е равным 41°.

### Деформация при комбинированной нагрузке

3.2.28 Формула (16) позволяет рассчитать прогнозируемую деформацию трубы под воздействием внешних нагрузок (нагрузки от грунта и от транспортных средств) и сравнить ее с допустимыми значениями.

С учетом того, что в действительности деформации под действием комбинированной нагрузки (давления и внешних вертикальных нагрузок) не могут просто суммироваться (т.к. внутреннее давление приводит к восстановлению первоначальной конфигурации трубы, уменьшая овальность), при расчете деформации от комбинированной нагрузки проверяются следующие два условия:

$$\frac{\varepsilon_{so}}{HDB_{oeth}} \le \frac{1 - \left(\frac{\varepsilon_b r_c}{S_b}\right)}{FS_{so}} \tag{26}$$

$$\frac{\varepsilon_b r_c}{S_b} \le \frac{1 - \left(\frac{\varepsilon_{s\partial}}{HDB_{\partial e\phi}}\right)}{FS_b} \tag{27}$$

где

- расчетная деформация, вызванная внутренним давлением, мм/мм,  $\mathcal{E}_{\theta\partial}$ 

$$\varepsilon_{ab} = \frac{P_p \times d_{cp}}{2\delta_{ce} E_H} \tag{28}$$

где

- рабочее давление, МПа,

- окружной модуль упругости на растяжение, МПа;

- толщина структурного слоя, мм;

- средний диаметр трубы, мм;

$$\varepsilon_b = D_f \left( \frac{\delta d}{d_{cp}} \right) \times \left( \frac{\delta_o}{d_{cp}} \right) \tag{29}$$

где

- изгибная деформация, вызванная максимально допустимой деформацией,  $\mathcal{E}_b$ MM/MM;

 $D_f$ - коэффициент формы, б/р, определяется из таблицы 4 в зависимости от жесткости трубы, материала засыпки и степени уплотнения материала засыпки;

- сумма толщин структурного и лайнерного слоя, мм,  $\delta_o = \delta_{cc} + \delta_{nc}$ ;  $\delta_{o}$ 

 $\frac{\delta d}{d_{cr}}$  - максимально допустимый прогиб, мм/мм;

 $\delta d$  - максимально допустимая долговременная деформация, мм.

 $r_c$  - приводящий коэффициент, б/р,  $r_c = 1 - P_p/3,00$  при  $P_p \le 3,00$  Н/мм<sup>2</sup>;

 $S_b$  - долговременная кольцевая изгибная деформация, мм/мм;

 $FS_{\theta\theta}$  - коэффициент безопасности по давлению, = 1,8;  $FS_{h}$  - коэффициент безопасности по изгибу, = 1,5.

### Продольная деформация

3.2.29 Прежде чем окончательно определить структуру и толщину стенки трубы на основании результатов анализа воздействия прогиба и продольного изгиба, необходимо рассчитать воздействие на трубу различных продольных нагрузок.

Это необходимо потому, что продольная прочность стеклопластиковой трубы при подземном монтаже меньше прочности в кольцевом направлении. При подземной укладке трубопровода не требуется значительная прочность в осевом направлении. Для стеклопластиковых труб производства ООО «НТТ», применительно которым разработаны настоящие ТР, армирование в осевом направлении не производится. Поэтому необходимо произвести более детальный анализ для уточнения минимальной прочности структурного слоя стенки трубы и для получения гарантии того, что ожидаемая деформация или напряжение не превысят допустимую продольную деформацию или нагрузку.

### Расчет продольной деформации при растяжении от внутреннего давления

3.2.30 Необходимо учитывать продольную деформацию, которая возникает в трубе, благодаря эффекту Пуассона появляется в случаях, когда цилиндр (труба или участок трубопровода) с открытыми торцами подвергается внутреннему давлению жидкости, транспортируемой по стеклопластиковому трубопроводу. В результате диаметрального расширения под действием внутреннего давления цилиндр одновременно уменьшается в продольном направлении. Без учета торцевых нагрузок и других напряжений, деформация (уменьшение продольного размера трубы) от внутреннего давления в продольном направлении (эффект Пуассона) рассчитывается по следующей формуле:

$$\varepsilon_{l} = -v_{lh} \frac{P_{p} \cdot r_{gH}}{\delta_{cc} \times E_{H}} = -v_{lh} \varepsilon_{gd} \tag{30}$$

где:

 $\varepsilon_{l}$  - продольная деформация (сокращение);

 $\varepsilon_{\rm BO}$  - окружная деформация под действием внутреннего давления (расширение);

 $E_H$  - модуль упругости при кольцевом растяжении,  $H/\text{мм}^2$ ;

 $v_{lh}$  - коэффициент Пуассона в направлении ось/окружность;

 $P_p$  - внутреннее (рабочее) давление H/мм<sup>2</sup>;

 $\delta_{cc}$  - толщин структурного слоя, мм;

 $r_{\rm gh}$  - радиус (до внутренней поверхности) трубы, мм.

СТЕКЛОПЛАСТИКОВЫХ ТРУБ, ИЗГОТОВЛЕННЫХ МЕТОДОМ НЕПРЕРЫВНОЙ НАМОТКИ

# ПРОЕКТИРОВАНИЕ ПОДЗЕМНЫХ ТРУБОПРОВОДОВ СИСТЕМ ВОДОСНАБЖЕНИЯ И ВОДООТВЕДЕНИЯ ИЗ

Примечание: Так как стеклопластик не относится к изотропным материалам, существует два различных коэффициента Пуассона, - окружной и осевой. Значение двух коэффициентов - переменные величины и зависят от процентного содержания стекловолокон в стенке трубы и их направления. Соотношение продольной деформации к окружному напряжению составляет 0,2-0,3. Соотношение окружного напряжения к продольной деформации равно величине соотношения деформации к окружному напряжению, продольной *умноженного* соотношение окружного напряжения к осевому модулю упругости.

3.2.31 Трение с грунтом заглубленной трубы предотвращает свободное сжатие за счет коэффициента Пуансона, что приводит к относительному продольному удлинению и растягивающему напряжению в стенке трубы, т.е.  $\sigma_{l} = -\varepsilon_{l} E_{l}$ . Также, если труба имеет свободные концы, длина отрезка трубы обычно бывает достаточной для возникновения полного продольного напряжения, как правило, довольно низкого, но которое необходимо учитывать в сумме с другими продольными напряжениями (см. ниже).

#### Продольная деформация при растяжении в результате перепада температур

- 3.2.32. Продольная деформация может возникнуть и в результате изменения температуры жидкости, транспортируемой по стеклопластиковому трубопроводу. Деформация, вызванная таким изменением температуры, приводит к возникновению условий, при которых цилиндр (труба или участок трубопровода) с открытыми торцами имеет тенденцию к смещению в продольном направлении. Такому движению трубы препятствуют окружающий грунт, и в структурном слое стенки трубы возникает растягивающее усилие.
- 3.2.33 Необходимо провести анализ для определения, какое из двух возможных указанных ниже условий приведет к наиболее сильной деформации трубы, на основании чего выбирается приемлемая конструкция стенки трубы.

Первое условие касается разности температур, составляющей половину разницы между максимальной  $T_{\text{макс}}$  и минимальной  $T_{\text{мин}}$  ожидаемой рабочей температурой.

Вторым условием, которое необходимо оценить, является разница между максимальной температурой трубопровода при монтаже  $T_M$  и минимальной расчетной температурой.

3.2.34 Продольная деформация, возникающая при изменении температур, рассчитывается по следующей формуле

$$\varepsilon_{l(memn)} = \alpha_m \cdot \Delta T \tag{31}$$

 $\Delta T$ , -  ${}^{0}$ С, принимается как большее из  $\Delta T_{a}$  или  $\Delta T_{M}$ ;

- коэффициент линейного теплового расширения, 1/°C.

о теплового расширения, 
$$1/{}^{\circ}$$
C. 
$$\Delta T_a = \frac{T_{\text{max}} - T_{\text{min}}}{2}$$
 
$$\Delta T_M = T_M - T_{\text{min}}$$
 (31a)

# Продольная деформация при растяжении в случае «моста»

#### в местах отсутствия опор

- 3.2.35 Дополнительная продольная,  $\varepsilon_{(nods)}$ , деформация возникает в следующих случаях:
  - укладка труб от «опорной точки», т.е. стены, люка-лаза, опоры трубы и т.п.;
  - неравномерность несущей способности подушки траншеи;
  - укладка труб в обводненный грунт, а не в сухую обезвоженную траншею.

Нормальной инженерной практикой является проектирование трубопровода, достаточно прочного для того, чтобы обеспечить транспортирование жидкости между заданными опорными точками (на максимальной длине трубы между соединениями). В уравнении, используемом для проверки указанного выше условия, труба рассматривается как простая балка, поддерживаемая опорой.

$$\varepsilon_{(no\partial e)} = \frac{G_{\Sigma} (2d_{cp})^2 r_{cp}}{8E_I J} \tag{32}$$

где:

 $G_{\Sigma}$ - суммарный вес, т, действующий на трубу, равный весу жидкости, занимающей пространство между опорами + вес трубы + грунтовая присыпка;

- средний радиус трубы, см;  $r_{cp}$ 

- осевой модуль упругости на растяжение;  $E_L$ 

J- момент инерции поперечного среза трубы,

$$J = \frac{\pi}{2} d_{cp}^3 \delta_{cm}, \tag{33}$$

- средний диаметр трубы, см;  $d_{cn}$ 

 $\delta_{cm}$ - толщина стенки трубы, см.

3.2.36. При анализе необходимо рассмотреть одновременно все деформации и определить допустимую толщину (конструкцию) стенки, при которой деформации равны или меньше допустимой расчетной деформации.

$$\varepsilon_{l(\partial on)} \le \varepsilon_{g\partial} + \varepsilon_{(mean)} + \varepsilon_{(no\partial g)}$$
 (34)

#### Расчет на потерю устойчивости

- 3.2.37 При подземной прокладке трубопровод подвергается в общем случае следующим радиальным внешним нагрузкам:
  - вертикальным статическим и динамическим нагрузкам;
  - гидростатическому давлению грунтовых вод;
  - внутреннему вакууму.



Рис. 8 Виды деформации

3.2.38 Общее расчетное значение внешних нагрузок должно быть меньше или равным допустимому давлению, вызывающему вдавливание (потерю устойчивости). Допустимое по устойчивости давление, Н/мм<sup>2</sup>, определяется следующей формулой:

$$q_{\partial on} = \frac{1}{FS} \left[ 32R_B \times B' \times E' \times SN \right]^{0.5} \tag{35}$$

где

 $q_{oon}$  - допустимое давление,  $H/\text{мм}^2$ ;

FS - коэффициент безопасности, принимаемый здесь равным 2,5;

 $R_{B}$  - коэффициент плавучести, б/р, вычисляемый по формуле:

 $R_B = 1-0.33 (H_B/H);$   $0 \le H_B \le H,$ 

где

 $H_{B}$  - высота водяного столба над верхней поверхностью трубы, м;

H - высота над поверхностью трубы до уровня земли, м.

B' - эмпирический коэффициент упругой опоры, 6/p, определяемый по формуле:

$$B' = \frac{1}{1 + 4e^{-0.213H}};$$

E' - комбинированный модуль реакции грунта, МПа.

Уравнение (35) справедливо при следующих условиях:

- без внутреннего вакуума

 $0.6 \text{ M} \leq H \leq 24.4 \text{ M}$ ;

- с внутренним вакуумом

 $1.2 \text{ M} \le H \le 24.4 \text{ M}.$ 

3.2.39. В случае с внутренним вакуумом, когда  $0.6 \ m \le H \le 1.2 \ m$  для вычисления допустимого по устойчивости давления необходимо пользоваться формулой Мизеса (без коэффициента безопасности, не требуемого для такой глубины прокладки):

$$q_{\partial on} = \left(\frac{2E \times \delta_o}{d_{cp} \left(n_B^2 - 1\right) \times \left(1 + K\right)^2}\right) + \left[n^2 - 1 + \left(\frac{2n_B^2 - 1 - v_{hl}}{1 + K}\right)\right] \left(\frac{8E \times I}{d_{cp}^3 \left[1 - (v_{hl}) \times (v_{lh})\right]}\right)$$
(36)

где

E - окружной изгибный модуль упругости,  $H/мм^2$ ;

 $\delta_o$  - сумма толщин структурного и лайнерного слоя, мм,  $\delta_o = \delta_{cc} + \delta_{nc}$ ;

 $n_B$  - количество волн, образующихся на поверхности трубы при потере устойчивости,  $n \ge 2$ ;

 $v_{hl}$  - коэффициент Пуассона для окружного напряжения (окружность-ось), б/р;

 $v_{lh}$  - коэффициент Пуассона для продольного напряжения (ось-окружность), б/р;

$$K = \left(\frac{2n_B \times L_C}{\pi \times d_{cp}}\right)^2,$$

гле

 $L_C$  расстояние между элементами жесткости (для трубопровода это расстояние между соединениями – муфтами, фитингами), мм;

I - момент инерции стенки трубы, мм $^3$ ,

$$I = \frac{\delta_{cm}^{3}}{12}.$$

3.2.40 Расчетное давление при типовой укладке трубы определяется из формулы:

$$q_{pac4} = \gamma_B \times H_B + R_B \left(\frac{W_{\Gamma P}}{d_{\mu}}\right) + P_{eak} \le q_{\partial on}$$
(37)

где

 $\gamma_R$  - удельный вес воды, кг/мм<sup>3</sup>;

 $H_{B}$  - высота столба воды над поверхностью трубы, мм;

 $R_B$  - коэффициент плавучести воды, б/р;

 $W_{\Gamma P}$  - вертикальная нагрузка грунта на трубу, кг;

 $d_{\rm H}$  - наружный диаметр трубы, мм;

 $P_{\text{вак}}$  - давление внутреннего вакуума (атмосферное давление при абсолютном отсутствии внутреннего давления в трубе), Н/мм<sup>2</sup>.

Одновременное действие динамической нагрузки и вакуума обычно не рассматривается, тогда расчетное давление при действии нагрузки от грунта и динамической нагрузки определяется по формуле:

$$q_{pacu} = \gamma_B \times H_B + R_B \left( \frac{W_{IP}}{d_{II}} \right) + \left( \frac{W_{II}}{d_{II}} \right) \le q_{\partial on}$$
 (38)

где

 $W_{II}$  - динамическая нагрузка на трубу, кг.

#### Оценка воздействия грунтовых вод

3.2.41. Грунтовая вода оказывает гидростатическое давление на трубопровод.

Во-первых, это давление может быть разложено на неравномерное давление, вызывающее изгиб поперечного сечения трубопровода, и равномерное внешнее давление, вызывающее только постоянное окружное усилие.

Равнодействующая внешнего гидростатического  $G_{\Gamma Z}$ , т, давления является ничем иным, как взвешивающим давлением, которому подвергается трубопровод по закону Архимеда и которое составляет:

$$G_{\Gamma \Pi} = \pi \times \gamma_R \times r_{\mu}^2 \tag{39}$$

где

 $\gamma_B$  - объемный вес воды, т/м<sup>3</sup>;

 $r_{H}$  - наружный радиус трубы (до внешней поверхности трубопровода), м.

Во-вторых, грунтовая вода взвешивает грунт, вследствие чего его эффективный объемный вес оказывается уменьшенным до величины

$$\gamma_{\text{B3B}} = \frac{\gamma_{\text{\tiny 42}} - \gamma_{\text{\tiny B}}}{1 - \varepsilon_{\text{\tiny II}}} = \gamma_{\text{\tiny 3an}} - \gamma_{\text{\tiny B}},\tag{40}$$

где

– объемный вес материала частиц грунта, равный для большинства входящих в 142 состав грунта минералов  $2,650 \div 2,750 \text{ т/м}^3$ , а для органических веществ  $1,2 \div 1,6 \text{ т/м}^3$ ;

- коэффициент пористости, представляющий отношение объема пор грунта к объему  $\mathcal{E}_{\Pi}$ его твердых частиц. б/р:

 $\gamma_{\text{зап}}$  –объемный вес грунта при полном заполнении его пор водой, т/м  $^3$  , равный

$$\gamma_{3an} = \frac{\gamma_{uz} + \varepsilon_{\Pi} \cdot \gamma_{B}}{1 + \varepsilon_{\Pi}}. \tag{41}$$

В-третьих, для большинства грунтов насыщение их водой приводит к снижению сопротивления сдвигу, а, следовательно, к увеличению давления на трубопровод. Давление, оказываемое грунтовой водой, называется нейтральным, или поровым, а давление самого взвешенного грунтового скелета – эффективным. Совместное нейтральное и эффективное давление на трубопровод оказывается больше, чем одно давление маловлажного грунта. Вес грунта, погруженного в воду, уменьшается на 1/3.

3.2.42 В присутствии грунтовых вод необходимо проверить плавучесть самой трубы заполненной транспортируемой жидкостью.

Сумма нагрузок на трубу должна быть больше, чем выталкивающая сила грунтовых вод  $F_{\Gamma PB}$ , T:

$$F_{TPB} \le SF \times (W_{TP} + W_{K} + W_{TP}) \tag{42}$$

где

 $F_{\mathit{\Gamma PB}} = \frac{\pi}{4} \times d_{_{\mathit{H}}}^{2} \times \gamma_{_{\mathit{B}}}$  - выталкивающая сила грунтовых вод;

– наружный диаметр трубы, м;  $d_{\scriptscriptstyle H}$ 

- объемный вес воды,  $T/M^3$ .

SF- коэффициент безопасности, равный 1,5;

 $W_{TP}$ - вес трубы на единицу длины, т/м;

- вес грунта над трубой, т/м,  $W_{\Gamma P}$ 

$$W_{\Gamma P} = d_{H}^{2} \times \gamma_{\Gamma P} \times R_{B} \times H_{\Gamma P}; \tag{43}$$

– вес жидкости, заполняющей трубопровод, т/м;  $W_{\mathcal{K}}$ 

 объемный вес сухого грунта, т/ м<sup>3</sup>;  $\gamma_{\Gamma P}$ 

- коэффициент плавучести воды;  $R_B$ 

– высота грунта над трубой, м;  $H_{\Gamma P}$ 

# Требования к трубопроводам в особых природных

#### и климатических условиях

3.2.43. Проектирование и прокладку трубопроводов в вечномерзлых грунтах следует производить с учетом требований СНиП 11-02-96, СНиП 2.02.04. Проектирование и прокладку трубопроводов в просадочных и пучинистых грунтах следует производить с учетом требований СНиП 2.02.01. Проектирование балластировки подземных и наземных трубопроводов следует производить с учетом требований СП 107-34.

Проектирование переходов через железные и автомобильные дороги следует осуществлять с учетом требований, ВСН 003-88, СП 109-34-97.

Для сейсмически опасных условий эксплуатации оценка стойкости стеклопластиковых трубопроводов из труб, изготовленных по технологии непрерывной намотки, проводится при следующих предположениях.

Сейсмическое воздействие распространяется в трехмерном пространстве во всех направлениях, но только два из них (перпендикулярное и параллельное оси трубопровода) оказывают реальное влияние.

#### 3.2.45. Воздействие в перпендикулярном направлении

Сейсмическое воздействие в перпендикулярном направлении выражается в большей нагрузке от грунта на трубу и увеличении поперечной силы, воспринимаемой стенкой трубы.

#### 3.2.46. Воздействие в параллельном направлении

В результате трения, возникающего между грунтом и трубопроводом, движение грунта вдоль линии трубопровода приводит либо к сдвигу в муфтовом соединении, либо к продольному напряжению в случае клеевого или фланцевого соединений.

Сейсмическое воздействие вдоль направления оси трубопровода и параллельно земле является несущественным.

# Расчет ускорений сейсмического движения

3.2.47 Вертикальное и горизонтальное ускорения, вызванные землетрясением, рассчитываются по следующим формулам:

$$a_{\scriptscriptstyle g} = m_{\scriptscriptstyle CB} \cdot C_{\scriptscriptstyle CB} \cdot I_{\scriptscriptstyle 3CB} \cdot g \,, \tag{44}$$

$$a_2 = R_{p_K} \cdot C_{c_R} \cdot I_{3c_R} \cdot g , \qquad (45)$$

где:

- вертикальное ускорение,  $M/c^2$ ;  $a_{e}$ 

- горизонтальное ускорение,  $M/c^2$ ;  $a_{\epsilon}$ 

ПРОЕКТИРОВАНИЕ ПОДЗЕМНЫХ ТРУБОПРОВОДОВ СИСТЕМ ВОДОСНАБЖЕНИЯ И ВОДООТВЕДЕНИЯ ИЗ СТЕКЛОПЛАСТИКОВЫХ ТРУБ, ИЗГОТОВЛЕННЫХ МЕТОДОМ НЕПРЕРЫВНОЙ НАМОТКИ

 $m_{cs}$  - безразмерный коэффициент, обычно = 2;

 $C_{cs}$  - коэффициент интенсивности сейсмического воздействия,  $C_{cs} = (S_{cu}-2)/100$ ;

 $I_{3c6}$  - коэффициент защиты от сейсмического воздействия, обычно = 1,2;

 $R_{p\kappa}$  - коэффициент реакции конструкции;

g - ускорение свободного падения, 9.81 м/ $c^2$ ;

 $S_{cu}$  - сейсмическая интенсивность ( $S_{ce} \ge 2$ ), обычно =9.

 $R_{p\kappa}$  (коэффициент реакции конструкции) является функцией фундаментального периода  $T_0$  (колебаний конструкции вдоль рассматриваемого направления):

$$npu \ T_0 > 0.8 \ c$$
  $R_{p\kappa} = 0.862 \ / \ T_0^{0.667}$   $npu \ T_0 \le 0.8 \ c$   $R_{p\kappa} = I_{3c6}$ 

При неопределенном значении периода  $T_0$  коэффициент  $R_{p\kappa}$  принимается равным 1 (максимальное значение).

3.2.48 Вертикальное и горизонтальное ускорения, вызванные землетрясением (пример для R=1), рассчитываются соответственно как:

$$a_{\rm g} = \frac{2 \cdot (9-2)}{100 \cdot 12} \text{ g} = 0.116 \text{ g} = 1.14 \text{ m/c}^2.$$
 (46)

$$a_{\varepsilon} = \frac{1 \cdot (9-2)}{100 \cdot 1,2} g = 0.058 g = 0.57 \text{ m/c}^2.$$
 (47)

Таким образом, ускорение при землетрясении равны:

- ускорение в вертикальном направлении:  $a_g + g = 10,95 \text{ м/c}^2$ .
- ускорение в горизонтальном направлении  $a_h = 0.57 \text{ м/c}^2$ .

### Проверка вертикальной деформации (устойчивости) трубы при землетрясении

- 3.2.49 Сейсмическое воздействие в вертикальном направлении увеличивает статическую нагрузку от грунта и временную нагрузку на трубопровод, что приводит к снижению коэффициента безопасности для вертикальной деформации.
- 3.2.50 Проверка устойчивости трубопровода выполняется в соответствии с его рассчитанными конструктивными параметрами и условиями прокладки по формулам (стандарт AWWA C950-88)

$$q_{\text{gnzp}} = \left(R_B \frac{W_{\Gamma P}}{d_{_H}} + \frac{W_{\mathcal{I}}}{d_{_H}}\right) \cdot \frac{a_{_B} + g}{g}$$

$$q_{_{RDO}} = \sqrt{32R_B \times B' \times E' \times SN}$$
(48)

где

 $q_{\it внгр}$  - внешние нагрузки,  $H/mm^2$ ;

 $q_{\kappa p \phi}$  - критическое давление,  $H/\text{мм}^2$ ;

SF - коэффициент безопасности, принимается равным 2,5;

 $R_{B}$  - коэффициент плавучести воды;

ПРОЕКТИРОВАНИЕ ПОДЗЕМНЫХ ТРУБОПРОВОДОВ СИСТЕМ ВОДОСНАБЖЕНИЯ И ВОДООТВЕДЕНИЯ ИЗ СТЕКЛОПЛАСТИКОВЫХ ТРУБ, ИЗГОТОВЛЕННЫХ МЕТОДОМ НЕПРЕРЫВНОЙ НАМОТКИ

 $W_{\Gamma P}$  - вертикальная нагрузка от грунта на трубу, Н/мм;

 $W_{II}$  - динамическая нагрузка на трубу, Н/мм;

 $a_{\theta}$  - вертикальное ускорение, м/c<sup>2</sup>;

g - ускорение свободного падения, м/ $c^2$ ;

 $d_{\scriptscriptstyle H}$  - наружный диаметр трубы, мм;

B' - эмпирический коэффициент упругой опоры;

E' - модуль реакции грунта,  $H/мм^2$  SN - окружная жесткость трубы,  $\Pi a$ .

Труба считается устойчивой при сейсмическом воздействии, если

$$\frac{q_{\kappa p \delta}}{q_{\kappa p c p}} \ge SF \tag{48a}$$

### Сейсмическая деформация грунта

3.2.51 Для расчета сейсмического воздействия в направлении, параллельном оси трубопровода, необходимо учитывать деформацию грунта при землетрясении:

$$\varepsilon_{p} = \frac{(T_{cs} \times a_{p})}{(2\pi \times V_{cs})},\tag{49}$$

где

 $T_{cs}$  - период сейсмической волны, с;

 $a_z$  - сейсмическое (горизонтальное) ускорение, м/с<sup>2</sup>;

 $V_{ce}$  - скорость распространения сейсмической волны, м/с.

### Продольная деформация трубы при сейсмическом воздействии

#### 3.2.52 Нефиксированное соединение

Муфтовое соединение не передает продольные напряжения; при таком типе соединения возможны перемещения секций труб в месте соединения.

Необходимо определить продольную деформацию трубы в результате землетрясения и убедиться, что перемещение в месте соединения не приводит к выскальзыванию конца трубы, входящего в муфту, из муфты.

#### 3.2.53. Фиксированное соединение

Соединение «склеивание встык» (ламинированное соединение) передает продольные напряжения.

Необходимо определить продольную деформацию трубы в результате землетрясения, добавить деформацию под действием рабочего давления и убедиться, что общая деформация не превышает допустимую продольную деформацию.

### 4. ИЗНОСОСТОЙКОСТЬ

4.1. При транспортировке суспензий и абразивных жидкостей возникают две проблемы – коррозия и абразивное истирание, поэтому внутренний слой трубы (лайнер) должен быть

ПРОЕКТИРОВАНИЕ ПОДЗЕМНЫХ ТРУБОПРОВОДОВ СИСТЕМ ВОДОСНАБЖЕНИЯ И ВОДООТВЕДЕНИЯ ИЗ СТЕКЛОПЛАСТИКОВЫХ ТРУБ, ИЗГОТОВЛЕННЫХ МЕТОДОМ НЕПРЕРЫВНОЙ НАМОТКИ

изготовлен из специальных смол с возможным добавлением порошковых материалов, для создания композиций, имеющих повышенную устойчивость к истиранию.

- 4.2 Ассортимент трубной продукции, изготовленной по технологии непрерывной намотки, включает трубы из армированного стеклопластика с внутренним слоем (лайнером) из материала, устойчивого к коррозии и истиранию, которые могут использоваться для транспортировки химически агрессивных и абразивных жидкостей.
- 4.3 Химически устойчивый и стойкий к истиранию армированный стеклопластик позволяет транспортировать следующие суспензии с указанными в качестве примера характеристиками:

#### Известняковая суспензия (содержание твердых веществ: 10 % - 15 % по весу.)

Максимальная скорость транспортиру	уемого потока	$\leq$	2.6 м/с
Размер частиц	85,0 %	<	90 микрон
	13,0 %	<	150 микрон
	1,5 %	<	200 микрон
	0.5 %	<	300 микрон

#### Гипсовая суспензия (содержание твердых веществ: 35 % - 50 % по весу.)

Максимальная скорость транспортируемого потока  $\leq 2.0 \text{ м/c}$  Размер частиц 60 микрон (средний размер)

150 микрон (максимальный размер частиц)

#### Известняковая суспензия (содержание твердых веществ: 35% по весу.)

Максимальная скорость транспортируемого потока  $\leq 2.8 \text{ м/c}$  Размер частиц 95.0 % < 70 микрон 5.0 % < 150 микрон

В случае воздействия абразивной среды на внешнюю поверхность трубы, внешний слой должен изготавливаться также из материала, устойчивого к абразивному истиранию.

#### 5. КРЕПЛЕНИЯ ТРУБ

### 5.1. Проходы

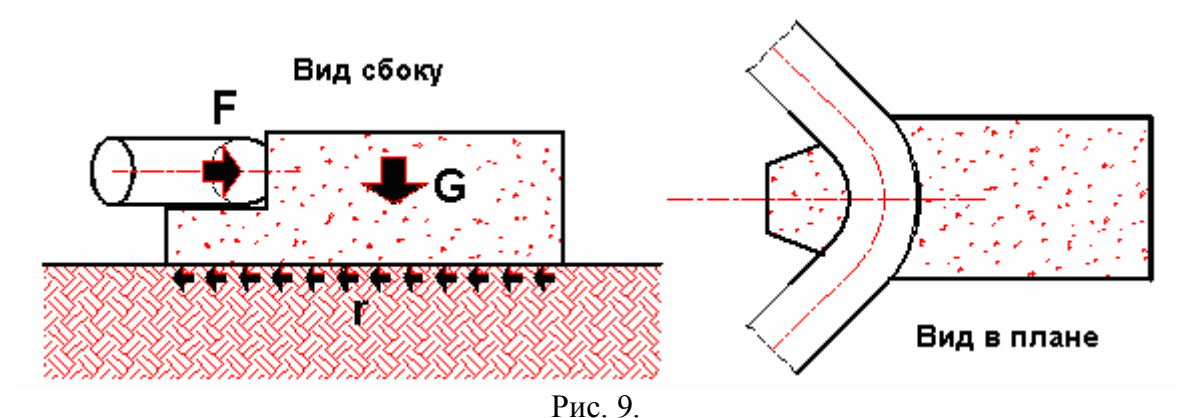
- 5.1.1 Проход стеклопластиковых труб сквозь стенки сооружений или колодцев, выполненных не из стеклопластика, следует осуществлять с помощью гильз из отрезков стальных труб. Уплотнение пространства между стеклопластиковой трубой и гильзой следует выполнять с использованием резиновых колец, либо лент (100 200 мм шириной и 10 20 мм толщиной в зависимости от диаметра трубы). Кроме того, необходимо соблюдать следующие условия:
  - а) подушка под трубу в траншее перед стенкой сооружения должна быть: шириной  $\geq 1$  D, длиной  $\geq 2$  D, где D - диаметр трубы;
  - б) каждый приямок в траншее должен иметь размеры: ширину  $\geq 3$  D, длину  $\geq 3$  D.

### 5.2. Анкерные блоки

- 5.2.1 В местах поворотов трассы, установок фитингов и в конечных точках напорных трубопроводов предусматриваются упоры (анкерные блоки), к которым крепятся, или в которые заделываются при создании упора стеклопластиковые трубы.
  - 5.2.2 Анкерные блоки могут быть выполнены в трех видах:
    - 1) гравитационные
    - 2) реактивные
    - 3) комбинированные
- 5.2.3 Контакт анкерного блока со стенкой трубы осуществляется через резиновую прокладку толщиной 10÷30 мм.

#### 5.2.1. Гравитационные анкерные блоки

5.2.1.1 Гравитационные анкерные блоки изготавливаются таким образом, чтобы их собственный вес мог противодействовать силе вызванной внутренним давлением. Т.е. характеристики поверхности основания должны гарантировать противодавление за счет сил трения.



Гравитационный анкерный блок

При этом необходимо принимать в расчет грунтовые воды, поскольку они снижают вес бетонного блока и изменяют коэффициент трения.

В соответствии с условиями укладки трубопровода и типом грунта определяется необходимый коэффициент трения бетон/грунт, площадь опоры и вес анкерного блока.

#### 5.2.2. Реактивные анкерные блоки

5.2.2.1 Реактивные анкерные блоки устанавливаются в тех случаях, когда грунт обладает стабильными характеристиками (каменистый грунт, плотный и твердый грунт). В этом случае требуется соответствующая глубина засыпки над анкерным блоком - не ниже 1 м.

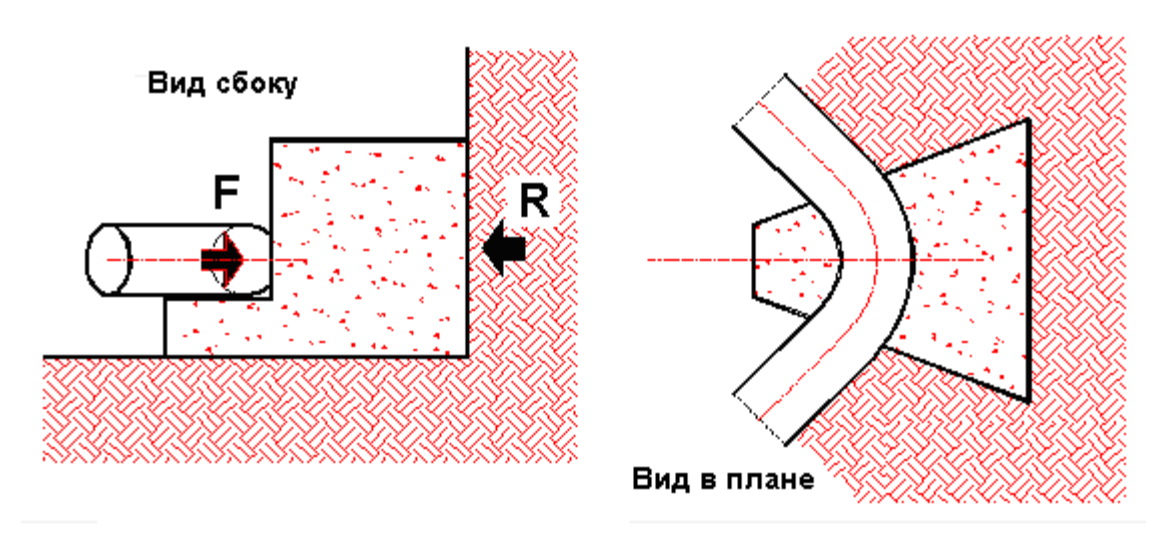


Рис. 10. Реактивный анкерный блок

Такие анкерные блоки образуют противодавление за счет пассивной реакции грунта; для этих целей они должны отливаться (устанавливаться) примыкающими к вертикальной стене ненарушенного грунта.

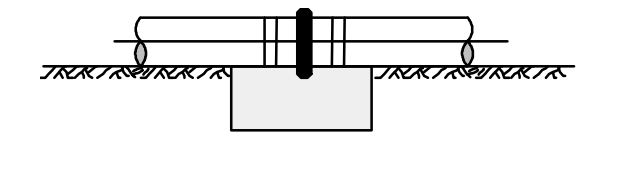
### 5.2.3. Комбинированные анкерные блоки

5.2.3.1 Комбинированные анкерные блоки размещаются в случае прокладки трубопровода в грунте смешанного типа (частично стабильного грунта) и в случаях, когда необходимо использовать свойства как гравитационных, так и реактивных анкерных блоков.

Примечание: для каждого вида анкерных блоков в случае необходимости следует проводить уплотнение грунта вокруг блоков или стабилизацию грунта под блоками.

#### 5.2.4. Линейные анкерные блоки

- 5.2.4.1 Линейные анкерные блоки используются для контроля и предотвращения осевых сдвигов труб с муфтовыми (подвижными) соединениями. Эти сдвиги могут быть вызваны изменениями давления или температурным градиентом. Анкерный блок должен быть размещен под трубой и соединен с ней при помощи нейлоновых лент.
- 5.2.4.2 Линейные анкерные блоки могут устанавливаться как при подземной, так и при наземной прокладке стеклопластикового трубопровода.



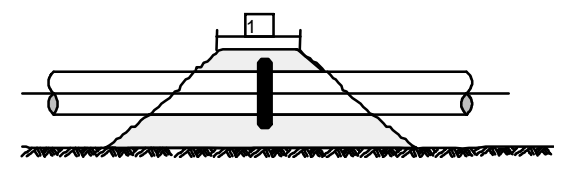


Рис 11.

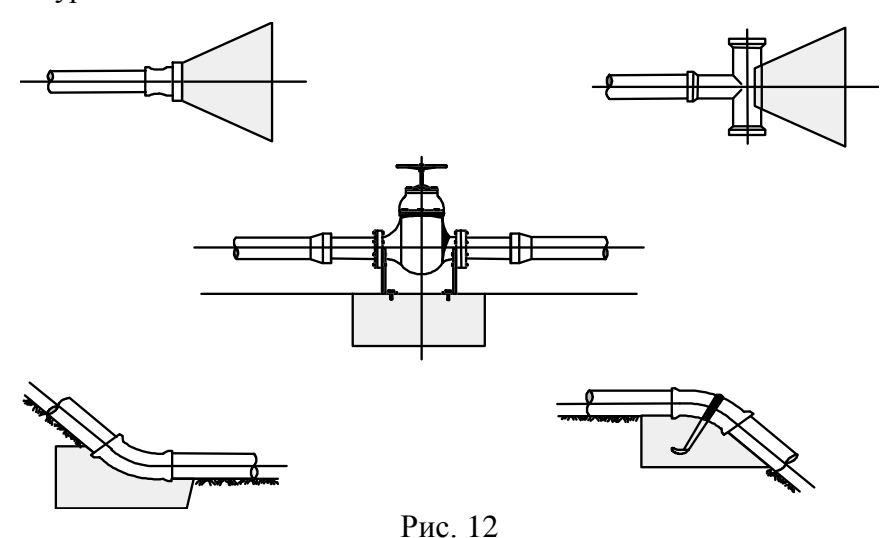
Схема установки линейного анкерного блока

5.2.4.3 В некоторых случаях анкерные блоки могут быть выполнены из тощего бетона (50÷70 кг/м<sup>3</sup>) на соответствующую длину, определяемую возможностью стекания бетона под его естественным углом.

В обоих случаях на стеклопластиковой трубе должно быть сформировано «ребро» (из ленты) толщиной 25 мм, длиной 150 мм.

#### 5.3. Типовые схемы установки анкерных блоков

5.3.1 Некоторые типовые схемы анкерных блоков, которые могут использоваться в процессе строительства подземного трубопровода приведены ниже. Они устанавливаются в местах монтажа отводов (в том числе – с изменением глубины прокладки), Т-образных и глухих фланцев, под арматурой и т.д.



Типовые схемы установки анкерных блоков.

5.3.2 Запорная арматура всегда блокируется анкерными опорами, для того чтобы разгрузить напряжения, вызываемые температурными расширениями трубы и гидравлическими ударами, возникающими при работе задвижек. Во многих случаях анкерные блоки устанавливаются так, что они полностью охватывают трубу в месте установки опоры.

### 5.4. Расчет анкерных блоков

- 5.4.1 Для расчета анкерных блоков (бетонных упорных подушек) необходимо задать следующие параметры грунта:
  - а) угол внутреннего трения;
  - б) сцепление;
  - с) удельный вес грунта;
  - д) коэффициент трения бетон/грунт;
  - е) пассивная реакция грунта

Для различных грунтов значения этих параметров приведены в таблице 9.

#### Таблица 9

Тип грунта	Угол внутреннего трения, $\phi_{mp}$	Сцепление (Па)	Удельный вес ( <i>H/м</i> <sup>3</sup> )	Коэффициент трения бетон /грунт
Влажный грунт (WS), илистые глины (SC), органические почвы (OS)	20° 25°	10000	18000	0.30
Песчаные грунты (SS), глинистые песчаники (CS), песок (S)	30° 35°	5000 0	17000	0.50
Сухие грунты (DS): гравий (G), крошеный камень (CS)	40°	0	16000	0.70

### Пассивная реакция грунта

5.4.2 Пассивная реакция грунта против бетонного блока определяется по формуле:

$$T_{\Gamma P} = 0.5 \cdot \gamma_{\Gamma P} \left( H_{16\pi}^2 - H_{26\pi}^2 \right) \cdot B_{6\pi} \cdot tg^2 \left( 45 + \varphi_{mp} / 2 \right)$$
 (50)

где:

 $T_{\Gamma P}$  - реакция грунта, H;

 $\Upsilon_{\Gamma P}$  - удельный вес грунта,  $H/M^3$ ;

 $H_{16\pi}$  - расстояние от уровня земли до основания бетонного блока, м;

 $H_{26\pi}$  - расстояние от уровня земли до верхней поверхности бетонного блока, м;

 $B_{\it бл}$  - ширина бетонного блока находящаяся в контакте с ненарушенным грунтом, м;

 $\varphi_{mp}$  - угол внутреннего трения грунта, град.

### Расчет воздействий на анкерные блоки

5.4.3~ Сила, действующая в направлении биссектрисы угла отвода  $F_{om6}$ , H, определяется по формуле:

$$F_{ome} = 2P_H \times \omega \times \sin\left(\frac{\beta_o}{2}\right),\tag{51}$$

где:

 $P_{H}$  - давление испытания при прокладке трубопровода, Н/мм $^{2}$ ;

 $eta_o$  - угол отвода, град.

 $\omega$  — площадь поперечного сечения трубопровода, мм $^2$ 

СТЕКЛОПЛАСТИКОВЫХ ТРУБ, ИЗГОТОВЛЕННЫХ МЕТОДОМ НЕПРЕРЫВНОЙ НАМОТКИ

ПРОЕКТИРОВАНИЕ ПОДЗЕМНЫХ ТРУБОПРОВОДОВ СИСТЕМ ВОДОСНАБЖЕНИЯ И ВОДООТВЕДЕНИЯ ИЗ

5.4.4 Сила, действующая в точках монтажа переходников, тройников и глухих фланцев  $F_{mm}$ , H, определяется по формуле:

$$F_{m_M} = P_U \left( A_{\delta \partial} - A_{M \partial} \right), \tag{52}$$

где:

 $P_{H}$  - давление при испытании трубопровода,  $H/MM^{2}$ ;

 $A_{\delta\delta}$  - площадь сечения потока большого диаметра, мм<sup>2</sup>;

 $A_{M\partial}$  - площадь сечения потока меньшего диаметра, мм<sup>2</sup>.

В случае тройников или глухих фланцев  $A_{MO} = 0$ .

### Оценка силы трения бетон/грунт

5.4.5 Сила трения,  $F_{mph}$ , H, действующая на анкерный блок, оценивается по формуле:

$$F_{mp} = (I_{\delta m} \times \gamma_{\delta m} + I_{P} \times \gamma_{P}) \times f \tag{53}$$

где:

- объем бетона,  $M^3$ ;  $I_{\delta m}$ 

- удельный вес бетона, H/м<sup>3</sup>;  $\gamma_{\delta m}$ 

– объем грунта над бетонным блоком, м<sup>3</sup>;  $I_{\Gamma P}$ 

- удельный вес грунта, H/м<sup>3</sup>;  $\gamma_{\Gamma P}$ 

=0,7 - коэффициент трения бетон/грунт (или принимается по таблице 9).

3.3.3.2 Условие равновесия сил:

$$F_{mn} + T_{TP} \ge 1.5 \times F \,, \tag{54}$$

где:

 $T_{\Gamma P}$ – реакция грунта, Н, формула (50);

- сила трения, действующая на анкерный блок, Н, формула (53);  $F_{mp}$ 

 $\boldsymbol{F}$ - сила, действующая на анкерный блок,  $H(F_{ome})$  или  $F_{mm}$ ).

#### 6. ТРАНСПОРТИРОВАНИЕ И ХРАНЕНИЕ

- 6.1. Стеклопластиковые трубы и фасонные изделия перевозят любым видом транспорта в закрепленном состоянии, препятствующем их перемещению, деформации и повреждениям в соответствии с правилами перевозки на соответствующих видах транспорта.
- 6.2. Для перевозки труб одной длины, но разного диаметра допускается помещать их одну в другой (телескопически) с обязательной защитой внутренней и наружной поверхностей труб от повреждений. В качестве защитных материалов можно использовать: резиновые жгуты и кольца; ткань, пленку или прокладки из поливинилхлорида, полиэтилена, полипропилена и Т.Π.

СТЕКЛОПЛАСТИКОВЫХ ТРУБ, ИЗГОТОВЛЕННЫХ МЕТОДОМ НЕПРЕРЫВНОЙ НАМОТКИ

# ПРОЕКТИРОВАНИЕ ПОДЗЕМНЫХ ТРУБОПРОВОДОВ СИСТЕМ ВОДОСНАБЖЕНИЯ И ВОДООТВЕДЕНИЯ ИЗ

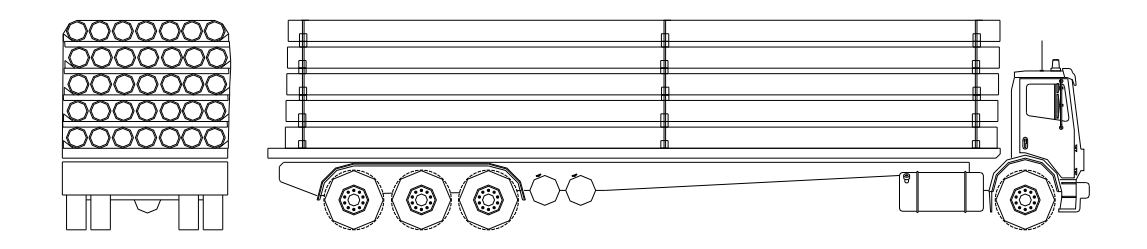
**Примечание**: под термином «трубы» следует понимать как «трубы без муфт», так и «трубы с муфтами на одном конце»; обычно муфта устанавливается на трубу в

заводских условиях.

6.3. В зависимости от габаритов труб их можно перемещать вручную либо с помощью подъемно-транспортного оборудования, используя неметаллические мягкие стропы, тросы или ремни, что гарантирует целостность внешней поверхности труб. Рекомендуется использовать ремни шириной минимум 80 мм. Поднятие при помощи крючков за концы труб строго запрещено.

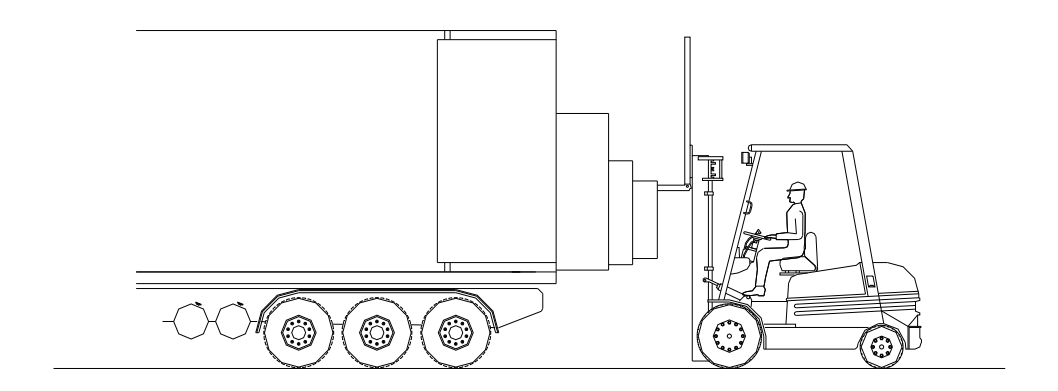
Запрещается перемещать трубы волоком, сбрасывать и спускать по наклонной плоскости, не допускается ронять и ударять трубы друг о друга.

- 6.4 При погрузке и разгрузке торцы труб и фитингов должны быть защищены. Защита может состоять из деревянных досок или полос мягкого пластика, которые крепятся к торцам при помощи мягких ремней.
- 6.5. Прямые сегменты труб или большие фитинги при перемещениях необходимо зацеплять в двух точках по длине трубы или фитинга, сбалансировав их соответствующим образом.
- 6.6 Трубы и компоненты должны укладываться на деревянные перекладины, надежно прикрепленные к дну грузовика. Деревянные перекладины так же размещаются между рядами труб.



Для крепления самых крайних труб используются клинья для предотвращения их перемещения во время транспортировки. При транспортировке пакет труб необходимо обмотать крепежными лентами или ремнями.

6.7 Процедура разгрузки выполняется в порядке, обратном процедуре погрузки. В случае разгрузки труб, уложенных телескопически, можно применять вильчатый подъемник. Трубы следует разгружать по одной, начиная с трубы самого малого диаметра. Трубу следует сначала слегка приподнять, а затем вытащить, не повреждая внешнюю трубу.



6.8 Длительное хранение труб, предназначенных для подземной прокладки, осуществляется в закрытых помещениях или под навесом при температуре от минус 50 до 50 °C в условиях, исключающих прямое попадание солнечных лучей и не ближе 1 м от нагревательных приборов.

Для защиты торцов труб и муфт, а также внутренней поверхности труб от загрязнения и повреждения допускается обматывать торцы пластмассовой пленкой.

6.9 Трубы должны храниться на стеллажах или в штабелях высотой до 2 м и опираться на боковые опоры (или клинья), препятствующие их скатыванию или сползанию. При хранении трубы могут укладываться друг на друга на опорные или разделительные доски шириной не менее 150 мм на ровной горизонтальной поверхности, свободной от твердых и острых предметов. Нижний и последующие ряды должны укладываться не менее чем на три опоры (при длине трубы 6 ÷12 м). Рекомендуемое количество рядов и высота укладки труб в штабеля указаны в таблице 10.

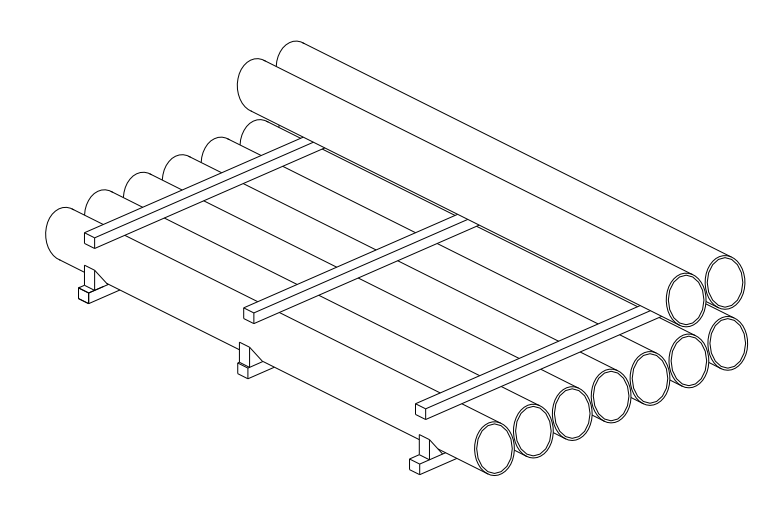
Высота укладки и количество рядов

Диаметр, мм	250÷500	600÷800	900÷1400	> 1500
Количество рядов	9÷4	4 - 3	2	1
Максимальная высота укладки	< 2.4 M	< 2.6 M	< 2.8 M	Диаметр





Таблина 10



Допускается укладка нижнего ряда труб непосредственно на песчаный грунт при условии плоской, ровной, горизонтальной поверхности и отсутствии камней, твердых и острых предметов.

- 6.10 Фасонные детали труб должны храниться отдельно по типам и диаметрам в условиях, исключающих удары и повреждения поверхностей, а также без воздействия механических нагрузок.
- 6.11 Уплотнители и дистанционные кольца должны храниться в помещениях при температуре от 0 до 25 °C на расстоянии не менее 1 м от отопительных приборов и должны быть защищены от загрязнения химическими реактивами и смазочными материалами на нефтяной основе.

#### 7. НОРМАТИВНЫЕ ССЫЛКИ

В настоящем Техническом Руководстве приведены ссылки на следующие нормативные документы:

- 1. СНиП 2.04.02-84\* Водоснабжение. Наружные сети и сооружения
- 2. СНиП 2.04.03-85\* Канализация. Наружные сети и сооружения
- 3. СНиП 3.05.04-85\* «Наружные сети и сооружения водоснабжения и канализации»
- 4. СП 40-104-2001 «Проектирование и монтаж подземных трубопроводов водоснабжения из стеклопластиковых труб»
- 5. СП 40-105-2001 «Проектирование и монтаж подземных трубопроводов канализации из стеклопластиковых труб»
- 6. СП 40-102-2000 «Проектирование и монтаж трубопроводов систем водоснабжения и канализации из полимерных материалов. Общие требования».
- 7. СНиП 11-02-96 «Инженерные изыскания для строительства. Основные положения»
- 8. СНиП 2.02.01-83 «Основания зданий и сооружений»

СТЕКЛОПЛАСТИКОВЫХ ТРУБ, ИЗГОТОВЛЕННЫХ МЕТОДОМ НЕПРЕРЫВНОЙ НАМОТКИ

- 9. СП 107-34-96 «Свод правил сооружения магистральных газопроводов. Свод правил по сооружению линейной части газопроводов. Балластировка, обеспечение устойчивости
- 10. ВСН 003-88 «Строительство и проектирование трубопроводов из пластмассовых труб»
- 11. СП 109-34-97 «Свод Правил по сооружению магистральных газопроводов. Сооружение переходов под автомобильными и железными дорогами
- 12. СНиП 3.01.04-87 Приемка в эксплуатацию законченных строительством объектов. Основные положения
- 13. СНиП 3.02.01-87 «Земляные сооружения, основания и фундаменты»
- 14. СНиП III-4-80\* Техника безопасности в строительстве

положения газопроводов на проектных отметках»

- 15. ТУ 2296-002-96579200-2007. Канализационные трубы, фасонные детали и соединительные элементы из композитного материала по технологии «НТТ».
- 16. Технические условия. Напорные трубы, фасонные детали и соединительные элементы из композитного материала по технологии «НТТ» (в доработке).
  - 17. AWWA Manual M45 «Проектирование стеклопластиковой трубы»
  - 18. ANSI/AWWA C950-01 «Стандарт AWWA для стеклопластиковых напорных труб»
  - 19. Пособие по определению толщин стенок стальных труб, выбору марок, групп и категорий сталей для наружных сетей водоснабжения и канализации (к СНиП 2.04.02 и СНиП 2.04.03)

#### 8. Перечень условных обозначений, использованных в ТР

Обозна- чение	Наименование параметра
а	скорость распространения ударной волны в трубопроводе
$a_2$	коэффициент, учитывающий характер шероховатости внутренней поверхности трубы
A <sub>бð</sub>	площадь сечения потока большого диаметра в местах установки анкерных блоков
a <sub>e</sub>	вертикальное ускорение, вызванное землетрясением (сейсмическое)
a₂	горизонтальное ускорение, вызванное землетрясением (сейсмическое)
$A_{M\partial}$	площадь сечения потока малого диаметра в местах установки анкерных блоков
$\alpha_{m}$	линейный коэффициент теплового расширения
$eta_o$	угол колена (отвода)
β	центральный угол в трубе, соответствующий расчетному наполнению
B'	эмпирический коэффициент упругой опоры
Вбл	ширина бетонного блока находящаяся в контакте с ненарушенным грунтом
B <sub>mp</sub>	ширина траншеи по линии пят арки, образуемой сводом грунта над трубой
С	коэффициент Шези
χ	смоченный периметр внутренней стенки трубы

<ul> <li>∆ зквивалентная шероховатость</li> <li>∂ с толщина структурного слоя степки трубы</li> <li>∂ максимально допустимая долговременная деформация</li> <li>Д коэффициент формы, соотносящий прогиб трубы и изгибиую деформацию</li> <li>Д коэффициент авлаения при гидравлическом ударе</li> <li>Д коэффициент запаздывания прогиба</li> <li>δ с сумма толщин структурного и лайнерного слоя</li> <li>ДР повышение давления при гидравлическом ударе</li> <li>Д разность температур при вычислении продольной деформации</li> <li>Д разность температур при вычислении продольной деформации</li> <li>Д поверечный (окружной) прогиб трубы</li> <li>Д максимально допустимый долговременный пертикальный прогиб</li> <li>Д максимально допустимый долговременный пертикальный прогиб</li> <li>Д максимально допустимый долговременный пертикальный прогиб</li> <li>Д маружный диаметр трубы</li> <li>Д полщина лайнерного слоя стенки трубы</li> <li>Д наружный диаметр трубы</li> <li>Д с средний диаметр трубы</li> <li>Д с средний диаметр трубы</li> <li>Д окружной модуль упругости на растяжение</li> <li>Е окружной модуль упругости на растяжение</li> <li>Е окружной модуль упругости на растяжение</li> <li>Д оссвой модуль упругости на растяжение</li> <li>Д оссвой модуль упругости на растяжение</li> <li>Д оссвой модуль реакции стественного грунта в зоне засыпки трубы</li> <li>Д максимальная окружная изгибая под действием вертикальных сил трубы с опорой на концах</li> <li>Д оссвой модуль упругости на растяжение</li> <li>Д оссвой модуль упругости на растяжение</li> <li>Д оссвой модуль упругости на растяжение</li> <li>Д оссрой модуль упругости на растяжение</li> <li>Д осуустимая продольная деформация при изменении температур</li> <li>Д осуустимая продольная деформация под действием внутреннего давления (распирение)</li> <li>Д осуустимая расчетная деформация под действием внутреннего давления (распирение)</li> <li>Д осуустима</li></ul>	C <sub>36</sub>	скорость звука в воде
№ с         толшина структурного слоя стенки трубы           №         максимально допустимая долговременная деформация           Ог         коэффициент формы, соотносящий прогиб трубы и изгибную деформацию           Ар         новышение давления при гидравлическом ударе           Ос         сумма толщин структурного и лайнерного слоя           ДР         повышение давления при гидравлическом ударе           АТ         разность температур при вычислении продольной деформации           Ду         поперечный (окружной) прогиб трубы           Ду         максимально допустимый долговременный вертикальный прогиб           Де         полицина лайнерного слоя стенки трубы           Де         толицина лайнерного слоя стенки трубы           Де         средний диаметр	Cce	коэффициент интенсивности сейсмического воздействия
δd         максимально допустимая долговременная деформация           Dt         коэффициент формы, соотносящий прогиб трубы и изгибную деформацию           Δ₁         повышение давления при гидравлическом ударе           D₂         коэффициент запаздывания прогиба           δ₀         сумма толщин структурного и лайнерного слоя           ΔР         повышение давления при гидравлическом ударе           Дт         разность температур при вычислении продольной деформации           Ду         максимально допустимый долговременный вертикальный прогиб           Дв         внутренний диаметр трубы           Дв         средний диаметр трубы моруль упругости на растяжение;      <	Δ	эквивалентная шероховатость
D₁         коэффициент формы, соотносящий прогиб трубы и изгибную деформацию           Δ₁         повышение давления при гидравлическом ударе           D₁         коэффициент запаздывания прогиба           δ₀         сумма толшин структурного и лайнерного слоя           ΔР         повышение давления при гидравлическом ударе           ΔТ         разность температур при вычислении продольной деформации           Δу         максимально допустимый долговременный вертикальный прогиб           Ду         максимальна диформатир трубы           Ду         средний диаметр трубы           Су         средний диаметр трубы диаметр трубы с солоя стеки трубы с солоя стеки трубы с солоя стеки трубы с	$\delta_{ { m cc}}$	толщина структурного слоя стенки трубы
Λ <sub>h</sub> повышение давления при гидравлическом ударе           D <sub>L</sub> коэффициент запаздывания прогиба           δ <sub>O</sub> сумма толщин структурного и лайнерного слоя           AP         повышение давления при гидравлическом ударе           AT         разность температур при вычислении продольной деформации           Ду         поперечный (окружной) прогиб трубы           Д <sub>m</sub> максимально допустимый долговременный вертикальный прогиб           Д <sub>m</sub> внутренний диаметр трубы           δ <sub>m</sub> толщина лайнерного слоя степки трубы           Д <sub>p</sub> средний диаметр трубы           δ <sub>c</sub> толщина структурного слоя степки трубы           δ <sub>c</sub> толщина структурного слоя степки трубы           δ <sub>c</sub> толщина структурного слоя степки трубы           E         окружной модуль упругости на растяжение           E         окружной модуль упругости на растяжение;           E'         комбинированный модуль реакции грунта в зоне засыпки трубы           ε <sub>b</sub> максимальная леформация от изгиба под действием вертикальных сил трубы с опорой на концах           E <sub>h</sub> модуль реакции грунта в зоне засыпки трубы           E <sub>h</sub> модуль реакции грунта в зоне засыпки трубы           E <sub>h</sub> окружная продольная деформация (уменьшение продольного размера трубы) от внутр	$\delta$ d	максимально допустимая долговременная деформация
D <sub>L</sub> коэффициент запаздывания прогиба           δ <sub>O</sub> сумма толщин структурного и лайнерного слоя           ΔР         повышение давления при гидравлическом ударе           ΔТ         разность температур при вычислении продольной деформации           Δу         поперечный (окружной) прогиб трубы           Δу <sub>3</sub> максимально допустимый долговременный вертикальный прогиб           d <sub>80</sub> внутренний диаметр трубы           δ <sub>RC</sub> толщина лайнерного слоя стенки трубы           d <sub>6</sub> средний диаметр трубы           δ <sub>CC</sub> толщина стенки трубы           E <sub>H</sub> окружной модуль упругости на растяжение           E         окружной модуль упругости на растяжение;           E'         комбинированный модуль реакции грунта           δ <sub>(гооф)</sub> модуль реакции стественного грунта в зоне засыпки трубы           c <sub>0</sub> максимальная окружная изгибная деформация трунта в зоне засыпки трубы           E <sub>H</sub> окружной модуль упругости на растяжение           β <sub>1</sub> модуль реакции грунта в зоне засыпки трубы           E <sub>H</sub> окружной модуль упругости на растяжение	D <sub>f</sub>	коэффициент формы, соотносящий прогиб трубы и изгибную деформацию
<ul> <li>         δ<sub>O</sub> сумма толщин структурного и лайнерного слоя         АР повышение давления при гидравлическом ударе         АТ разность температур при вычислении продольной деформации         Ау поперечный (окружной) прогиб трубы         Ау максимально допустимый долговременный вертикальный прогиб         Ф<sub>вм</sub> внутренний диаметр трубы         δ<sub>7c</sub> толщина лайнерного слоя стенки трубы         Ф<sub>ср</sub> средний диаметр трубы         Ф<sub>ср</sub> соевай модуль упругости на растяжение              Ф<sub>ср</sub> модуль реакции срунта в зоне засыпки трубы         Ф<sub>ср</sub> модуль реакции грунта в зоне засыпки трубы         Ф<sub>ср</sub> модуль реакции грунта в зоне засыпки трубы         Ф<sub>ср</sub> модуль реакции грунта в зоне засыпки трубы         Ф<sub>ср</sub> модуль формация (уменьшение продольного размера трубы) от внутреннего давления         Ф<sub>ср</sub> допустимая продольная деформация         Ф<sub>ср</sub> деформация грунта при землетрясении         Ф<sub>ср</sub> деформация грунта при землетрясении         Ф<sub>ср</sub> деформация грунта при землетрясении         Ф<sub>ср</sub> деформация подпостости трунта              сила, действующая на кольцо трубы единичной длины в направлении, перпендикулярным              Ф<sub>ср</sub> сила, действующая на кольцо трубы единичной дли</li></ul>	$\Delta_h$	повышение давления при гидравлическом ударе
AP         повышение давления при гидравлическом ударе           AT         разность температур при вычислении продольной деформации           Δу         поперечный (окружной) прогиб трубы           Дуа         максимально допустимый долговременный вертикальный прогиб           Д₀м         внутренний диаметр трубы           Д₀м         толщина лайнерного слоя стенки трубы           Д₀р         средний диаметр трубы           Д₀р         средний диаметр трубы           Д₀м         толщина стенки трубы           Д₀м         окружной модуль упругости на растяжение           Е         окружной модуль упругости на растяжение;           Е′         комбинированный модуль реакции грунта           Д₀мовы         продольная деформация от изгиба под действием вертикальных сил трубы с опорой на концах           Е′         комбинированный модуль реакции грунта в зоне засыпки трубы           Д₀мовы         вызванная прогибом           Е′         модуль реакции естественного грунта в зоне засыпки трубы           Д₀мовы         вызванная прогибом	$D_L$	коэффициент запаздывания прогиба
AT         разность температур при вычислении продольной деформации           Ay         поперечный (окружной) прогиб трубы           Дуа         максимально допустимый долговременный вертикальный прогиб           Фвн         внутренний диаметр трубы           Фле         толщина лайнерного слоя стенки трубы           Фср         средний диаметр трубы           Фср         средний диаметр трубы           Фср         толщина стенки трубы           Ен         окружной модуль упругости на растяжение           Е         осевой модуль упругости на растяжение;           Е'         комбинированный модуль реакции грунта           продольная деформация от изгиба под действием вертикальных сил трубы с опорой на концах           Е'         модуль реакции естественного грунта в зоне засыпки трубы           сь         максимальная окружная изгибная деформация, вызванная прогибом           Еь         модуль реакции грунта в зоне засыпки трубы           Ен         окружной модуль упругости на растяжение           продольная деформация (уменьшение продольного размера трубы) от внутреннего давления           сі(доп)         допустимая продольная деформация           бър         допустимая продольная деформация           бър         деформация грунта при землетрясении           бър         деформация грунта при землетрясении<	$\delta_{O}$	сумма толщин структурного и лайнерного слоя
Лу         поперечный (окружной) прогиб трубы           Дув         максимально допустимый долговременный вертикальный прогиб           deн         внутренний диаметр трубы           δπс         толщина лайнерного слоя стенки трубы           dep         средний диаметр трубы           δсс         толщина структурного слоя стенки трубы           δ-см         толщина стенки трубы           Eн         окружной модуль упругости на растяжение           E         окружной изгибный модуль упругости           E1         сосвой модуль упругости на растяжение;           E'         комбинированный модуль реакции грунта           б(node)         продольная деформация от изгиба под действием вертикальных сил трубы с опорой на концах           E'         модуль реакции естественного грунта в зоне засыпки трубы           бь         максимальная окружная изгибная деформация, вызванная прогибом           E-         модуль реакции грунта в зоне засыпки трубы           E-         модуль формация (уменьшение продольного размера трубы) от внутреннего давления           б-         дородольная деформация, возникающая при изменении температур	ΔΡ	повышение давления при гидравлическом ударе
Дув         максимально допустимый долговременный вертикальный прогиб           deн         внутренний диаметр трубы           δηс         толщина лайнерного слоя стенки трубы           dep         средний диаметр трубы           δСС         толщина структурного слоя стенки трубы           δ-m         толщина стенки трубы           Eн         окружной модуль упругости на растяжение           E         окружной изгибный модуль упругости           E¹         комбинированный модуль реакции грунта           E′         комбинированный модуль реакции грунта           E′n         модуль реакции естественного грунта в зоне засыпки трубы           E₀         максимальная окружная изгибная деформация, вызванная прогибом           E₀         модуль реакции грунта в зоне засыпки трубы           Eн         окружной модуль упругости на растяжение           продольная деформация (уменьшение продольного размера трубы) от внутреннего давления           Бі(дол)         допустимая продольная деформация           Бі(дол)         допустимая продольная деформация           вод         окружная расчетная деформация           вод         окружная расчетная деформация под действием внутреннего давления (расширение)           вор         деформация грунта при землетрясении           Ел         коэффициент пористости грунта </td <td><math>\Delta T</math></td> <td>разность температур при вычислении продольной деформации</td>	$\Delta T$	разность температур при вычислении продольной деформации
Ф₀н         внутренний диаметр трубы           ∂пс         толщина лайнерного слоя стенки трубы           dн         наружный диаметр трубы           ∂сс         толщина структурного слоя стенки трубы           ∂сс         толщина стенки трубы           Ен         окружной модуль упругости на растяжение           Е         осевой модуль упругости на растяжение;           E'         комбинированный модуль упругости на растяжение;           E'         комбинированный модуль реакции грунта           продольная деформация от изгиба под действием вертикальных сил трубы с опорой на концах           E'         модуль реакции естественного грунта в зоне засыпки трубы           сь         максимальная окружная изгибная деформация, вызванная прогибом           Eь'         модуль реакции грунта в зоне засыпки трубы           Ен         окружной модуль упругости на растяжение           го         модуль реакции грунта в зоне засыпки трубы           Ен         окружной модуль упругости на растяжение           го         окружной модуль упругости на растяжение	Δy	поперечный (окружной) прогиб трубы
<ul> <li></li></ul>	$\Delta y_a$	максимально допустимый долговременный вертикальный прогиб
d <sub>n</sub> наружный диаметр трубы         d <sub>cp</sub> средний диаметр трубы         δ <sub>CC</sub> толщина стеруктурного слоя стенки трубы         E <sub>H</sub> окружной модуль упругости на растяжение         E       окружной изгибный модуль упругости         E <sub>L</sub> осовой модуль упругости на растяжение;         E'       комбинированный модуль реакции грунта         продольная деформация от изгиба под действием вертикальных сил трубы с опорой на концах         E'n       модуль реакции естественного грунта в зоне засыпки трубы         ε <sub>b</sub> модуль реакции грунта в зоне засыпки трубы         E <sub>b</sub> модуль реакции грунта в зоне засыпки трубы         E <sub>h</sub> модуль реакции грунта в зоне засыпки трубы         E <sub>h</sub> модуль реакции грунта в зоне засыпки трубы         E <sub>h</sub> модуль реакции грунта в зоне засыпки трубы         E <sub>h</sub> модуль оракции грунта в зоне засыпки трубы         E <sub>h</sub> модуль оракции грунта в зоне засыпки трубы         E <sub>l</sub> окружной модуль упругости на растяжение         E <sub>l</sub>	d <sub>вн</sub>	внутренний диаметр трубы
$d_{cp}$ средний диаметр трубы $\delta_{CC}$ толщина структурного слоя стенки трубы $\delta_{CC}$ толщина стенки трубы $E_H$ окружной модуль упругости на растяжение $E$ окружной модуль упругости на растяжение; $E_L$ осевой модуль упругости на растяжение; $E'$ комбинированный модуль реакции грунта продольная деформация от изгиба под действием вертикальных сил трубы с опорой на концах $E'_n$ модуль реакции естественного грунта в зоне засыпки трубы $\varepsilon_b$ максимальная окружная изгибная деформация, вызванная прогибом $E_b$ модуль реакции грунта в зоне засыпки трубы $\varepsilon_h$ окружной модуль упругости на растяжение продольная деформация (уменьшение продольного размера трубы) от внутреннего давления $\varepsilon_l(gon)$ допустимая продольная деформация $\varepsilon_l(gon)$ допустимая продольная деформация под действием внутреннего давления (расширение) $\varepsilon_{eg}$ окружная расчетная деформация под действием внутреннего давления (расширение) $\varepsilon_{eg}$ деформация грунта при землетрясении $\varepsilon_{eg}$ деформация грунта при землетрясении $\varepsilon_{eg}$ коэффициент пористости грунта $\varepsilon_{eg}$ коэффициент пористости грунта	$\delta_{\!\scriptscriptstyle  m DC}$	толщина лайнерного слоя стенки трубы
$\delta_{\rm CC}$ толщина структурного слоя стенки трубы $\delta_{\rm cm}$ толщина стенки трубы $E_{\rm H}$ окружной модуль упругости на растяжение $E$ окружной изгибный модуль упругости $E_{\rm L}$ осевой модуль упругости на растяжение; $E'$ комбинированный модуль реакции грунта  продольная деформация от изгиба под действием вертикальных сил трубы с опорой на концах $E'_{\rm n}$ модуль реакции естественного грунта в зоне засыпки трубы $\varepsilon_{\rm b}$ максимальная окружная изгибная деформация, вызванная прогибом $E_{\rm b}$ модуль реакции грунта в зоне засыпки трубы $E_{\rm H}$ окружной модуль упругости на растяжение $\varepsilon_{\rm i}$ окружной модуль упругости на растяжение $\varepsilon_{\rm i}$ допустимая продольная деформация $\varepsilon_{\rm i(con)}$ допустимая продольная деформация $\varepsilon_{\rm i(con)}$ допустимая продольная деформация $\varepsilon_{\rm i(con)}$ окружная расчетная деформация под действием внутреннего давления (расширение) $\varepsilon_{\rm e0}$ окружная расчетная деформация под действием внутреннего давления (расширение) $\varepsilon_{\rm e0}$ деформация грунта при землетрясении $\varepsilon_{\rm i}$ модуль объемной упругости жидкости $\varepsilon_{\rm i}$ коэффициент пористости грунта $\varepsilon_{\rm i}$ коэффициент пористости грунта	d <sub>H</sub>	наружный диаметр трубы
$\delta_{cm}$ толщина стенки трубы $E_H$ окружной модуль упругости на растяжение $E$ окружной изгибный модуль упругости $E_L$ осевой модуль упругости на растяжение; $E'$ комбинированный модуль реакции грунта  продольная деформация от изгиба под действием вертикальных сил трубы с опорой на концах $E'_n$ модуль реакции естественного грунта в зоне засыпки трубы $\varepsilon_b$ максимальная окружная изгибная деформация, вызванная прогибом $E_b$ модуль реакции грунта в зоне засыпки трубы $E_H$ окружной модуль упругости на растяжение  продольная деформация (уменьшение продольного размера трубы) от внутреннего давления $\varepsilon_{l(\partial o n)}$ допустимая продольная деформация $\varepsilon_{l(\partial o n)}$ продольная деформация, возникающая при изменении температур $\varepsilon_{a\partial}$ окружная расчетная деформация под действием внутреннего давления (расширение) $\varepsilon_{ap}$ деформация грунта при землетрясении $E_K$ модуль объемной упругости жидкости $\varepsilon_{l}$ коэффициент пористости грунта $\varepsilon_{l}$ коэффициент пористости грунта	$d_{cp}$	средний диаметр трубы
$E_H$ окружной модуль упругости на растяжение $E$ окружной изгибный модуль упругости $E_L$ осевой модуль упругости на растяжение; $E'$ комбинированный модуль реакции грунта  продольная деформация от изгиба под действием вертикальных сил трубы с опорой на концах $E'_n$ модуль реакции естественного грунта в зоне засыпки трубы $\varepsilon_b$ максимальная окружная изгибная деформация, вызванная прогибом $E_b$ модуль реакции грунта в зоне засыпки трубы $E_H$ окружной модуль упругости на растяжение $\varepsilon_l$ продольная деформация (уменьшение продольного размера трубы) от внутреннего давления $\varepsilon_{l(\partial on)}$ допустимая продольная деформация $\varepsilon_{l(\partial on)}$ продольная деформация, возникающая при изменении температур $\varepsilon_{e0}$ окружная расчетная деформация под действием внутреннего давления (расширение) $\varepsilon_{e0}$ деформация грунта при землетрясении $E_{\pi}$ модуль объемной упругости жидкости $\varepsilon_{l}$ коэффициент пористости грунта $\varepsilon_{l}$ коэффициент пористости грунта $\varepsilon_{l}$ сила, действующая на кольцо трубы единичной длины в направлении, перпендикулярньм	$\delta_{ t CC}$	толщина структурного слоя стенки трубы
$E$ окружной изгибный модуль упругости $E_L$ осевой модуль упругости на растяжение; $E'$ комбинированный модуль реакции грунта продольная деформация от изгиба под действием вертикальных сил трубы с опорой на концах $E'_{n}$ модуль реакции естественного грунта в зоне засыпки трубы $\varepsilon_{b}$ максимальная окружная изгибная деформация, вызванная прогибом $E_{b}$ модуль реакции грунта в зоне засыпки трубы $\varepsilon_{b}$ окружной модуль упругости на растяжение продольная деформация (уменьшение продольного размера трубы) от внутреннего давления $\varepsilon_{l(don)}$ допустимая продольная деформация $\varepsilon_{l(memn)}$ продольная деформация, возникающая при изменении температур $\varepsilon_{ed}$ окружная расчетная деформация под действием внутреннего давления (расширение) $\varepsilon_{ed}$ деформация грунта при землетрясении $\varepsilon_{l}$ модуль объемной упругости жидкости $\varepsilon_{l}$ коэффициент пористости грунта $\varepsilon_{l}$ коэффициент пористости грунта $\varepsilon_{l}$ коэффициент пористости грунта $\varepsilon_{l}$ сила, действующая на кольцо трубы единичной длины в направлении, перпендикулярным	$\delta_{\!\scriptscriptstyleCM}$	толщина стенки трубы
$E_L$ осевой модуль упругости на растяжение; $E'$ комбинированный модуль реакции грунта продольная деформация от изгиба под действием вертикальных сил трубы с опорой на концах $E'_n$ модуль реакции естественного грунта в зоне засыпки трубы $\varepsilon_b$ максимальная окружная изгибная деформация, вызванная прогибом $E_b$ модуль реакции грунта в зоне засыпки трубы $\varepsilon_b$ модуль реакции грунта в зоне засыпки трубы $\varepsilon_b$ окружной модуль упругости на растяжение продольная деформация (уменьшение продольного размера трубы) от внутреннего давления $\varepsilon_{l(Don)}$ допустимая продольная деформация $\varepsilon_{l(meann)}$ продольная деформация, возникающая при изменении температур $\varepsilon_{e0}$ окружная расчетная деформация под действием внутреннего давления (расширение) $\varepsilon_{gp}$ деформация грунта при землетрясении $\varepsilon_{m}$ модуль объемной упругости жидкости $\varepsilon_{n}$ коэффициент пористости грунта $\varepsilon_{n}$ коэффициент пористости грунта $\varepsilon_{n}$ сила, действующая на кольцо трубы единичной длины в направлении, перпендикулярным	E <sub>H</sub>	окружной модуль упругости на растяжение
<ul> <li>Е' комбинированный модуль реакции грунта         продольная деформация от изгиба под действием вертикальных сил трубы с опорой на концах</li> <li>Е'<sub>п</sub> модуль реакции естественного грунта в зоне засыпки трубы         вы максимальная окружная изгибная деформация, вызванная прогибом</li> <li>Е<sub>b</sub> модуль реакции грунта в зоне засыпки трубы</li> <li>Е<sub>H</sub> окружной модуль упругости на растяжение         продольная деформация (уменьшение продольного размера трубы) от внутреннего давления</li> <li>ε<sub>(Qon)</sub> допустимая продольная деформация</li> <li>ε<sub>(memn)</sub> продольная деформация, возникающая при изменении температур</li> <li>ε<sub>вд</sub> окружная расчетная деформация под действием внутреннего давления (расширение)</li> <li>ε΄<sub>ερ</sub> деформация грунта при землетрясении</li> <li>Е<sub>ж</sub> модуль объемной упругости жидкости</li> <li>ε<sub>П</sub> коэффициент пористости грунта</li> <li>с сила, действующая на кольцо трубы единичной длины в направлении, перпендикулярным</li> </ul>	Е	окружной изгибный модуль упругости
продольная деформация от изгиба под действием вертикальных сил трубы с опорой на концах  Е'п модуль реакции естественного грунта в зоне засыпки трубы  єь максимальная окружная изгибная деформация, вызванная прогибом  Еь модуль реакции грунта в зоне засыпки трубы  Ен окружной модуль упругости на растяжение  продольная деформация (уменьшение продольного размера трубы) от внутреннего давления  єі(доп) допустимая продольная деформация  єі(темп) продольная деформация, возникающая при изменении температур  єво окружная расчетная деформация под действием внутреннего давления (расширение)  є'вр деформация грунта при землетрясении  Еж модуль объемной упругости жидкости  єп коэффициент пористости грунта  сила, действующая на кольцо трубы единичной длины в направлении, перпендикулярным		осевой модуль упругости на растяжение;
Е/подв)       концах         Е'п       модуль реакции естественного грунта в зоне засыпки трубы         єь       максимальная окружная изгибная деформация, вызванная прогибом         Еь`       модуль реакции грунта в зоне засыпки трубы         Ен       окружной модуль упругости на растяжение         продольная деформация (уменьшение продольного размера трубы) от внутреннего давления         є <sub>I(дол)</sub> допустимая продольная деформация         є <sub>I(темп)</sub> продольная деформация, возникающая при изменении температур         єво       окружная расчетная деформация под действием внутреннего давления (расширение)         є'вр       деформация грунта при землетрясении         Еж       модуль объемной упругости жидкости         єп       коэффициент пористости грунта         сила, действующая на кольцо трубы единичной длины в направлении, перпендикулярным	E'	
$E'_n$ модуль реакции естественного грунта в зоне засыпки трубы $\varepsilon_b$ максимальная окружная изгибная деформация, вызванная прогибом $E_b$ ` модуль реакции грунта в зоне засыпки трубы $E_H$ окружной модуль упругости на растяжение $\varepsilon_l$ продольная деформация (уменьшение продольного размера трубы) от внутреннего давления $\varepsilon_{l(\partial o n)}$ допустимая продольная деформация $\varepsilon_{l(memn)}$ продольная деформация, возникающая при изменении температур $\varepsilon_{ed}$ окружная расчетная деформация под действием внутреннего давления (расширение) $\varepsilon'_{ep}$ деформация грунта при землетрясении $E_{x}$ модуль объемной упругости жидкости $\varepsilon_{fl}$ коэффициент пористости грунта $\varepsilon_{tl}$ сила, действующая на кольцо трубы единичной длины в направлении, перпендикулярным	$\mathcal{E}_{(\Pi O \partial B)}$	
$E_b$ ` модуль реакции грунта в зоне засыпки трубы $E_H$ окружной модуль упругости на растяжение  продольная деформация (уменьшение продольного размера трубы) от внутреннего давления $\varepsilon_{I(\partial on)}$ допустимая продольная деформация $\varepsilon_{I(memn)}$ продольная деформация, возникающая при изменении температур $\varepsilon_{ed}$ окружная расчетная деформация под действием внутреннего давления (расширение) $\varepsilon_{ep}^{'}$ деформация грунта при землетрясении $E_{\pi}$ модуль объемной упругости жидкости $\varepsilon_{\Pi}$ коэффициент пористости грунта $\varepsilon_{\Pi}$ сила, действующая на кольцо трубы единичной длины в направлении, перпендикулярным	E'n	модуль реакции естественного грунта в зоне засыпки трубы
$E_H$ окружной модуль упругости на растяжение $\varepsilon_I$ продольная деформация (уменьшение продольного размера трубы) от внутреннего давления $\varepsilon_{I(\partial on)}$ допустимая продольная деформация $\varepsilon_{I(memn)}$ продольная деформация, возникающая при изменении температур $\varepsilon_{e\partial}$ окружная расчетная деформация под действием внутреннего давления (расширение) $\varepsilon_{ep}$ деформация грунта при землетрясении $E_{\pi}$ модуль объемной упругости жидкости $\varepsilon_{\Pi}$ коэффициент пористости грунта $\varepsilon_{\Pi}$ сила, действующая на кольцо трубы единичной длины в направлении, перпендикулярным	$\mathcal{E}_b$	максимальная окружная изгибная деформация, вызванная прогибом
$arepsilon_{l}$ продольная деформация (уменьшение продольного размера трубы) от внутреннего давления $arepsilon_{l(\partial O \Pi)}$ допустимая продольная деформация $arepsilon_{l(mem \Pi)}$ продольная деформация, возникающая при изменении температур окружная расчетная деформация под действием внутреннего давления (расширение) $arepsilon_{eg}$ деформация грунта при землетрясении $arepsilon_{eg}$ модуль объемной упругости жидкости $arepsilon_{eg}$ коэффициент пористости грунта $arepsilon_{eg}$ сила, действующая на кольцо трубы единичной длины в направлении, перпендикулярным	E <sub>b</sub> `	модуль реакции грунта в зоне засыпки трубы
$arepsilon_{I(\partial O \Pi)}$ допустимая продольная деформация $arepsilon_{I(\partial O \Pi)}$ продольная деформация, возникающая при изменении температур $arepsilon_{B O}$ окружная расчетная деформация под действием внутреннего давления (расширение) $arepsilon_{B O}$ деформация грунта при землетрясении $arepsilon_{B W}$ модуль объемной упругости жидкости $arepsilon_{I \Pi}$ коэффициент пористости грунта $arepsilon_{I \Pi}$ сила, действующая на кольцо трубы единичной длины в направлении, перпендикулярным	E <sub>H</sub>	окружной модуль упругости на растяжение
$arepsilon_{I(memn)}$ продольная деформация, возникающая при изменении температур окружная расчетная деформация под действием внутреннего давления (расширение) $arepsilon_{app}'$ деформация грунта при землетрясении $E_{x}$ модуль объемной упругости жидкости $arepsilon_{II}$ коэффициент пористости грунта $arepsilon_{II}$ сила, действующая на кольцо трубы единичной длины в направлении, перпендикулярным	ει	
$arepsilon_{ ext{вед}}$ окружная расчетная деформация под действием внутреннего давления (расширение) $arepsilon_{ ext{вер}}'$ деформация грунта при землетрясении $E_{ ext{ж}}$ модуль объемной упругости жидкости $arepsilon_{ ext{ГЛ}}$ коэффициент пористости грунта $arepsilon_{ ext{ГЛ}}$ сила, действующая на кольцо трубы единичной длины в направлении, перпендикулярным	$\mathcal{E}_{I(\partial \circ \Pi)}$	допустимая продольная деформация
$arepsilon_{ep}^{'}$ деформация грунта при землетрясении $E_{\pi}$ модуль объемной упругости жидкости $arepsilon_{\Pi}$ коэффициент пористости грунта $arepsilon_{\mu}$ сила, действующая на кольцо трубы единичной длины в направлении, перпендикулярным	ε <sub>I(темп)</sub>	продольная деформация, возникающая при изменении температур
$E_{\pi}$ модуль объемной упругости жидкости $\varepsilon_{\Pi}$ коэффициент пористости грунта $\epsilon$ сила, действующая на кольцо трубы единичной длины в направлении, перпендикулярным	$\mathcal{E}_{B \partial}$	окружная расчетная деформация под действием внутреннего давления (расширение)
$ \varepsilon_{\Pi} $ коэффициент пористости грунта      сила, действующая на кольцо трубы единичной длины в направлении, перпендикулярным	E' <sub>ep</sub>	деформация грунта при землетрясении
сила, действующая на кольцо трубы единичной длины в направлении, перпендикулярным	E <sub>ж</sub>	модуль объемной упругости жидкости
	€П	коэффициент пористости грунта
· · · · · · · · · · · · · · · · · · ·	F	сила, действующая на кольцо трубы единичной длины в направлении, перпендикулярным оси трубы

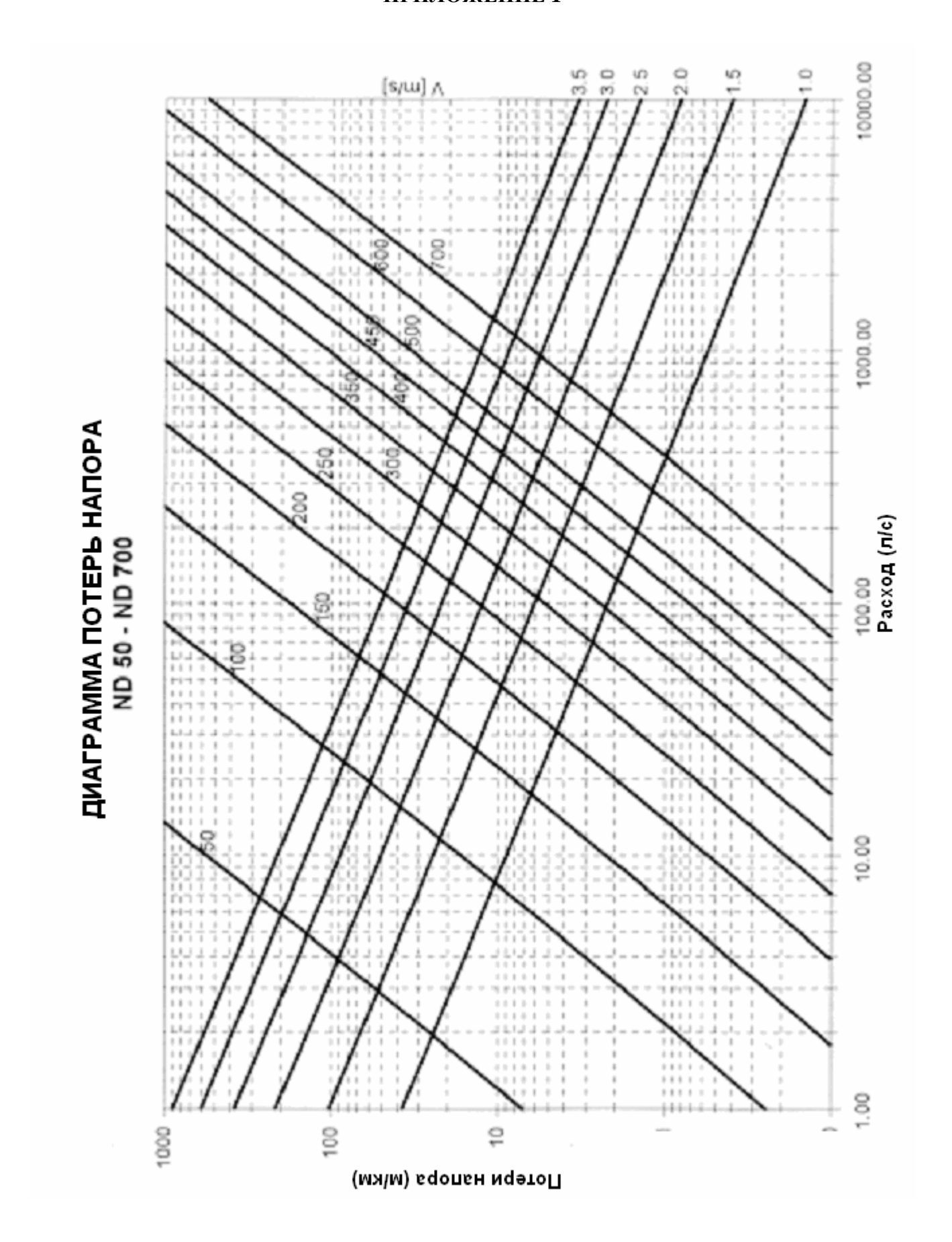
Обозна- чение	Наименование параметра
Φ	расчетная несущая способность, т.е. предельно допустимая нагрузка
f	коэффициент трения бетон/грунт
$FS_b$	коэффициент безопасности по изгибу
F <sub>ome</sub>	сила, действующая на анкерный блок, в направлении биссектрисы угла отвода
F <sub>mм</sub>	сила, действующая на анкерный блок, в точках монтажа переходников, тройников и глухих фланцев
$F_{mph}$	сила трения, действующая на анкерный блок
g	ускорение силы тяжести
G	нагрузка от одного (спаренного) колеса
$G_{\Sigma}$	суммарный вес, действующий на трубу при изгибе ее перпендикулярно оси
<b>У</b> бт	удельный вес бетона
γв	удельный вес воды, объемный вес воды
<i>ү</i> взв	эффективный объемный вес грунта в грунтовой воде
$G_{\Gamma \mathcal{I}}$	внешнее гидростатическое давление
ÝΓP	удельный вес сухого грунта
<i></i>	объемный вес грунта при полном заполнении его пор водой
Учг	объемный вес материала частиц грунта
Н	высота засыпки над трубой (глубина прокладки)
h	потери напора
H <sub>1бл</sub>	расстояние от уровня земли до основания бетонного (анкерного) блока
H <sub>2бл</sub>	расстояние от уровня земли до верхней поверхности бетонного блока
H <sub>B</sub>	высота столба воды над верхней поверхностью трубы
HDB <sub>∂eφ</sub>	гидростатическая проектная база деформации
hs	высота потока транспортируемой жидкости (наполнение)
H <sub>r</sub>	геометрический напор (потери напора, вызванные разностью высот на отметках по трассе трубопровода)
$H_{\Gamma P}$	высота грунта засыпки от верха трубопровода
1	момент инерции стенки трубы (второй момент инерции)
i	гидравлический уклон
i <sup>*</sup>	гидравлический уклон (удельные потери напора напорных труб)
I <sub>F</sub>	коэффициент динамической нагрузки
I <sub>6m</sub>	объем бетона анкерного блока
I <sub>CP</sub>	объем грунта над бетонным (анкерным) блоком
I <sub>3C8</sub>	коэффициент защиты от сейсмического воздействия
J	момент инерции поперечного среза трубы
j	вид (номер) местного сопротивления
K <sub>X</sub>	коэффициент прогиба при воздействии грунта на трубу (коэффициент постели)
k <sub>мc</sub>	коэффициент, учитывающий потери напора на местные сопротивления

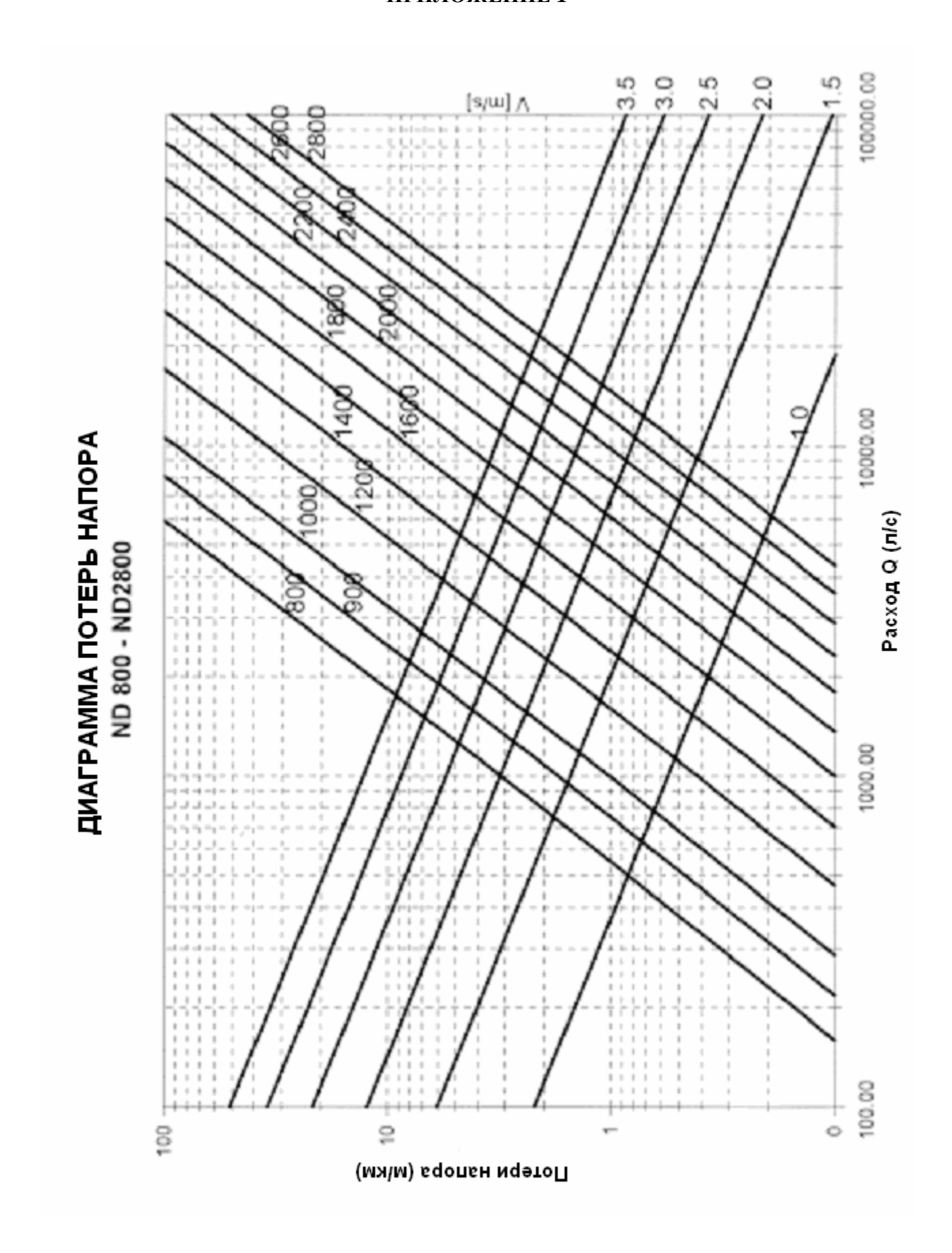
Обозна- чение	Наименование параметра
L	длина трубопровода
λ	коэффициент гидравлического сопротивления трубопровода
L <sub>1</sub>	ширина зоны действия нагрузки от транспортных средств параллельно направлению движения
I <sub>1</sub>	длина следа от колеса в направлении движения
L <sub>2</sub>	ширина зоны действия нагрузки от транспортных средств перпендикулярно направлению движения
$I_2$	ширина следа от колеса перпендикулярно направлению движения
n	коэффициент шероховатости стеклопластиковой трубы
v	коэффициент кинематической вязкости
ND	номинальный диаметр трубы
$v_{lh}$	коэффициент Пуассона, ось/окружность
n <sub>B</sub>	количество волн, образующихся на поверхности трубы при потере устойчивости
P <sub>C</sub>	класс давления
PN	класс давления, номинальное давление
PS	класс жесткости (жесткость трубы)
$P_{\scriptscriptstyle{BaK}}$	давление внутреннего вакуума
$P_{\Gamma}$	давление гидравлического удара
Ри	давление испытания при прокладке трубопровода
$P_P$	рабочее давление жидкости в трубопроводе
Q	расход жидкости
$arphi_{mp}$	угол внутреннего трения грунта
<b>Q</b> внгр	внешние нагрузки
<b>q</b> доп	допустимое по устойчивости давление
$q_{\kappa ho\partial}$	критическое давление
<b>Q</b> <sub>расч</sub>	расчетное давление на проверку устойчивости трубы
ρ	плотность жидкости, объемный вес жидкости
R	гидравлический радиус
R	расчетная нагрузка на трубопровод (усилие) в опасном его сечении
r <sub>C</sub>	коэффициент приведения (приводящий коэффициент)
R <sub>B</sub>	коэффициент плавучести воды (выталкивающей силы)
r <sub>вн</sub>	внутренний радиус трубы
R <sub>pк</sub>	коэффициент реакции конструкции при сейсмическом воздействии
r <sub>cp</sub>	средний радиус трубы
$S_b$	долговременная кольцевая изгибная деформация
$S_C$	коэффициент комбинированной реакции грунта
SF	коэффициент безопасности
SN	номинальная (кольцевая) жесткость трубы, класс жесткости

Обозна- чение	Наименование параметра
S <sub>cu</sub>	сейсмическая интенсивность
$T_M$	температура трубы при монтаже
$T_{\Gamma}$	реакция грунта на анкерную опору
Т <sub>макс</sub>	максимальная ожидаемая рабочая температура жидкости
Тмин	минимальная ожидаемая рабочая температура жидкости
V	скорость жидкости, средняя по сечению скорость жидкости
V <sub>макс</sub>	максимально допустимая скорость жидкости в стклопластиковой трубе
V <sub>мин</sub>	минимальная скорость безнапорного потока сточной жидкости (скорость самоочищения трубы)
V <sub>ce</sub>	скорость распространения сейсмической волны
ω	площадь поперечного сечения трубопровода
ω	площадь живого сечения потока
$W_{\it \Gamma P}$	вертикальная нагрузка от веса грунта над трубой
W <sub>Д</sub>	динамическая нагрузка от транспортных средств
W <sub>ж</sub>	вес жидкости, заполняющей трубопровод
$W_{TP}$	вес трубы на единицу длины
ζ	коэффициент местного сопротивления

## **НОМОГРАММЫ**

для определения потерь напора в стеклопластиковых трубах





# Примеры расчетов

### Примеры гидравлического расчета

### Пример 1. Расчет напорного трубопровода.

Требуется подать воду по трубопроводу из стеклопластиковых труб на расстояние L= 500 м в количестве Q=400 л/с с отметки  $\nabla_1$  10.00 м на отметку  $\nabla_2$  30.00 м. Требуется определить внутренний диаметр  $d_s$  труб, напор H, который необходимо создать для подачи воды потребителю и затем – определить рабочее давление  $P_p$ ,

- 1. Определяем номинальный диаметр трубы с использованием рекомендованных в «Таблицах для гидравлического расчета водопроводных труб» Ф.А. Шевелева, А.Ф. Шевелева, Москва, Стройиздат, 1984,) данных в таблицах для приближенного определения диаметра трубы в зависимости от расхода с учетом экономического фактора (учитывающего оптимальные соотношения капитальных и эксплуатационных затрат). Согласно этим данным для расхода 400 л/c принимаем условный диаметр  $D_v = 600 \text{ мм}$ .
- 2. По номенклатуре изготовителя стеклопластиковых труб (см. Технические условия) выбираем: номинальный диаметр ND = 600 мм (по  $D_{\kappa}$  = 600 мм), SN 5000 Па (наиболее приемлемое значение для первого приближения, при проверке на прочность в процессе проектирования значение SN может быть скорректировано), PN6 атм. (как первое приближение) и  $d_{\scriptscriptstyle B} = 595$  мм (в соответствии с данными завода-изготовителя по фактическим значениям внутреннего диаметра труб).
  - 3. Для определения потерь напора используем (с учетом разности отметок) формулу (3a):

$$H=H_{\Gamma}+h=H_{\Gamma}+i\cdot L\cdot 1,1$$

где:

- разность отметок на начальном и конечном участке трубопровода, м;  $H_{\Gamma}$ 

i гидравлический уклон, м/м, который принимается по таблицам Приложения 2 ТР (Таблицам Шевелева) в зависимости от  $d_6$  и Q;

L- длина трубопровода, м

- коэффициент, учитывающий местные потери на трение, б/р. 1,1

4. Тогда по Приложению 2 ТР находим:

при 
$$d_B = 595$$
 мм и  $Q = 400$  л/с,  $1000$   $i = 2,468$  м,  $V = 1,44$  м/с

$$H = (\nabla_2 - \nabla_1) + 0.002468 \times 500 \times 1.1 = 20 + 1.357 = 21.355$$
 м водяного столба.

#### приложение 2

Для создания напора, равного 21,355 м водяного столба оказывается достаточным (в соответствии с номенклатурой изделий завода-изготовителя) рабочее давление  $P_p = 4$  атм.

В случае если бы рассчитанный напор H превысил бы значение в 60 м водяного столба (6 атм.), необходимо было бы повторить процедуру расчета для фактического внутреннего диаметра, соответствующего давлению PN=10 атм. и убедиться в том, что для создания рассчитанного напора достаточно давления  $P_p=10$  атм.

### Пример 2. Расчет самотечного трубопровода.

Выполнить гидравлический расчет канализационного самотечного трубопровода из стеклопластиковых труб, по которому отводятся бытовые сточные воды в количестве  $Q_{\text{мак}}$ =180 м³/час = 50л/с от смотрового колодца №1 до колодца №2. В колодец № 1 сточные воды поступают по трубопроводам  $\varnothing$  160 мм от нескольких зданий на отметку  $\nabla$  100 м. Отметки земли у колодца №1 и №2 одинаковые и находятся на горизонтали:  $\nabla$  106 м.

#### Требуется определить:

- внутренний диаметр трубопровода  $\phantom{d}$  d , мм;
- гидравлический уклон -i, м/м;
- скорость движения воды V, м/c, при наполнении  $\frac{h}{d}$ ;
- отметку лотка колодца №2:  $\nabla = \nabla \ 106$ -h, где h потери напора по длине трубопровода, м

#### Дополнительные исходные данные:

Расстояние между колодцами L = 500 м. Глубина промерзания на объекте -  $H_{np}=1,6$  м

#### Решение

1. Согласно требованиям СНиП 2.04.03 потери напора определяются по формуле:

$$h=i\times L\times 1,1$$
, м водяного столба.

Гидравлический уклон i определим по Приложению 3 настоящих ТР в зависимости от Q, л/c, d, мм и  $\frac{h}{d}$  - в последовательности:

- **2.** Известно, что Q = 50 л/с; целесообразно (СНиП 2.04.03)  $\rightarrow \frac{h}{d}$  =0,6÷0,8  $\rightarrow$  V  $\approx$  1,1÷1,2 м/с;
- **3.** По таблицам Приложения 3 TP определяется  $\rightarrow$  ND = 300 мм,  $d_{\scriptscriptstyle B}$  = 305,0 мм, SN 5000 Па, PN 6 атм.

#### ПРИЛОЖЕНИЕ 2

<u>Примечание</u>: Действия 2 и 3 выполнены с использованием таблиц в Части II ТР, где таблицы рассчитаны для напорной канализации. С использованием данных для самотечной канализации, за которыми можно обратиться к авторам настоящих ТР и которые в полном объеме будут опубликованы позднее, действия 2 и 3 будут выполняться в такой же последовательности, только с отличными от приведенных в Части II ТР цифровых значений.

при 1000 
$$i=2.5 \rightarrow \frac{h}{d}$$
 =0.6  $\rightarrow V$  = 1.082 м/с;

Необходимо учесть, что на трубопроводах  $D_y = 300$  мм расстояние между любыми смотровыми колодцами не должно превышать 50 м (см. СНиП 2.04.03). Следовательно, на трассе L=500 м необходимо предусмотреть 10 участков. Тогда отметки лотков в колодцах можно определить в соответствии со следующей таблицей:

No॒	Диаметр,	Длина	AMERICAL I M	$h=i \cdot l \cdot 1,1,$	Отметки		
участка	D , мм	, <i>l</i> м	уклон <i>i</i> , м	M	земли	лотка в нач.	лотка в конце
1- a	300	50	0,0025	0,1375	106	100,000	99,8625
а - б	300	50	0,0025	0,1375	106	99,854	99,7165
б - в	300	50	0,0025	0,1375	106	99,708	99,5705
В - Г	300	50	0,0025	0,1375	106	99,562	99,4245
г- д	300	50	0,0025	0,1375	106	99,416	99,2785
д – е	300	50	0,0025	0,1375	106	99,270	99,1325
е – ж	300	50	0,0025	0,1375	106	99,124	98,9865
ж - 3	300	50	0,0025	0,1375	106	98,978	98,8405
3- И	300	50	0,0025	0,1375	106	98,832	98,6945
и- 2	300	50	0,0025	0,1375	106	98,686	98,5485

Здесь гидравлический уклон в самом каждом колодце принят равным 0,0085.

#### Пример проектного расчета

В качестве примера проектного расчета рассматривается вариант проверок на предельные нагрузки напорного трубопровода с заданными параметрами ND, PN и SN, уложенного на заданной глубине в заданном грунте и с заданным материалом засыпки.

Предполагается, что значения ND и SN, а также пиковое давление (давление гидравлического удара) определены ранее путем гидравлического расчета при соответствующих исходных данных.

#### приложение 2

Используемые в проектном расчете исходные данные сведены в таблицу:

#### Условия и параметры для проектного расчета

Условия и параметры	Значения	Примечание
Условия проектирования	<u> </u>	•
Номинальный диаметр трубы, <i>ND</i> , мм.	900	
Рабочее давление <i>Рр</i> , ат (МПа)	8 (0,784)	
Пиковое давление $\hat{P}_{I}$ , ат (МПа)	3,87 (0,38)	
Вакуум $P_{eak}$ ат (МПа)	0,56 (0,06)	
Глубина прокладки <b><i>H</i></b> , м (мин. – макс.)	1,22-2,43	
Нагрузка колеса <i>G</i> , кгс (H)	7 257 (71 172)	
Удельный вес грунта $\gamma_{\Gamma P}$ , кгс/м <sup>3</sup>	2 018	
Рабочая температура, °С	$0 \div 40$	
Свойства естественного грунта на глубине	плотный илистый	
укладки трубы	песок	
Модуль естественного грунта, Е', МПа	69	
Максимальная высота столба воды над верхней	1,52	
поверхностью трубы $H_{B}$ , м.	1,32	
Минимальная высота столба воды над верхней	0,3	
поверхностью трубы $H_{B}$ , м.	0,5	
Базис для <i>HDB</i> и <i>Sb</i>	деформация, <i>мм/мм</i> .	
Свойства трубы		
Класс давления $P_c$ , ат (МПа)	10 (0,98)	
Толщина структурной стенки $\delta_{cc}$ , мм.	13,49	
Толщина лайнера $\delta_{no}$ , мм.	1,02	
Общая толщина стенки $\delta_o$ , мм.	13,51	
Жесткость трубы, $SN$ , $F$ / $\Delta y$ , $\Pi a$	5 000	
Окружной модуль на растяжение $E_H$ , МПа	12 411	
Окружной изгибный модуль упругости $E$ , МПа	13 100	
HDB	0,0064	
$S_b$	0,0115	
Средний диаметр $d_{cp}$ , мм.	910,35	
Параметры установки		
Описание грунта зоны установки трубы (засыпки)	слабо уплотненный	
Описание групта зоны установки трубы (засыпки)	глинистый песок	
Ширина траншеи $\boldsymbol{\mathit{B}}_{\mathit{mp}}$ , мм.	1 500	
Коэффициент формы $oldsymbol{D}_f$	5,5	
Модуль грунта обратной засыпки $E'_b$ , МПа	7	
Коэффициент постели $\mathbf{K}_X$	0,1	
Коэффициент запаздывания прогиба $D_L$	1,1	
Максимально допустимая деформация, $\delta d / d_{\it cp}$	0,05	

#### приложение 2

Порядок проверки параметров трубопровода по предельным состояниям, обычно применяемый в процессе проектирования, включает в себя следующую последовательность вычислений.

#### 1. Проверка класса давления (номинального давления) и внутренних давлений.

1.1. Проверка класса давления на основе гидростатического проектного базиса HDB, используя уравнение (14):

$$P_{C} = \left(\frac{HDB_{\partial e\phi}}{SF}\right) \times \left(\frac{2E_{H} \times \delta_{cc}}{d_{cp}}\right); \qquad P_{C} = \left(\frac{0,0064}{1,8}\right) \times \left(\frac{2 \times 12411 \times 12,5}{910,3}\right) = 1,21 \text{ M}\Pi \text{a}$$

Вычисленный класс давления, определяющий долговременные прочностные свойства трубы, превышает проверяемый класс давления (номинальное давление), т.е. эта проверка дает положительный результат: 1,21 МПа  $\geq$  0,98 МПа.

2.1. Проверка класса давления (номинального давления) по внутреннему и пиковому давлению с использованием формулы (14б):

$$P_c \ge \frac{P_p + P_\Gamma}{1,4}$$
;  $P_c \ge \frac{0.78 + 0.38}{1.4} = 0.83 \text{ M}\Pi a$ 

Класс давления трубы (номинальное давление) превышает, сумму рабочего и пикового давлений, уменьшенных на 40%, те. эта проверка дает положительный результат: 0,83 МПа ≤ 0,98 МПа

2. Определение максимально допустимого долговременного вертикального прогиба трубы, зависящего от физико-механических свойств трубы.

Определение максимально допустимого прогиба необходимо для последующей проверки расчетного прогиба, который должен быть меньше максимально допустимого. Максимально допустимый прогиб определяется с использованием формулы (18):

$$\Delta y_a = \frac{0{,}0115}{1{,}5} \times \left(\frac{910{,}3}{13{,}51}\right) \times \left(\frac{910{,}3}{5{,}5}\right) = 85{,}5$$
 мм или 9,4 % (в процентах к  $d_{cp}$ ).

Принимаемое в пределах 5% (п. 3.2.18.) уменьшение диаметра трубы по вертикали от внешних нагрузок и установленная производителем допустимая деформация  $\frac{\delta d}{d}$  меньше

рассчитанного максимально допустимого долговременного прогиба:  $5\% \le 9.4\%$ , т.е. результат этой проверки положительный.

3. Определение внешних нагрузок, необходимое для последующего определения расчетной деформации в соответствии с формулой (19):

$$\frac{\Delta y}{d_{cp}} = \frac{(D_L \times W_{TP} + W_{II})K_x}{0.149SN + 0.061E'} \times 100\%.$$

Вычисляем все параметры, входящие в формулу (19).

3.1. Определение нагрузки от грунта (точнее, давления, оказываемого грунтом на единицу площади) для максимальной а) и минимальной б) глубин прокладки трубопровода с использованием формулы (21):

$$W_{\Gamma P} = \gamma_{\Gamma P} \times H_{\Gamma P} \times d_{H}$$
  $W_{\Gamma P} = \gamma_{\Gamma P} \times H_{\Gamma P}$  a)  $W_{\Gamma P} = 2018 \times 2,43 = 48 \ 133 \ \Pi a$ ,

a) 
$$W_{TP} = 2018 \times 2,43 = 48 \ 133 \ \Pi a$$
,

б) 
$$W_{TP} = 2018 \times 1,22 = 24066 \text{ Па.}$$

3.2. Определение динамической нагрузки по формулам (22), (23), (24), (25).

$$W_{\mathcal{I}} = \frac{G \cdot I_F}{L_1 \cdot L_2}$$

a) 
$$W_{\mathcal{A}} = \frac{71172 \times 1}{4,51 \times 2,20} = 7 \ 190 \ \text{H/m}^2 \ (\Pi \text{a})$$

б) 
$$W_{\mathcal{A}} = \frac{71172 \times 1}{2.38 \times 1.93} = 15 494 \text{ H/m}^2 (Па)$$

$$L_1 = l_1 + 1.75H$$

$$L_1 = l_1 + 1,75H$$
 a)  $L_1 = 0.25 + 1.75 \times 2,43 = 4.51 \text{ M}$ 

б) 
$$L_1 = 0.25 + 1.75 \times 1.22 = 2.38 \text{ M}.$$

$$L_2 = (13,31+1,75H)/8$$
 a)  $L_2 = (13,31+1,75\times2,43)/8 = 2,20$  m

б) 
$$L_2 = (13,31+1,75\times1,22)/8 = 1,93 м$$

3.3. Определение комбинированного модуля реакции грунта с использованием формулы (19a):

$$E' = S_C \times E_b'$$
  $E' = 1,94 \times 6,9 = 13,39 \text{ M}\Pi a.$ 

Комбинированный модуль реакции грунта E', Мпа, определяется с использованием таблиц 6, 7 и 8.

 $S_C$  определяется из таблицы 6 при рассчитанных значениях  $E'_n/E'_b$  и  $B_{mp}/d_H$ , которые в данном случае равны:

### СТЕКЛОПЛАСТИКОВЫХ ТРУБ, ИЗГОТОВЛЕННЫХ МЕТОДОМ НЕПРЕРЫВНОЙ НАМОТКИ приложение 2

 $E'_{n}/E'_{b} = 69/6,9 = 10, B_{mp}/d_{H} = 1500/910,3 = 1,65$  (здесь наружный диаметр трубы можно принять, равному среднему диаметру. Тогда путем интерполирования значений в таблице 6 S<sub>C</sub> принимаем равным 1,94.

3.4. Определяем расчетную деформацию трубы по формуле (19) для двух вариантов глубины прокладки a) H = 2,43м и б) H = 1,22 м):

$$\frac{\Delta y}{d_{cp}} = \frac{\left(D_L \times W_{TP} + W_{T}\right)K_x}{0,149SN + 0,061E'} \times 100\% \quad \text{a)} \quad \frac{\Delta y}{d_{cp}} = \frac{\left(1,1 \times 48,33 + 7190\right) \times 0,103}{0,149 \times 5000 + 0,061 \times 13386000} \times 100\% = 0,76\%$$

$$\text{b)} \quad \frac{\Delta y}{d_{cp}} = \frac{\left(1,1 \times 24066 + 15494\right) \times 0,103}{0,149 \times 5000 + 0,061 \times 13386000} \times 100\% = 0,53\%$$

Проверка расчетной деформации по допустимым деформациям для обоих вариантов глубины прокладки трубопровода дает положительный результат:

- a)  $0.76\% \le 5.00\% \le 9.4\%$
- 6)  $0.53\% \le 5.00\% \le 9.4\%$
- 4. Проверка деформации при комбинированной нагрузке: 1. по условию проверки деформации, вызванной внутренним давлением (формула (26)) и 2. – по условию проверки изгибной деформации, вызванной максимальной допустимой деформацией (формула (27)).

$$\frac{\varepsilon_{so}}{HDB_{oe\phi}} \leq \frac{1 - \left(\frac{\varepsilon_b r_c}{S_b}\right)}{FS_{so}}$$
 4.1. Формула (26):

Вычисляем все параметры, необходимые для проверки этого неравенства:

$$\varepsilon_{so} = \frac{P_p \times d_{cp}}{2\delta_{cc}E_H} \qquad \varepsilon_{so} = \frac{0.784 \times 910.3}{2 \times 12.49 \times 12411} = 0.0023$$

$$\varepsilon_b = D_f \left(\frac{\delta d}{d_{cp}}\right) \times \left(\frac{\delta_o}{d_{cp}}\right) \qquad \varepsilon_b = 5.5 \times (0.05) \times \left(\frac{13.51}{910.3}\right) = 0.0041$$

$$r_c = 1 - \frac{P_p}{3} \qquad r_c = 1 - \frac{0.78}{3} = 0.74$$

Вычисляем левую и правую части формулы (26):

$$\frac{0,0023}{0,0064} = 0,36$$

$$\frac{1 - \left(\frac{0,0041 \times 0,74}{0,0115}\right)}{1,8} = 0,41$$

#### ПРИЛОЖЕНИЕ 2

$$\frac{\varepsilon_b r_c}{S_b} \leq \frac{1 - \left(\frac{\varepsilon_{s\delta}}{HDB_{\delta e\phi}}\right)}{FS_b}$$
 4.2. Формула (27):

Вычисляем левую и правую части формулы (27):

$$\frac{0,0041 \times 0,74}{0,0115} = 0,26 \qquad \frac{1 - \left(\frac{0,0023}{0,0064}\right)}{1,5} = 0,43$$

4.3. Проверяем деформации при комбинированной нагрузке:

$$0.36 \le 0.41 \text{ и } 0.26 \le 0.43$$

Проверка деформаций при комбинированной нагрузке дает положительный результат.

5. Проверка на потерю устойчивости по формуле (35). Общее расчетное значение внешних нагрузок должно быть меньше или равным допустимому давлению, вызывающему вдавливание (потерю устойчивости) Вначале определяем допустимое давление:

$$q_{\partial on} = \frac{1}{FS} \left[ 32R_B \times B' \times E' \times SN \right]^{0.5}$$

Предварительно необходимо вычислить параметры  $R_{B}$  и  $B^{'}$  для двух заданных вариантов по глубине прокладки: для H = a) – 2,43 м и б) – 1,22 м, при этом, соответственно, максимальная высота столба воды над верхней поверхностью трубы  $H_{B}$ , = 1,52 м и 0,30 м.

$$R_{B} = 1 - 0.33 \frac{H_{B}}{H}$$

$$B' = \frac{1}{1 + 4e^{-0.213H}}$$
a)  $R_{B} = 1 - 0.33 \frac{1.52}{2.43} = 0.793$ 

$$B' = \frac{1}{1 + 4 \times 2.718^{-0.213 \times 2.43}} = 0.296$$

$$B' = \frac{1}{1 + 4 \times 2.718^{-0.213 \times 1.22}} = 0.245$$

a) 
$$q_{oon} = \frac{1}{2.5} [32 \times 0.793 \times 0.296 \times 13386000 \times 5000]^{0.5} = 283466 \text{ Ha}$$

б) 
$$q_{oon} = \frac{1}{2.5} [32 \times 0.917 \times 0.245 \times 13386000 \times 5000]^{0.5} = 277 320 \ \Pia$$

6. Определяем расчетное давление для данного варианта при двух глубинах укладки трубы по формуле (37):

$$q_{\it pacu} = \gamma_{\it B} imes H_{\it B} + R_{\it B} igg( rac{W_{\it \Gamma P}}{d_{\it H}} igg) + P_{\it вак} \,$$
 или на единицу поверхности  $q_{\it pacu} = \gamma_{\it B} imes H_{\it B} + R_{\it B} W_{\it \Gamma P} + P_{\it вак} \,$ 

#### СТЕКЛОПЛАСТИКОВЫХ ТРУБ, ИЗГОТОВЛЕННЫХ МЕТОДОМ НЕПРЕРЫВНОЙ НАМОТКИ ПРИЛОЖЕНИЕ 2

а) 
$$H = 2,43$$
 м.  $q_{pacy} = 9810 \times 1,52 + 0,793 \times 48133 + 55168 = 108 298$  Па

б) H = 1,22 м. 
$$q_{pacy} = 9810 \times 0,30 + 0,917 \times 24066 + 55168 = 80$$
 234 Па

7. Определяем расчетное давление при действии нагрузки от грунта и динамической нагрузки по формуле (38):

$$q_{\it pacu} = \gamma_{\it B} imes H_{\it B} + R_{\it B} \left( rac{W_{\it \Gamma P}}{d_{\it n}} 
ight) + \left( rac{W_{\it I}}{d_{\it n}} 
ight)$$
 или на единицу поверхности  $q_{\it pacu} = \gamma_{\it B} imes H_{\it B} + R_{\it B} W_{\it \Gamma P} + W_{\it I}$ 

a) 
$$H = 2,43$$
 m.  $q_{pacy} = 9810 \times 1,52 + 0,793 \times 48133 + 7190 = 60319$  Па

б) H = 1,22 м. 
$$q_{pacy} = 9810 \times 0.30 + 0.917 \times 24066 + 15494 = 40560$$
 Па

8. Сравниваем полученные расчетные давления с определенными ранее допустимыми давлениям для двух глубин прокладки трубопровода

Для Н = 2,43 м,внутреннее давление + грунтовые воды + вакуум

$$108\ 289 \le 283\ 446$$

внутреннее давление + грунтовые воды +динамическая нагрузка

$$60\ 319 \le 283\ 446$$

Для H = 1,22 м,внутреннее давление + грунтовые воды + вакуум

$$80\ 234\ \le 277\ 320$$

внутреннее давление + грунтовые воды +динамическая нагрузка

$$40560 \le 277320$$

Все результаты проверок расчетов на устойчивость трубопровода положительны.

#### **ЗАКЛЮЧЕНИЕ**

Все расчетные показатели спроектированного трубопровода полностью удовлетворяют проверкам на допустимые деформации и допустимые нагрузки.

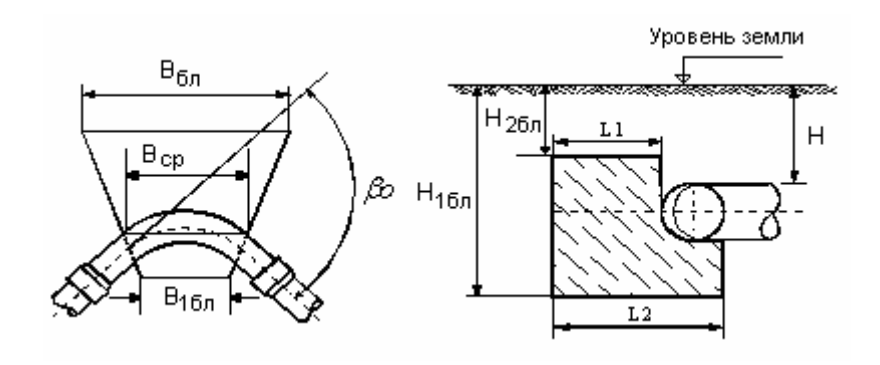
#### Пример расчета анкерного блока

В качестве примера рассмотрен анкерный блок установленный в месте расположения отвода на напорном подземном трубопроводе, смонтированного на заданной глубине.

Требуется определить условия, при которых анкерный блок (при заданных параметрах укладки трубопровода) может компенсировать силу от внутреннего (испытательного) давления на участке отвода или проверить габариты анкерного блока, которые обеспечивают эту компенсацию.

#### ПРИЛОЖЕНИЕ 2

Расчетная схема сооружения анкерного блока показана на рисунке.



### Принятые исходные данные:

#### Трубопровод.

_	номинальный диаметр трубопровода, ND	1 200 мм;
_	жесткость трубы, SN	5 000 Па
_	рабочее давление, $P_p$	3,5 ат ( $PN = 4$ атм.);
_	давление при испытании трубопровода, $P_H$	9 ат;
_	угол отвода (колена), $eta_o$	90 град.;
_	глубина укладки, $H$	2,0 м

#### Данные для расчета габаритов анкерного блока:

_	максимальная ширина анкерного блока, Вбл	4,27 м;
-	минимальная ширина анкерного блока, В1бл	1,87м;
-	ширина анкерного блока по диаметру трубы, Вср	2,53м;
-	расстояние от уровня земли до основания бетонного блока Н1бл	4,27м;
-	расстояние от уровня земли до верхней поверхности бетонного блока, $H2бл$	1,33м;
-	длина верхней поверхности анкерного блока, L1	2,27м;
-	длина нижней поверхности анкерного блока, L2	3,07м;
-	объем анкерного блока, $I_{6m}$	$24,42 \text{ m}^3;$
_	удельный вес бетона, $\gamma_{\delta m}$	$24\ 000\ \text{H/m}^3$ ;
-	объем грунта над анкерным блоком, $I_{\Gamma P}$	$8,19 \text{ m}^3.$

### Грунт: сухой грунт, для которого.

_	угол трения, $\phi_{mp}$	40 град.;
_	удельный вес грунта, $\gamma_{\Gamma P}$	$20\ 000\ H/m^3$ ;
_	коэффициент трения, $f$	0,7

Процедура проверки включает в себя следующие вычисления:

# 1. Определяем силу, действующую в направлении угла биссектрисы отвода по формуле (51):

ПРОЕКТИРОВАНИЕ ПОДЗЕМНЫХ ТРУБОПРОВОДОВ СИСТЕМ ВОДОСНАБЖЕНИЯ И ВОДООТВЕДЕНИЯ ИЗ СТЕКЛОПЛАСТИКОВЫХ ТРУБ, ИЗГОТОВЛЕННЫХ МЕТОДОМ НЕПРЕРЫВНОЙ НАМОТКИ

#### ПРИЛОЖЕНИЕ 2

$$F_{ome} = 2P_{H} \times \omega \times \sin\left(\frac{\beta_{o}}{2}\right)$$
  $F_{ome} = 2 \times 539216 \times 3,14 \times \frac{0,5964^{2}}{4} \times \sin\left(\frac{1,571}{2}\right) = 1384499 \text{ H}$ 

(здесь значение внутреннего диаметра трубы берется из Технических условий на данную трубу)

2. Определяем пассивную реакцию грунта, действующую против анкерного бетонного блока по формуле (50):

$$T_{\Gamma P} = 0.5 \cdot \gamma_{\Gamma P} \left( H_{16\pi}^2 - H_{26\pi}^2 \right) B_{6\pi} \cdot tg^2 \left( 45 + \frac{\varphi_{mp}}{2} \right)$$
$$T_{\Gamma P} = 0.5 \cdot 20000 \times \left( 4.27^2 - 1.33^2 \right) \times 4.27 \times tg^2 \left( 45 + 20 \right) = 2563943 \text{ H}$$

3. Определяем силу трения, действующую на анкерный блок по формуле (53):

$$F_{mp} = (I_{\delta m} \times \gamma_{\delta m} + I_{\Gamma P} \times \gamma_{\Gamma P}) \times f$$
  $F_{mp} = (24,42 \times 24000 + 8,19 \times 20000) \times 0,7 = 524822 \text{ H}$ 

4. Согласно уравнению (54) проверяем условие равновесия сил, при котором не возникает перемещений трубопровода в месте расположения отвода при действии испытательного давления:

$$F_{mp} + T_{TP} \ge 1.5 \times F_{ome}$$

 $3~088~765~H \ge 2~076~748~H$ 

По результатам расчета проверяемый анкерный блок с избытком компенсирует силу, возникающую в отводе напорного трубопровода при действии испытательного давления.

# ПЕРЕЧЕНЬ химических соединений

допускаемых для транспортирования в стеклопластиковых трубах,

### производства ООО «НТТ»

В следующей таблице приводится список наиболее используемых химических соединений с указанием пределов концентрации и температур. Эти данные были собраны на основе практических данных и/или лабораторных испытаний.

		Концен- трация, %	Смолы			
ХИМИЧЕСКИЙ ПРОДУКТ	Химическая формула		Изофта- левая	Винил- эфирная темп.	Винилэ фирная высок. темп.	
	CH₃COOH	10	40	100	100	
Vuovouga maroma	CH₃COOH	25	25	100	100	
Уксусная кислота	CH₃COOH	75		65	65	
	CH₃COOH	100			40	
Ацетон	CH₃COCH₃	10			80	
Сульфат алюминия	Al <sub>2</sub> (SO <sub>4</sub> ) <sub>3</sub>	Bce	50	100	120	
Фторид аммония	NH <sub>4</sub> F	Bce		65	65	
Аммиак водный р-р	NH₄OH	10÷20		65	65	
Нитрат аммония	NH <sub>4</sub> NO <sub>3</sub>	Bce	25	100	120	
Сульфат аммония	(NH <sub>4</sub> ) <sub>2</sub> SO <sub>4</sub>	Bce	50	100	120	
Амиловый спирт	C <sub>5</sub> H <sub>11</sub> OH	Bce	25	50	100	
Анилин	C <sub>6</sub> H <sub>5</sub> NH <sub>2</sub>	100			20	
Хлорид бария	BaCl <sub>2</sub>	Bce	50	100	100	
Бензальдегид	C <sub>2</sub> H <sub>5</sub> CHO	100			20	
Бензол	C <sub>6</sub> H <sub>6</sub>	100			40	
Бензойная кислота	C <sub>6</sub> H <sub>5</sub> COOH	Bce	40	100	100	
Борная кислота	H₃BO₃	Bce	50	100	100	
Бром - газ	Br <sub>2</sub>	Bce		40	40	
Бутилацетат	C <sub>6</sub> H <sub>12</sub> O <sub>2</sub>	Bce			30	
Бутанол	C <sub>4</sub> H <sub>9</sub> OH	Bce	25	50	50	
Maarawaa	CH <sub>3</sub> (CH <sub>2</sub> ) <sub>2</sub> COOH	25÷50		100	100	
Масляная кислота	CH <sub>3</sub> (CH <sub>2</sub> ) <sub>2</sub> COOH	100		30	50	
Хлорат кальция	Ca(ClO <sub>3</sub> ) <sub>2</sub>	Bce	50	100	120	
Хлорид кальция	CaCl2	Bce	50	100	120	

				Смолы	
ХИМИЧЕСКИЙ ПРОДУКТ	Химическая формула	Концен- трация, %	Изофта- левая	Винил- эфирная темп.	Винилэ фирная высок. темп.
Гидрохлорид кальция	Ca(CIO) <sub>2</sub>	Bce		80	
Углекислый газ	CO <sub>2</sub>		60	100	180
Четыреххлористый углерод	CCI <sub>4</sub>	100		65	80
Хлор	Cl <sub>2</sub>			100	120
Диоксид хлора	CIO <sub>2</sub>	Bce		65	65
Хлорная вода	HOCI	Bce		80	100
V	CH₂CICOOH	25		50	50
Хлоруксусная кислота	CH₂CICOOH	50		40	40
Хлористый бензол	C <sub>6</sub> H₅Cl	100			40
Хлороформ	CHCl <sub>3</sub>	100			
Хромовая кислота	H <sub>2</sub> CrO <sub>4</sub>	10		65	65
Лимонная кислота	HOC(CH <sub>2</sub> COOH) <sub>2</sub> CO OH	Bce	50	100	100
Хлорид меди(II)	CuCl <sub>2</sub>	Bce	50	100	120
Цианид меди	CuCN	Bce		100	100
Сульфат меди	CuSO <sub>4</sub>	Bce	50	100	120
Сырая нефть(мазут)			50	100	120
Дибутилфталат	$C_6H_4(COOC_4H_9)_2$	100			
Дихлорбензол	(C <sub>6</sub> H <sub>4</sub> )Cl <sub>2</sub>	100			50
Дизельное топливо		100	35	80	100
Диэтиленгликоль	HO(CH <sub>2</sub> ) <sub>2</sub> O(CH <sub>2</sub> ) <sub>2</sub> OH	100	50	80	100
Диэтилфталат	C1 <sub>2</sub> H1 <sub>4</sub> O <sub>4</sub>	100			
Диметилфталат	C <sub>10</sub> H <sub>10</sub> O <sub>4</sub>	100	50	65	80
Этиловый спирт(этанол)	C₂H₅OH	Bce	25	30	40
Хлористый этил	CH₃CH₂CI	100			30
1,2-дихлорэтан	(CH <sub>2</sub> ) <sub>2</sub> Cl <sub>2</sub>	100			30
Этиленгликоль (1,2- этандиол)	HOCH <sub>2</sub> CH <sub>2</sub> OH	100	50	100	100
Жирные кислоты (насыщенные)	CH <sub>3</sub> (CH <sub>2</sub> ) <sub>n</sub> COOH	Bce	50	100	120
Хлорид железа (III)	FeCl <sub>3</sub>	Bce	50	100	100
Нитрат железа(III)	Fe(NO <sub>3</sub> ) <sub>3</sub>	Bce	40	100	100
Сульфат железа (III)	Fe <sub>2</sub> (SO <sub>4</sub> ) <sub>3</sub>	Bce	50	100	100
Хлорид железа (II)	FeCl <sub>2</sub>	Bce	40	100	100
Нитрат железа(II)	Fe(NO <sub>3</sub> ) <sub>2</sub>	Bce	40	100	100
Сульфат железа (II)	FeSO <sub>4</sub>	Bce	50	100	100
Фтор (газ)	F <sub>2</sub>			30	30
Муравьиная кислота	НСООН	10		80	80
(метановая)	НСООН	100			40
Бензин			25	80	80

				Смолы		
ХИМИЧЕСКИЙ ПРОДУКТ	Химическая формула	Концен- трация, %	Изофта- левая	Винил- эфирная темп.	Винилэ фирная высок. темп.	
Глицерин (1,2,3 пропантриол)	HOCH₂CH(OH)CH₂OH	100	60	100	100	
Гептан	C <sub>7</sub> H <sub>16</sub>	100	25	100	100	
N/	HCI	10	40	80	110	
Хлорид водорода	HCI	20	25	80	110	
(соляная кислота)	HCI	37		40	80	
Фторид водорода	HF	10		65	65	
Фторид водорода	HF	20		40	40	
Перекись водорода	H <sub>2</sub> O <sub>2</sub>	30		65	65	
Сероводород	H₂S	100		80	100	
Изопропиловый спирт	CH <sub>3</sub> CH(OH)CH <sub>3</sub>	Bce	25	50	50	
Керосин		100	25	80	80	
Молочная кислота	CH₃CHOHCOOH	Bce		100	100	
Ацетат свинца	(CH <sub>3</sub> COO) <sub>2</sub> Pb	Bce	50	100	110	
Льняное масло		100	60	100	110	
Хлорид магния	MgCl <sub>2</sub>	Bce	50	100	120	
Сульфат магния	MgSO <sub>4</sub>	Bce	50	100	120	
Ртути (I)хлорид	Hg <sub>2</sub> Cl <sub>2</sub>	Bce	50	100	100	
Ртути ((II)хлорид	HgCL <sub>2</sub>	Bce	50	100	100	
Метанол	CH₃OH	100			40	
Нефть		100	25	80	100	
Хлорид никеля	NiCl <sub>2</sub>	Bce	50	100	100	
Нитрат никеля	Ni(NO <sub>3</sub> ) <sub>2</sub>	Bce	50	100	100	
Сульфат никеля	NiSO <sub>4</sub>	Bce	50	100	100	
Азотная кислота	HNO <sub>3</sub>	5		65	80	
	HNO <sub>3</sub>	20		50	65	
Нитробензол	C <sub>6</sub> H <sub>5</sub> NO <sub>2</sub>	100			40	
Олеиновая кислота	C <sub>17</sub> H <sub>33</sub> COOH	Bce	50	100	95	
Щавелевая кислота	(COOH) <sub>2</sub>	Bce	30			
Перхлорная кислота	HClO₄	30		40	40	
Фенол	C <sub>6</sub> H₅OH	88			20	
	H₃PO₄	10	50	100	100	
Фосфорная кислота	H₃PO₄	20	50	100	100	
Фосфорная кислота	H₃PO₄	50	25	100	100	
	H₃PO₄	80		100	100	
Фталевый ангидрид	C <sub>6</sub> H <sub>4</sub> (CO) <sub>2</sub> O	Bce	40	100	100	
Бикарбонат калия	KHCO <sub>3</sub>	50		80	80	
Карбонат калия	K₂CO₃	10÷ 25		65	65	
Хлорид калия	KCI	Bce	50	100	100	
Бихромат калия	K <sub>2</sub> Cr <sub>2</sub> O <sub>7</sub>	Bce		100	100	
Железосинеродистый калий	K₃Fe(CN) <sub>6</sub>	Bce	50	100	100	

			Смолы		
ХИМИЧЕСКИЙ ПРОДУКТ	Химическая формула	Концен- трация, %	Изофта- левая	Винил- эфирная темп.	Винилэ фирная высок. темп.
Фероцианид калия					
трехводный (соль	K₄ (Fe(CN) <sub>6</sub> )⋅3H <sub>2</sub> O	Bce	50	100	100
железосинеродистой	14 (1 5(51 1/6) 51 1/25	200		100	100
кислоты)	1010			400	400
Нитрат калия	KNO <sub>3</sub>	Bce		100	100
Перманганат калия	KMnO <sub>4</sub>	Bce		100	100
Сульфат калия	K₂SO₄	Bce	50	100	100
Пропиленгликоль	CH₃CH(OH)CH₂OH	Bce	50	100	100
Нитрат серебра	AgNO <sub>3</sub>	Bce	25	100	100
Ацетат натрия	CH₃COONa	Bce	50	100	100
Бикарбонат натрия	NaHCO₃	Bce	50	80	80
Карбонат натрия	Na₂CO₃	15:20		80	80
Цианид натрия	NaCN	Bce		100	100
Гидроксид натрия	NaOH	5 ÷10		100	100
Хипохлорит натрия	NaOCI	5,25		80	
Нитрат натрия	NaNO₃	Bce	50	100	100
Сульфат натрия	NaSO₄	Bce	50	100	100
Сульфид натрия	Na₂S	Bce		100	100
Олова II хлорид	SnCl <sub>2</sub>	Bce	50	100	100
Олова IV хлорид	SnCl₄	Bce	50	100	100
Стеариновая кислота	C <sub>17</sub> H <sub>25</sub> COOH <sub>2</sub>	Bce	40	100	100
Диоксид серы	SO <sub>2</sub>		60	100	120
	H <sub>2</sub> SO <sub>4</sub>	10	45	100	100
	H <sub>2</sub> SO <sub>4</sub>	50	45	90	90
Серная кислота	H <sub>2</sub> SO <sub>4</sub>	70		80	80
	H <sub>2</sub> SO <sub>4</sub>	80		40	50
Дубильная кислота	C <sub>76</sub> H <sub>52</sub> O <sub>46</sub>	Bce	40	100	100
Толуол (метилбензол)	C <sub>6</sub> H <sub>5</sub> CH <sub>3</sub>	100		30	50
Фосфат натрия	Na <sub>3</sub> (PO <sub>4</sub> ) <sub>2</sub>	Bce		100	120
Деминерализирован-	11.0		F0	00	00
ная вода	H₂O		50	80	80
Дистиллированная	ш.С		50	90	00
вода	H₂O		50	80	80
Морская вода	H <sub>2</sub> O		50	80	80
Ксилол	C <sub>6</sub> H <sub>4</sub> (CH <sub>3</sub> ) <sub>2</sub>	100	25	30	50
Хлористый цинк	ZnCl <sub>2</sub>	70	50	100	155
Сульфат цинка	ZnSO <sub>4</sub>	Bce	50	100	120

## ПРИЛОЖЕНИЕ 4

# КОЛОДЦЫ КАНАЛИЗАЦИОННЫЕ НА ОСНОВЕ СТЕКЛОПЛАСТИКОВОЙ ТРУБЫ «НТТ-П/АСВ»

ОАО «СОЮЗВОДОКАНАЛПРОЕКТ» Главный инженер проекта, к.т.н.

\_Л.Г. Дерюшев

ООО «Новые Трубные Технологии» Технический директор

Е.В. Сидоров

2007 г.

#### приложение 4

### Исполнители:

С.Ю. Николаев Инженер 1 категории Инженер 1 категории Е. Г. Фролова Инженер 1 категории А.Ю. Баранов

# приложение 4

# **COCTAB**

Апьбом	1_	- Пояснительная записка
AJIDUUM	1 -	- HUNCHHICHBHAN SAHHCKA

Альбом II - Колодцы круглые для труб D150-1500 мм

Альбом III - колодцы круглые для дюкеров труб D150-400 мм

Альбом YI- колодцы перепадные для труб D150-600 мм

Альбом Ү- строительные изделия

#### приложение 4

# 1. ПОЯСНИТЕЛЬНАЯ ЗАПИСКА

#### Общая часть

Колодцы на трубопроводах систем канализации располагают в местах изменения диаметров и уклонов, на поворотах, при устройстве присоединений других трубопроводов, а также на прямолинейных участках через 35 - 300 м (в зависимости от диаметра трассы).

Колодцы подразделяются на: смотровые, перепадные, колодцы для дюкеров.

В плане колодцы могут быть круглые, прямоугольные и полигональные.

Настоящими Техническими рекомендациями (ТР) предлагаются круглые колодцы из стеклопластиковых труб «НТТ-П/АСВ» для средних статических и динамических нагрузок диаметром: 1000, 1600, 2000, 2600 мм. ТР предшествовали расчеты на прочность и испытания колодцев.

При разработке ТР по изготовлению колодцев из стеклопластиковых труб «HTT-П/АСВ» учтены требования нормативных документов: СНиП 2.04.03-85, ГОСТ 12.1.005-88, ΓΟCT 12.1.044-89, ΓΟCT 12.3.030-83, ΓΟCT 12.4.121-83, ΓΟCT 17.2.3.02-78, ΓΟCT 166-89, ΓΟCT 427-75, ΓΟCT 15150-69, ΓΟCT 18599-2001, ΓΟCT 22235-76, ΓΟCT 26653-90, ΓΟCT 8020, типовые альбомы 901-09-22.82 «Колодцы канализационные».

# 2. НАРУЖНЫЕ СЕТИ КАНАЛИЗАЦИИ

# 2.1. СМОТРОВЫЕ КОЛОДЦЫ

По назначению смотровые колодцы применяются как линейные, поворотные и узловые. Колодцы разработаны для труб  $D_v = 150-1600$  мм.

Поворотные колодцы разработаны с углами поворота  $15^0 \div 90^0$ . Допустимый радиус поворота по оси лотка принимается не менее одного диаметра трубопровода.

#### 2.2. УЗЛОВЫЕ КОЛОДЦЫ

Узловые колодцы разработаны с одним и двумя присоединениями для труб указанного диапазона.

Высота рабочей части колодцев принята: 900,1200, 1500, 1800, 2100, диаметр горловины 700 мм, люки по ГОСТ 3634.

Увеличенные размеры горловин (круглые – диаметром 1000 1600 MM) предусматриваются для прочистки трубопроводов на сети.

# приложение 4

# 2.3. КОЛОДЦЫ ДЛЯ ДЮКЕРОВ

Разработанные колодцы для канализационных дюкеров применяются:

- для самотечных коллекторов диаметром 200-600 мм с диаметром дюкера 150-400 мм;
- для самотечных коллекторов диаметром 200-600 мм с аварийным выпуском и диаметром дюкера 150-400 мм;
- для напорных коллекторов диаметром 250-400 мм с диаметром дюкера 150-250 мм.

Дюкер состоит из двух линий трубопроводов, диаметры которых определяются исходя из пропуска расчетного расхода сточной жидкости по каждой линии.

Дюкер состоит из двух камер: входной и выходной.

Входная камера дюкера на самотечном коллекторе состоит из двух отделений, расположенных в отдельных колодцах.

В первом отделении подводящий лоток разветвляется на два открытых лотка с переходом в закрытые трубопроводы.

На лотках установлены щитовые затворы, позволяющие при необходимости переключать сточные воды на резервную линию.

Во втором отделении на закрытых трубопроводах устанавливаются задвижки для отключения трубопровода на ремонт.

В выходной камере размещаются открытые лотки, переходящие в самотечный коллектор. На лотках установлены щитовые затворы.

Дюкер для самотечного коллектора с аварийным выпуском разработан аналогично, только в выходную камеру входит один трубопровод, переходящий в лоток, к которому присоединяется самотечный коллектор.

При устройстве дюкера на напорном коллекторе во входной камерах размещаются трубопроводы с задвижками для переключения. Высота рабочей части принята 1800 мм, считая:

- от полки лотков до низа плиты перекрытия при самотечном поступлении сточных вод;
- от дна колодца до низа плиты перекрытия.

Горловина в колодцах принимается диаметром 700 мм, люк по ГОСТ 3634.

# 2.4. ПЕРЕПАДНЫЕ КОЛОДЦЫ

Перепадные колодцы разработаны для труб диаметром 150-600 мм. Запроектированы круглые колодцы из труб диаметром 1600-2600 мм с перепадным устройством в виде вертикальных стенок – растекателей с водобойным колодцем в основании.

### приложение 4

Разработаны перепадные колодцы для труб диаметром 150-350 мм с боковым присоединением труб диаметром 150-350 мм. Горловина колодцев принимается диаметром 700 мм, люк по ГОСТ 3634. В рабочей камере колодцев перепадом выше 1,5 м на расстоянии 2 м от низа плиты перекрытия предусматриваются 4-8 скоб для установки временного настила.

### 3.АРХИТЕКТУРНО-СТРОИТЕЛЬНЫЕ РЕШЕНИЯ

#### 3.1. УСЛОВИЯ СТРОИТЕЛЬСТВА И ОБЛАСТЬ ПРИМЕНЕНИЯ

Условия строительства приняты в соответствии с СН 227-82 п.2.3. Проектные решения колодцев разработаны для строительства в районах со следующими природными и климатическими данными:

- сейсмичность района не выше 6 баллов;
- расчетная зимняя температура наружного воздуха минус 20оС, 30оС, 40оС;
- рельеф территории спокойный;
- грунты в районе строительства колодцев предусмотрены следующие:
- а) сухие, непученистые грунты естественной влажности со следующими нормативными характеристиками:

$$\gamma^{H}=1.8 \text{ T/M}^{3}; \varphi^{H}=32^{\circ}, C^{H}=2\kappa\Pi a (0.02 \text{ kGC/cM}^{2});$$

б) мокрые грунты со следующими нормативными характеристиками:

$$\gamma^{H}=2 \text{ T/M}^{3}$$
;  $\varphi^{H}=23^{\circ}-38^{\circ}$ ,  $e=0,65\div0,7 \text{ C}^{H}=1 \text{ k}\Pi \text{ a} (0,01 \text{ k}\text{ r}\text{ c}/\text{c}\text{ m}^{2})$ .

Максимальный уровень грунтовых вод в уровне низа плиты перекрытия колодцев. Грунтовые воды и сточная жидкость не агрессивны к материалам колодцев.

в) просадочные грунты (грунтовые условия I и II типов по просадочности).

Во всех случаях нормативные характеристики грунтов в основании колодцев должны отвечать условию, чтобы среднее давление по подошве колодца от нормативных нагрузок не превышало расчетного давления на основание R, определенного по формуле (7) СНиП 2.02.01-83, которое во всех случаях не должно быть менее  $0.1 \text{ M}\Pi \text{a} (1.0 \text{ кгс/см}^2)$ .

В настоящих проектных решениях не расматриваются особенности строительства в районах вечной мерзлоты, на плавунах, торфянистых и других слабых грунтах, в условиях оползней, осыпей, карстовых явлений и т.д.

Круглые колодцы предназначены для применения на сетях и коллекторах хозяйственнобытовой и производственной систем водоотведения диаметром 150-1600 мм.

При этом колодцы без дорожной плиты устраиваются только в зеленой зоне.

# приложение 4

#### 3.2. КОНСТРУКТИВНЫЕ РЕШЕНИЯ

Круглые канализационные колодцы состоят из плиты днища, лотковой части, рабочей части, перекрытия и горловины с люком.

Рабочая часть высотой 900, 1200, 1500, 1800 и 2100 составляется из труб «HTT-П/ ACB» диаметром 1000, 1600 и 2600 мм.

Круглые колодцы для канализационных дюкеров D<sub>v</sub> =150÷400 мм состоят из плиты основания, лотковой части, рабочей части, перекрытия и горловины с люком.

Круглые перепадные канализационные колодцы состоят из основания, лотковой части, рабочей части, перекрытия, горловины с люком и стенкой растекателем.

Рабочая часть высотой 1800 и 2100 составляется из труб «НТТ-П/ АСВ» диаметром 1600 и 2600 мм.

В зависимости от перепада на трубопроводе рабочая часть (Н<sub>р</sub>) может быть высотой: от 1200 до 4500 мм.

Стенка – растекатель выполняется по чертежам настоящих ТР.

Для всех видов колодцев лотковая часть может выполняться из монолитного бетона марки 200 или из стеклопластика.

Устройство бетонного лотка осуществляется по специальным шаблонам, с последующей затиркой поверхности лотка и его полок цементно-песчаным раствором и железнением.

Горловины разработаны 3-х типов:

- 1. Круглые нормальные D=700 мм для всех видов колодцев
- 2. Круглые увеличенные D=1000 мм для всех видов колодцев (кроме дюкерных и перепадных)
  - 3. Круглые увеличенные D=1600 мм для всех видов колодцев.

В зависимости от глубины заложения труб горловины имеют переменные высоты, но не более 4 м (от поверхности грунта до верха рабочей части горловины выполняются и стеклопластиковых труб «НТТ-П/ АСВ» диаметром 700,1000, 1600 мм.

Все элементы из стеклопластика при монтаже склеиваются между собой (ламинируются).

Конструкции горловин даны на рис. 1 и 2 в конце документа.

Согласно п.4.21 СНиП 2.04.03-85 «Канализация. Наружные сети и сооружения», на проезжей части с усовершенствованным покрытием люки должны располагаться в одном уровне с поверхностью проезжее части; на 50-70 мм выше поверхности земли в зеленой зоне на 200 мм выше поверхности земли на незастроенный территории.

### «Новые Трубные Технологии»

ПРОЕКТИРОВАНИЕ ПОДЗЕМНЫХ ТРУБОПРОВОДОВ СИСТЕМ ВОДОСНАБЖЕНИЯ И ВОДООТВЕДЕНИЯ ИЗ СТЕКЛОПЛАСТИКОВЫХ ТРУБ, ИЗГОТОВЛЕННЫХ МЕТОДОМ НЕПРЕРЫВНОЙ НАМОТКИ

#### приложение 4

Люки колодцев размещенных на застроенных территориях без дорожных покрытий, должны возвышаться над поверхностью земли на 5-7 см; вокруг люка следует предусматривать отмостку шириной 1 м с уклоном от крышки люка.

В колодцах при соответствующем обосновании следует предусматривать установку вторых утепляющих крышек.

Для спуска в колодец предусмотрены стальные стремянки.

Глубина колодцев от поверхности земли (или планировки) до дна назначается при привязке проекта в зависимости от глубины укладки и уклона трубопровода.

Минимальная толщина засыпки над перекрытием-0,5 м.

Заделка труб в лотковой части колодцев производится в зависимости от грунтовых условий, согласно деталям, приведенным на чертежах проекта.

Гидроизоляция днища колодцев - штукатурная асфальтовая из горячего асфальтового раствора толщиной 10 мм по грунтовке разжиженным битумом.

Пазухи колодцев засыпаются по условиям, определенным в инструкции по монтажу, местными грунтами оптимальной влажности, определяемой по ГОСТ-22733-77. Грунты обратных засыпок должны соответствовать требованиям "Инструкции по устройству обратных засыпок в стесненных местах" СН 536-81,СНиП 3.02.1-87 и СНиП 3.05.03-85. Грунты обратных засыпок должны быть уплотнены до проектной плотности скелета грунта  $\gamma$  ск.пр., определяемой по п.1.10 СН 536-81. Уплотнение производится в соответствии с указаниями СНиП 3.05.03-85, СНиП 3.02.01-87 и СН 536-81.

При строительстве колодцев в просадочных грунтах должны соблюдаться требования СНиП 2.02.01-83 "Основания зданий и сооружений», СНиП 2.04.03-85 "Канализация. Наружные сети и сооружения", и СНиП 2.04.02-84\* "Водоснабжение. Наружные сети и сооружения".

Устройство колодцев на канализационных сетях в просадочных грунтах I типа по просадочности должно осуществляться как в обычных непросадочных грунтах.

Для уменьшения величины возможной просадки в основании колодцев в грунтовых условиях П типе по просадочности необходимо осуществить следующие конструктивные и водозащитные мероприятия:

1. Грунты основания под колодцы должны уплотняться трамбованием на глубину I м. Уплотнение следует производить при оптимальной влажности на границе раскатывания грунта Wp. Уплотнение грунта во всех случаях должно производиться до плотности скелета грунта не

### приложение 4

менее  $\gamma$  ск.=1.6-1.7 т/м<sup>3</sup>, в соответствии с требованиями и указаниями раздела 3 СНиП 3.02.01-83.

- 2. По уплотненному основанию устраивается бетонная подготовка толщиной 100 мм из бетона марки 50.
- 3. Бетонные днища колодцев обмазываются горячим битумом за 2 раза по грунтовке из раствора битума в бензине или покрываются флюатом, т.е. обрабатываются водным раствором кремнефтористого магния или кремнефтористоводородной кислоты с образованием на поверхности нерастворимых соединений (стеклопластиковые днища не требуют дополнительной обработки).
- 4. Отверстия для пропуска труб тщательно заделываются с устройством снаружи водоупорного замка с применением резиновых манжет. Водоупорный замок выполнять с соблюдением требования п.4.24 СНиП Ш-20-74.
- 5. Пазухи колодцев должны засыпаться талым глинистым грунтом оптимальной влажности, определяемой по ГОСТ 22733-77, с послойным уплотнением равномерно по периметру слоями толщиной не более 0.2 м до проектной плотности скелета грунта  $\gamma_{\rm ck, np.} \ge 1.6$  $T/M^3$ .
- 6. Поверхность земли вокруг люков колодцев должна быть спланирована с уклоном 0,03 от колодца на 0,3 м шире пазух. На спланированной поверхности устраивается отмостка.

# 3.3. РАСЧЕТНЫЕ ПОЛОЖЕНИЯ

Конструкции колодцев рассчитаны на постоянную и временную нагрузки для случаев минимальной и максимальной величины заглубления колодцев.

В качестве постоянных нагрузок приняты:

- - активное боковое давление грунта;
- масса грунтовой засыпки над перекрытием рабочей части колодцев;
- - собственная масса плиты перекрытия с горловиной и люком (коэффициент перегрузки n=1.1)

Характеристики грунтов приняты следующие:

- а) для сухих и просадочных грунтов:
- - плотность γн=1,8÷2 т/м3;
- - угол внутреннего трения фн=38°;
- - коэффициент перегрузки n=1,15;
- б) для мокрых грунтов
- плотность  $\gamma_{H}=2,0$  т/м3;

#### приложение 4

- угол внутреннего трения фн=23°;
- коэффициент пористости е=0,65 0,7;
- коэффициент перегрузки n=I,I5;
- максимальный уровень грунтовых вод принят в уровне низа плиты перекрытия рабочей части.

В качестве временных нагрузок, в соответствии с указаниями СНиП 2.05.03-84 "Мосты и трубы", приняты следующие три вида временной подвижной нагрузки:

I вид - равномерно распределенная нормативная нагрузка интенсивностью 4,9 кПа (500  $\kappa rc/m^2$ ) и случайные заезды автомашин массой 5 т - для колодцев, располагаемых вне дорог, где систематическое движение автомобильного транспорта исключено;

II вид - нагрузка от утяжеленного автомобиля по схеме A-14 для колодцев, расположенных на автомобильных дорогах городов и промышленных предприятий, на которых движение особо тяжелых машин исключено;

III вид - колесная нагрузка по схеме НК-80, НК-176 для колодцев, располагаемых на автомобильных дорогах городов и промышленных предприятий, на которых предусматривается движение особо тяжелых автомашин.

Коэффициент перегрузки для временной нагрузки НК-80, НК-176 принят n=1, для А-14 - принят n =1,5

Динамический характер временных подвижных нагрузок учтен введением коэффициента динамичности, равного 1,3 при заглублении перекрытия менее 1 м. При большем заглублении принят коэффициент динамичности К=1,0.

При подсчёте среднего давления по подошве колодца от нормативных нагрузок необходимо учитывать аварийный случай работы - полное заполнение колодца водой при засыпанном котловане. Колодцы не рассчитаны на случай заполнения их водой при открытом котловане.

Несущая способность стеклопластиковых стеновых колец и плит перекрытий принята по максимальной временной нагрузке по схемам А-14, НК-80 и НК-176 при заглублении днища в грунт до 8 м.

# 3.4. СООБРАЖЕНИЯ ПО ПРОИЗВОДСТВУ РАБОТ

Строительство колодцев производится одновременно с прокладкой трубопроводных сетей и осуществляется в следующей последовательности:

1. Разбивка трассы траншей, опорных осевых линий колодцев с выносом осей в натуру. Разметка и закрепление контура траншей и границ котлованов для устройства колодцев, границ

#### приложение 4

отвалов грунта, защита котлованов от попадания ливневых вод, установка инвентарных ограждений котлованов.

- 2. Разработка котлованов.
- 3. Устройство подготовки, основания и гидроизоляции днища.
- 4. Бетонирование днища и лотковой части.
- 5. Укладка труб в лотковую часть и герметизация их.
- 6. Возведение стен рабочей части.
- 7. Устройство перекрытия рабочей части.
- 8. Возведение горловин.
- 9. Установка люка.
- 10. Обратная засыпка пазух котлована, планировка площадки вокруг люка с устройством отмостки.

### 3.4.1. Земляные работы

Перед разработкой котлована производятся все работы, указанные выше в п.1, а также срезка растительного слоя.

Размеры котлована по дну назначаются в зависимости от габаритов колодца и способа производства работ и зависят от глубины заложения колодца и вида грунта. Способы разработки котлована и планировки дна должны исключать нарушение естественной структуры грунта основания.

На время производства земляных работ в мокрых грунтах следует обеспечить постоянный водоотлив, в сухих грунтах - водоотвод.

По окончании работ основание подлежит приемке представителем заказчика с составлением акта. Обратная засыпка котлована грунтом и его уплотнение осуществляется в соответствии с требованиями, изложенными в разделе "Конструктивные решения".

Земляные работы должны выполняться с соблюдением требований глав СНиП 3.02.01-83, СНиП 3.05.03-85.

# 3.4.2. Устройство подготовки и гидроизоляции

Бетонная подготовка под днище для колодцев в просадочных грунтах устраивается после приемки основания.

Бетонирование днища и лотковой части осуществляется после установки опалубки и арматуры. Способ подачи бетонной смеси должен исключать возможность расслаивания бетона. Устройство лотковой части производится по специальным шаблонам. Уложенная бетонная смесь уплотняется вибраторами. Приемка работ па устройству днища и лотковой

### «Новые Трубные Технологии»

ПРОЕКТИРОВАНИЕ ПОДЗЕМНЫХ ТРУБОПРОВОДОВ СИСТЕМ ВОДОСНАБЖЕНИЯ И ВОДООТВЕДЕНИЯ ИЗ СТЕКЛОПЛАСТИКОВЫХ ТРУБ, ИЗГОТОВЛЕННЫХ МЕТОДОМ НЕПРЕРЫВНОЙ НАМОТКИ

#### приложение 4

части оформляется соответствующим актом. Бетонные и арматурные работы должны выполняться с соблюдением требований главы СНиП 2.02.01-83 «Основания зданий и сооружений».

# 3.4.3. Возведение стен рабочей части

Монтаж рабочей части колодца разрешается производить по достижении бетона основания колодца 70% проектной прочности.

Перед установкой сборных элементов отметки опорных площадок должны быть проверены, отклонения их не должно превышать допустимых значений.

Сборные элементы горловин и рабочей части устанавливаются по уровню. При монтаже необходимо соблюдать требования глав СНиП 3.03.01-87 «Изоляционные и отделочные покрытия» и СНиП 3.01.04-87. «Приемка в эксплуатацию законченных строительством объектов. Основные положения», СНиП 3.05.03-85 «Водоснабжение, канализация и теплоснабжение. Наружные сети и сооружения и СНиП 3.01.04-87 «Приемка в эксплуатацию законченных строительных работ».

#### 4. СМЕТНАЯ ЧАСТЬ

### Объемы основных конструкций для составления смет

Для определения сметной стоимости канализационных колодцев круглых из стеклопластиковых труб «НТТ-П/ АСВ» исчислены объемы основных конструкций с выделением объемов лотков, которые помещены в технологические таблицы колодцев.

Объемы основных конструкций составлены на основании чертежей типовых проектных решений. Показатели объемов приведены в зависимости от размеров колодцев в плане, высоты рабочей части, высоты лотков, временной нагрузки и т.д.

Объемы конструкций горловин исчислены на 1пог. м высоты горловины и включаются дополнительно в объемы основных конструкций.

В сметах дополнительно учитывается:

- стоимость арматуры на лоток;
- стоимость люка;
- устройство отмостки;
- установка и стоимость дорожной плиты КЦО-3 со стабилизированным основанием из песка (для Ш типа горловины);

#### «Новые Трубные Технологии»

ПРОЕКТИРОВАНИЕ ПОДЗЕМНЫХ ТРУБОПРОВОДОВ СИСТЕМ ВОДОСНАБЖЕНИЯ И ВОДООТВЕДЕНИЯ ИЗ СТЕКЛОПЛАСТИКОВЫХ ТРУБ, ИЗГОТОВЛЕННЫХ МЕТОДОМ НЕПРЕРЫВНОЙ НАМОТКИ

# приложение 4

# 5. УКАЗАНИЯ ПО ПРИМЕНЕНИЮ

При применении проектных решений колодцев к конкретным климатическим, инженерно-геологическим и гидрогеологическим условиям площадки необходимо руководствоваться указаниями CH 227-82, раздел 6.

### Кроме того:

- в зависимости от грунтовых условий, диаметра горловины, материала строительства и глубины заложения лотка устанавливается марка (см. листы раздела AC) и тип колодца;
- в зависимости от назначения колодца и диаметра труб по листам раздела НК определяется марка колодца (его диаметр, конфигурация лотка, высота рабочей части);
- при рабочей части высотой менее 900 мм колодцы следует выполнять по индивидуальному проекту с применением стеклопластиковых труб «HTT-П/ ACB»;
- для обслуживания колодцев на трубопроводах диаметром 700 мм и более могут использоваться инвентарные переносные поперечные площадки;
- при уровне грунтовой воды выше низа плиты перекрытия рабочей части колодец необходимо проверить на прочность и на всплытие.

При строительстве канализационных сетей следует, как правило, применять колодцы из стеклопластиковых труб «НТТ-П/ АСВ». При отсутствии стеклопластиковых труб «НТТ-П/ АСВ» и при соответствующем обосновании допускается устройство колодцев из сборных железобетонных изделий и местных материалов.

#### 6. РАСЧЕТ НА ПРОЧНОСТЬ КОЛОДЦЕВ ИЗ СТЕКЛОПЛАСТИКОВЫХ ТРУБ

Расчеты выполняются в соответствии с требованиями СНиП 2.09.03-85 для проверки прочности перекрытия и стенок рабочей части колодцев из стеклопластиковых труб. Рассматривается экстремальная ситуация, когда диаметр рабочей части колодца 2600 мм, глубина колодца – 8 м, грунт – песчаный, грунтовые воды до поверхности земли, временная нагрузка от НК-80, НК-176 (колесная нагрузка). Перекрытие плиты из стеклопластика рабочей части колодца будет работать на изгиб при вертикальной нагрузке и на изгиб при горизонтальной нагрузке (при условии, что прочность ламинированных стыков деталей колодца равноценны по прочности цельной стенки трубы).

# СТЕКЛОПЛАСТИКОВЫХ ТРУБ, ИЗГОТОВЛЕННЫХ МЕТОДОМ НЕПРЕРЫВНОЙ НАМОТКИ ПРИЛОЖЕНИЕ 4

# Определение давления грунта

Нормативные и расчетные значения характеристик грунтов ненарушенного сложения (угол внутреннего трения  $\varphi$ , удельное сцепление c, модуль деформации определяется по СНиП 2.02.01-83.

$$\gamma_{sw}^n = \frac{(\gamma_s^n - \gamma_w^n)}{1 + e} = \frac{2,65 - 1}{1 + 0.68} = 0,98 \text{ T/M}^2,$$

где  $\gamma_s^n$ ,  $\gamma_w^n$  - удельный вес соответственно скелета грунта и воды;

e = 0.68– коэффициент пористости грунта.

Допускается, если уплотнение засыпанного грунта выполняется в соответствии с СН 536-81 с коэффициентом уплотнения  $k_v$  не менее 0,95 (что должно быть указано в проекте), то для песчаных грунтов средней крупности:

$$\gamma_{I}^{n} = \gamma^{n} = 2 \text{ T/M}^{3}, \varphi_{I} = 0.82 \varphi^{n} = 0.82 \cdot 38 = 30^{0},$$

где  $\phi$  - угол внутреннего трения грунта.

Различают интенсивность вертикального давления грунта  $p_{\nu}$ на глубине у и интенсивность горизонтального давления грунта  $p_{hy}$ , а также давления от временной нагрузки на поверхности  $p_{hg}$  и отрицательного давления от сцепления  $p_{hc}$  (см. рис. 1 и 2).

Суммарное напряжение от вертикальной нагрузки рассчитывается по формуле:

$$\sigma = \frac{M}{W} \leq mR$$
,

где М – изгибающий момент в элементе колодца;

$$M = \frac{P_v \cdot l^2}{8}$$
,

l = 2,6 – пролет перекрытия, м;

W – момент сопротивления сечения;

$$W = \frac{b \cdot h^2}{6} ,$$

b- ширина поля, воспринимающего нагрузку, см;

h- высота поля или сечения перекрытия, см.

$$M = \frac{9,82 \cdot 2,6^2}{8} = 8,3$$
 т·м= 829790 кг·см

$$W = \frac{100 \cdot 10^2}{6} = 1666,6 \text{ cm}^3 = 0,00166 \text{ m}^3$$

Нормативное вертикальное давления грунта при  $p_{hc} = 0$ 

СТЕКЛОПЛАСТИКОВЫХ ТРУБ, ИЗГОТОВЛЕННЫХ МЕТОДОМ НЕПРЕРЫВНОЙ НАМОТКИ

$$p_{v} = p_{hv} + p_{v5} + p_{w} \leq mR$$

где  $p_{h \vee -=} \gamma \cdot h$  - давление от собственного веса грунта;

$$p_{v5} = \frac{785}{a_{v5}b_{v5}}$$
 кН - интенсивность нормативного вертикального давления от колесной

нагрузки НК-80 при движении ее вдоль сооружения на глубине

$$y_a = \frac{a}{tg\theta}$$
, при  $a_{y5}$ =3,8 +2a и  $b_{y5}$  = 3,5+2a, м;

 $p_w = 4.5 \text{ т/m}^2 - \text{давление столба воды (максимальное)};$ 

m = 0.8 - коэффициент условия работы;

 $R=10~000~\text{т/м}^2$  – предел прочности.

При максимальной высоте засыпки колодца h = 4.5 м,

$$p_{hy} = 4.5.0,98 \approx 4.5 \text{ T/M}^2 \approx 0.0441 \text{M}\Pi \text{a}$$

Интенсивность нормативного вертикального давления от колесной нагрузки:

$$p_{v5} = \frac{785}{a_{y5}b_{y5}} = 11,49 \text{ кПа} = 0,010 \text{ МПа}$$
 $a_{y5} = 3,8 + 2a = 3,8 + 2 \cdot 2,597 = 8,994 \text{ м};$ 
 $a = 0,577 \cdot 4,5 = 2.597$ 
 $b_{v5} = 3,5 + 2a = 3,5 + 2 \cdot 2,597 = 8,694 \text{ м}.$ 

Нормативное вертикальное давления грунта

$$p_{\text{V}}$$
=0.0441+0,01+0,0441 =0,0982 МПа 
$$M = \frac{9,82 \cdot 2,6^2}{8} = 8,3 \text{ T·M} = 829790 \text{ KT·CM}$$
 
$$\sigma = \frac{8,3}{0,00166} = 5000 \text{ T/M}^2 \le 0.8 \cdot 10 000$$

Активное горизонтальное давление грунта (максимальное):

$$p_{h\gamma} = \gamma \cdot h \cdot tg^2 (45^0 - \frac{\varphi}{2}) = 2 \cdot 8 \cdot tg^2 (45^0 - 15^0) = 2 \cdot 8 \cdot 0.33 = 5,33 \text{ T/m}^3,$$

где  $\theta = 45^{0} - \frac{\varphi}{2}$  - угол наклона плоскости скольжения к вертикали.

Давление от воды, при наличии грунтовых вод:  $p_{hw}$ =8 т/м<sup>2</sup>.

Давление от временной нагрузки:

$$p_{hg} = \frac{\Sigma p}{0.8 \cdot 3.5} tg^2 (45^0 - \frac{\varphi}{2}) = \frac{12.5 \cdot 3}{0.8 \cdot 3.5} tg^2 (45^0 - \frac{30}{2}) = 4.45 \text{ T/M}^3.$$

### ПРИЛОЖЕНИЕ 4

Суммарное напряжение, которое испытывают стенки колодца рабочей части о, рассчитывается по формуле:

$$\sigma = (k_s^n \cdot p_{h\gamma} + k_w^n p_{hw} + k_g p_{hg}) \frac{r}{\delta} \leq mR,$$

где т=0,8 - коэффициент условий работы;

 $\delta$  – толщина стенки, мм;

r — радиус колодца, м

*k*- коэффициент запаса, 1,2; 1,1; 1 – соответственно см. рис. 1.

 $R_{\text{доп}}$  - допустимое сопротивление материала (стеклопластика) колодца:

 $R_{\text{доп}} = 30 \text{ M}\Pi a = -$  прочность на изгиб.

Допустимое напряжение для стенки колодца из стеклопластика:

на уровне перекрытия

$$\sigma_{1_{2,6,M}} = (1,2\cdot3+1,1\cdot4,5+4,45\cdot1) \frac{1,3}{0.0233} = 725,3 \text{ T/M}^2 = 7,1 \text{ M}\Pi \text{a} < 0,8\cdot30 \text{ M}\Pi \text{a};$$

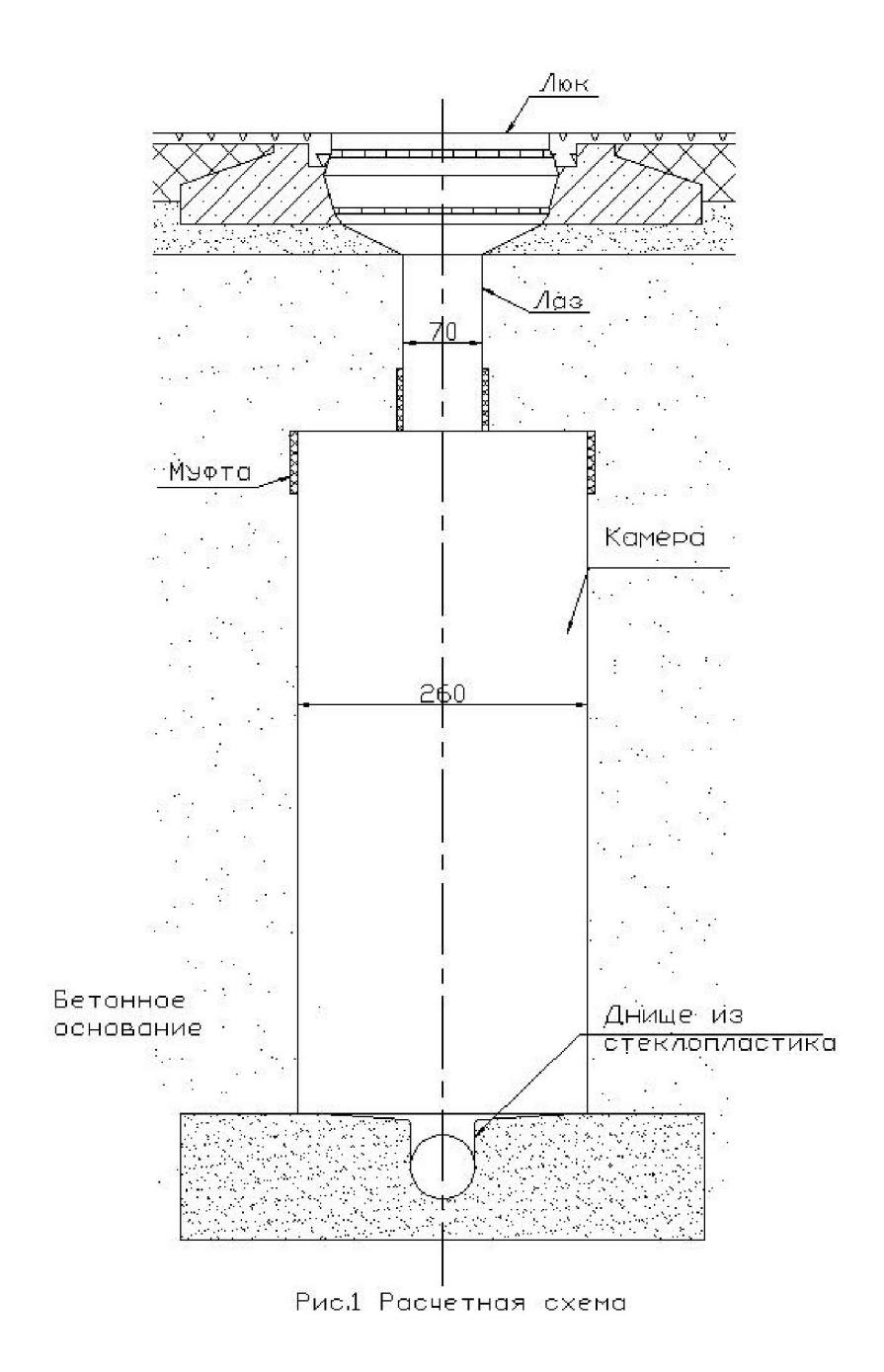
для горловины

$$\sigma_{2_{0,7M}} = (1,2\cdot3+1,1\cdot4,5+4,45\cdot1)\frac{0,35}{0.0072} = 632 \text{ T/M}^2 = 6,32 \text{ M}\Pi \text{a} < 0,8\cdot30 \text{ M}\Pi \text{a}$$

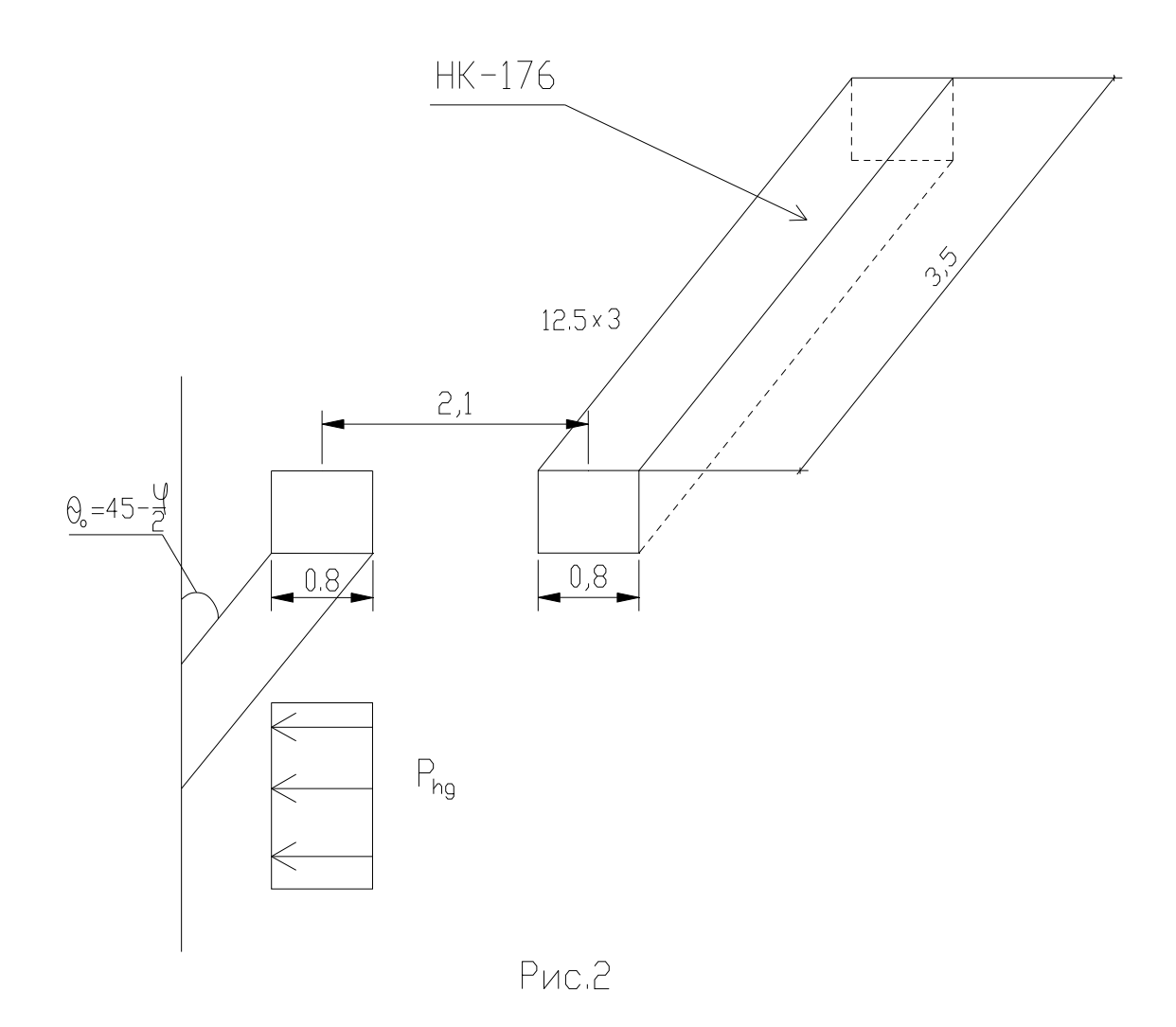
на уровне дна колодца

$$\sigma_{3_{2,6,M}} = (1,2.5,3+1,1.8+4,45.1) \frac{1,3}{0,0233} = 1096 \text{ T/M}^2 = 10,74 \text{ M}\Pi \text{a} < 0,8.30 \text{ M}\Pi \text{a}$$

# СТЕКЛОПЛАСТИКОВЫХ ТРУБ, ИЗГОТОВЛЕННЫХ МЕТОДОМ НЕПРЕРЫВНОЙ НАМОТКИ ПРИЛОЖЕНИЕ 4



# ПРИЛОЖЕНИЕ 4



Вывод: Прочность конструкции соблюдается.